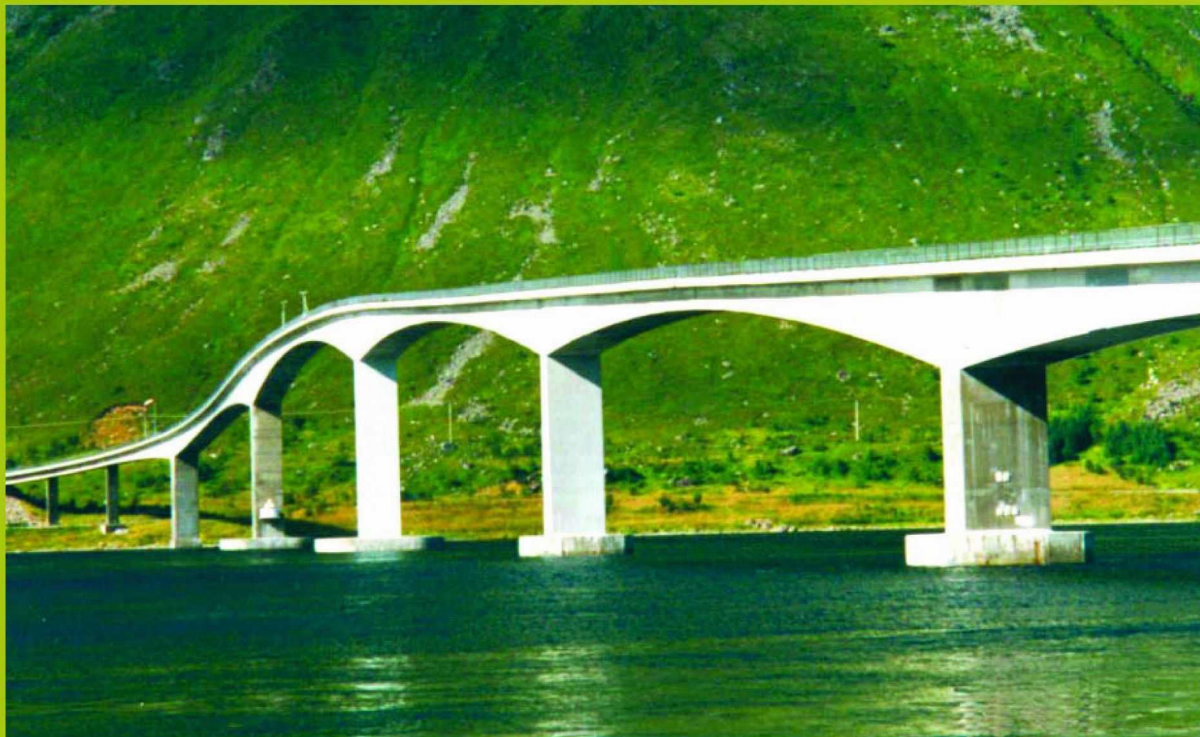


# BETONGKONSTRUKSJONERS LIVSLØP

Et utviklingsprosjekt i samarbeid mellom offentlige byggherrer, industri og forskningsinstitutter

---



## Deltakere:

Statens vegvesen (prosjektleddelse), Forsvarsbygg, NORCEM A.S, Selmer Skanska AS, Sika Norge AS, Norges byggforskningsinstitutt, NTNU, SINTEF, NORUT Teknologi as

---

## Rapport nr. 2

### Laboratoriedata for kloridintert armeringskorrosjon.

#### Aktivitet DP1 A1

---

Prosjektet er støttet av BA-programmet i Norges forskningsråd



# BETONGKONSTRUKSJONERS LIVSLØP

## Rapport nr. 2

### Laboratoriedata for kloridinitiert armeringskorrosjon

#### Aktivitet DP1 A1

Utgiver:  
Statens vegvesen, Vegdirektoratet  
Postadresse: Teknologiavdelingen  
Postboks 8142 Dep.  
0033 OSLO  
Telefon: 22 07 35 00  
Telefaks: 22 07 37 68

FORFATTER(E):

Jan Lindgård, SINTEF  
Trine Hynne, SINTEF

INTERN RAPPORT NR.

GRADERING Åpen	ANTALL SIDER OG BILAG 13+35+16 bilag
-------------------	---

RAPPORTNR./ ISBN.: 82-91228-07-8	DATO Januar 2003	PROSJEKTLEDERE: Finn Fluge og Bernt Jakobsen
-------------------------------------	---------------------	---

KORT SAMMENDRAG

Internasjonalt eksisterer det flere metoder for laboratorieprøving av kloridinnitregning i betong. I Norge har følgende tre metoder vært vanlig: neddykket kloridinnitregning (APM 302 / NT Build 443 - tidligere kalt Bulk Diffusion), kloridpåsprøyting samt kloridmigrasjon (NT Build 355).

Rapporten er en gjennomgang og analyse av laboratoriedata med sikte på å fastlegge sammenhengen mellom betongens masseforhold og kloridtransportkoeffisientene, innvirkningen av "virkningsfaktoren  $k$  for silika" ved beregning av masseforholdet, forholdet mellom de ulike kloridtransportkoeffisientene samt effekten av betongens herding før prøving ( $\beta$ -faktoren).

Prøvingen er utført både på betong utstøpt i laboratorium og på kjerner boret ut fra felteksponeerte betongkonstruksjoner. Enkeltresultatene representerer ulike betonger, dvs. normalbetong og lettbetong, feltbetong og laboratoriebetong, betong med og uten silikatilsetning samt betong eksponert for ulike herdebetingelser.

For alle tre metodene er det funnet at et 2. grads polynom gir den beste kurvetilpasningen mellom masseforhold og kloridtransportkoeffisient. Neddykket kloridinnitregning ga, for hele utvalget på 117 enkeltresultater, korrelasjonskoeffisient  $R^2 = 0,68$  for virkningsfaktor  $k = 5$ . Et redusert utvalg, som omfatter 95 av forannevnte 117 enkeltresultater, ga korrelasjonskoeffisient  $R^2 = 0,80$  for  $k = 3$ . Effekten av å utelukke lettbetongprøvene fra utvalget var liten. Høyeste korrelasjonskoeffisient  $R^2=0,85$  ble oppnådd for kloridmigrasjon med virkningsfaktor  $k = 5-8$ .

Forholdet mellom påsprøytings- og diffusjonskoeffisientene ligger i området 1,4 – 1,8, mens forholdet til migrasjonskoeffisientene varierer for mye til å kunne gi et pålitelig forholdstall.

Effekten av å sette inn  $\beta$ -faktoren som 0,10, 0,13, og 0,15 er ubetydelig.

STIKKORD	NORSK	ENGLISH
	Betonngkonstruksjoner	Concrete structures
	Kloridinnitregning	Chloride ingress
	Laboratoriedata	Laboratory data
	Regresjonsanalyser	Regression analyses

**Rapport**      **Nr. 2**      Laboratoriedata for kloridinitiert armeringskorrosjon.

**Prosjekt**      **Betongkonstruksjoners livsløp**  
 Et utviklingsprosjekt i samarbeid mellom offentlige byggherrer, industri og forskningsinstitutter.

**Aktivitet**      **DP1 A1**      Levetidsprosjektering  
 Datainnsamling  
 Laboratorie- og felldata

**Deltagere**      Statens vegvesen (prosjektledelse),  
 Forsvarsbygg,  
 NORCEM A.S,  
 Selmer-Skanska AS  
 Sika Norge AS  
 Norges byggforskningsinstitutt,  
 NTNU,  
 SINTEF,  
 NORUT Teknologi as

Prosjektet er støttet av BA-programmet i  
 Norges forskningsråd

ISSN 1502-2331  
 ISBN 82-91228-07-8  
 50 eksemplarer trykt av  
 Statens vegvesen, Teknologiavdelingen

© Statens vegvesen 2003

**Adresse**      Vegdirektoratet, Teknologiavdelingen  
 Postboks 8142 Dep  
 N-0033 Oslo, Norway

**Telefon**      + 47 22 07 35 00  
**Telefax**      + 47 22 07 37 68

**Emneord**      Betongkonstruksjoner  
 Kloridinntrengning  
 Laboratoriedata  
 Regresjonsanalyser

**Key words**      Concrete structures  
 Chloride ingress  
 Laboratory data  
 Regression analyses

## FORORD

Fokus er i løpet av de senere årene flyttet fra bygging av nye konstruksjoner over mot forvaltning hvor det legges større vekt på problemstillinger knyttet til drift, vedlikehold og gjenbruk av eksisterende konstruksjoner.

Prosjektet "Betonkonstruksjoners livsløp" er knyttet opp mot denne typen utfordringer som en samlet bygg- og anleggsbransje står overfor. Kravene til bygg- og anleggskonstruksjoner er at de skal være funksjonelle og kostnadseffektive. Offentlige byggherrer forvalter og vedlikeholder et stort antall konstruksjoner som skal møte samfunnets krav til:

- sikkerhet
- kvalitet/økonomi
- miljø

Det ble de siste årene av 90-tallet lagt ned et betydelig arbeid i prosjektet "Bestandige betonkonstruksjoner". Av resultatene fra dette prosjektet og erfaringene fra prosjektet "OFU Gimsøystraumen" fremgår det klart at beslutningen om å bygge bestandige betonkonstruksjoner må tas tidlig i planleggingsfasen og at det er behov for enkelt å kunne verifisere prosjekteringsforutsetningene.

"Betonkonstruksjoners livsløp" bygger videre på forannevnte prosjekter. Hovedvekten er lagt på klart formulerte forskningsoppgaver som dels sammenfatter eksisterende kunnskap og dels fyller hull i kunnskapsgrunnlaget. Aktivitetene er valgt innenfor en ramme som omfatter alle faser fra planlegging til riving og gjenbruk.

Prosjektets hovedmålsetning har vært:

### **Kostnadseffektive og miljøgunstige betonkonstruksjoner**

med følgende delmål:

- Identifisere hovedparametre i levetidsmodellene og kalibrere dem mot feltefareninger
- System for vurdering av vedlikeholdstiltaks levetid
- System for instrumentell overvåkning av betonkonstruksjoners tilstandsutvikling
- Kunnskapsformidling gjennom normarbeid, kurs og internasjonale nettverk

Prosjektets sluttprodukter er:

- Grunnlag for veiledninger og regler for levetidsprosjektering
- Akseptkriterier for bedømmelse av betonkonstruksjoners bestandighet
- Datagrunnlag til bruk i standardiseringsarbeid og som inngangsdata til europeisk nettverksarbeid
- Kunnskap og kompetanse knyttet til sensor-teknologi, måleteknikk, "intelligent" instrumentell overvåkning, katodisk beskyttelse etc., hvor industripartnerne gis mulighet til å utnytte resultatene kommersielt

Prosjektet har bestått av flere større og mindre aktiviteter gruppert i følgende delprosjekter:

- DP1. Levetidsprosjektering
  - A. Datainnsamling
  - B. Levetidsmodeller
- DP2. Vedlikeholds- og oppgraderingsmetoder
  - A. Vedlikeholdsmetoder
  - B. Oppgraderingsmetoder
  - C. Rustfri armering
- DP3. Måleteknikk

Aktivitetene i prosjektet er basert på enkeltforslag fra prosjektdeltakerne. Hvor aktivitetene hadde fellestrekks, kunne leverer resultater til, eller benytte resultater fra andre aktiviteter ble dette identifisert ved oppstarten av prosjektet og nødvendig koordinering foretatt. Ellers er aktivitetene styrt meget selvstendig.

Prosjektet startet høsten 1999 og ble avsluttet høsten 2001. Prosjektet har vært støttet av BA-programmet i Norges forskningsråd med NOK 1 mill i hvert av årene 1999 og 2000.

I tillegg til støtten fra Norges forskningsråd har det vært ytet en betydelig egeninnsats fra deltakerne i form av personalinnsats og kjøp av FoU-tjenester. Prosjektkostnadene per 31-12-00 var NOK 7,25 mill, hvorav NOK 2,7 mill var benyttet til kjøp av FoU-tjenester fra forskningsinstitutter og NOK 0,5 mill fra konsulent. I år 2001 ble det kjøpt tjenester for NOK 1,7 mill som i sin helhet ble finansiert av prosjektdeltagerne. Samlede prosjektkostnader ved avslutningen av prosjektet er ca. NOK 9 mill.

Prosjektet har hatt følgende deltakere:

Statens vegvesen  
 Forsvarsbygg  
 NORCEM A.S  
 Selmer Skanska AS  
 NTNU  
 SINTEF  
 Sika Norge AS  
 Norges byggforskningssinstitutt  
 NORUT Teknologi as

I tillegg har prosjektet samarbeidet med Det Norske Veritas og ARMINOX, som begge har bidratt med egeninnsats.

Det er knyttet to dr. gradsstudenter til prosjektet.

Prosjektet mottok i juni 2000 et 3 års dr.grad stipendum. Stipendiat ble tilsatt 01-01-2001.

Prosjektet har vært ledet av Vegdirektoratet. Prosjektlledelsen, som har bestått av Finn Fluge Vegteknisk avdeling, Vegdirektoratet og Bernt Jakobsen, Aadnesen a.s, har rapportert til en styringskomite som har bestått av representanter fra prosjektdeltakerne. Styringskomiteen har vært samlet to ganger årlig eller ved behov og har fastlagt mål og hovedstrategier.

Internationally different methods for testing chloride ingress exist. The following three methods have been common in Norway: chloride ingress on immersed concrete specimens (APM 302/NT Build – also termed Bulk Diffusion); salt spray testing and chloride migration (NT Build 355).

The purpose of the research was on the basis of laboratory test data, to establish the

- relationship between the water cement ratio and the chloride transport coefficients obtained from testing according to the three methods mentioned above.
- influence of the “efficiency factor k for silica fume” with respect to the above mentioned relationship between water cement ratio and the chloride transport coefficients.
- ratio between the three chloride transport coefficients; the diffusion coefficient  $D_D$ , the salt spray coefficient  $D_S$  and the migration coefficient  $D_M$ .
- effect of concrete curing before testing on chloride transport coefficients ( $\beta$ -factor)

The input data used in the analyses were collected in the project “Bestandige betongkonstruksjoner” (Durable Concrete Structures). The appendices contain an overview of all tests performed, supplemented with basic concrete data from mix design etc.

The testing has been performed on concrete specimens cast in the laboratory and on concrete cores drilled from concrete structures exposed to field conditions. The data represent concrete of different quality; i.e. normal weight concrete, lightweight concrete, concrete with and without addition of silica fume and concrete exposed to different curing regimes.

The data have been through regression analyses allowing different parameters to be established. For all three methods it has been found that a 2nd degree polynomia represents the best curve fit between water cement ratio and the chloride transport coefficients.

For the method “immersed chloride ingress” 117 individual recordings gave a coefficient of correlation of  $R^2 = 0.68$  for efficiency factor  $k = 5$ . Excluding specimens with surface skin and specimens exposed to elevated curing temperatures the remaining 95 individual recordings gave a coefficient of correlation of  $R^2 = 0.80$  for efficiency factor  $k = 3$ . Exclusion of lightweight concrete in the analyses had only a minor influence.

The highest coefficient of correlation obtained was  $R^2 = 0.85$ , for the chloride migration coefficient with the efficiency factor for silica fume  $k$  between 5 and 8.

The relationship between both the diffusion and the migration coefficient ( $D_D/D_M$ ) and the salt spray and the migration coefficient ( $D_S/D_M$ ) varied to much to give a reliable relationship. On the other hand the relationship between the diffusion coefficient and the salt spray coefficient ( $D_D/D_S$ ) is within the range of 1.4 – 1.8

The effect of including the factor  $\beta$  in the computations gives a somewhat poorer correlation between water cement ratio and the diffusion coefficient  $D_D$ . Variation of the  $\beta$ -factor between 0,10 and 0,15 had only minor effects.

## RAPPORTOVERSIKT

vi

<b>Rapport nr.1:</b>	TITTEL:	Felldata for kloridinitiert armeringskorrosjon. Sammenstilling og kvalitetsvurdering av tilgjengelige data.
Aktivitet:	DP1 A1	
Utgiver:	Statens vegvesen, Vegdirektoratet, Teknologiavdelingen Intern rapport nr. 2197.	
Forfattere:	Skjølsvold, O., Jacobsen, S., Lahus, O., Lindgård, J., Hynne, T.	
ISSN	1502-2331	
ISBN	82-91228-04-3	
Sider:	12 + 9 +7 vedlegg + CD-ROM	
Dato:	Desember 2002	
<b>Rapport nr. 2:</b>	TITTEL:	Laboratoriedata for kloridinitiert armeringskorrosjon.
Aktivitet:	DP1 A1	
Utgiver:	Statens vegvesen, Vegdirektoratet, Teknologiavdelingen SINTEF. Rapport nr. STF22 A00732.	
Forfattere:	Hynne, T. og Lindgård, J.	
ISSN	1502-2331	
ISBN	82-91228-07-8	
Sider:	13 + 35 + 16 vedlegg	
Dato:	Januar 2003	
<b>Rapport nr. 3:</b>	TITTEL:	Gimsøystraumen bru. Spesialinspeksjon 1992-kloridprofiler. Vurdering av kloridbelastning og diffusjonskoeffisient
Aktivitet:	DP1 A1	
Utgiver:	Statens vegvesen, Vegdirektoratet, Teknologiavdelingen Intern rapport nr. 2196.	
Forfattere:	Skjølsvold, O.	
ISSN	1502-2331	
ISBN	82-91228-08-6	
Sider:		
Dato:	Januar 2003	
<b>Rapport nr. 4:</b>	TITTEL:	Kloridinnretning i ressursvennlig kvalitetsbetong.
Aktivitet:	DP1 A2	
Utgiver:	Statens vegvesen, Vegdirektoratet, Teknologiavdelingen NORCEM rapport	
Forfattere:	Kjellsen, K.O. og Skjølsvold, O.	
ISSN	1502-2331	
ISBN	82-91228-09-4	
Sider:		
Dato:	Januar 2003	

<b>Rapport nr. 5:</b>	TITTEL:  Aktivitet: Utgiver:  Forfattere: ISSN ISBN Sider: Dato:	Statistisk beregning av levetid for betongkonstruksjoner utsatt for kloridinnstregning. DP1 B1 Statens vegvesen, Vegdirektoratet, Teknologiavdelingen SINTEF. Rapport nr. STF22 A01613. Hynne, T., Leira, B.J., Carlsen, J.E. og Lahus, O. 1502-2331 82-91228-10-8  Februar 2003
<b>Rapport nr. 6:</b>	TITTEL:  Aktivitet: Utgiver:  Forfattere: ISSN ISBN Sider: Dato:	Dimensjoneringsformat for kloridbestandighet. DP1 B1 Statens vegvesen, Vegdirektoratet, Teknologiavdelingen SINTEF. Rapport STF22 A02601. Leira, B.J. 1502-2331 82-91228-11-6  Februar 2003
<b>Rapport nr. 7:</b>	TITTEL:  Aktivitet: Utgiver:  Forfattere: ISSN ISBN Sider: Dato:	Pålitelighetsmetodikk ved bruk av FDV og levetidsberegninger. DP1 B2 Statens vegvesen, Vegdirektoratet, Teknologiavdelingen Aas-Jakobsen. Rapp 6943-01. Larsen, R.M. 1502-2331 82-91228-12-4  Februar 2003
<b>Rapport nr. 8:</b>	TITTEL:  Aktivitet: Utgiver:  Forfattere: ISSN ISBN Sider: Dato:	Effekt av reparasjon på levetid: Eksempelstudie fra Gimsøystraumen. DP1 B3 Statens vegvesen, Vegdirektoratet, Teknologiavdelingen SINTEF. Rapport nr. STF22 A01607. Hynne, T. og Leira, B.J. 1502-2331 82-91228-13-2  Mars 2003

<b>Rapport nr. 9:</b>	TITTEL: Bestandighet og levetid av reparerte betongkonstruksjoner.
Aktivitet:	DP2 A2
Utgiver:	Statens vegvesen, Vegdirektoratet, Teknologiavdelingen NORUT Teknologi as rapport NTAS F2001-36.
Forfattere:	Arntsen, B.
ISSN	1502-2331
ISBN	82-91228-14-0
Sider:	
Dato:	Mars 2003
<b>Rapport nr. 10:</b>	Restlevetid – Kai Sjursøya.
Aktivitet:	DP2 A3
Utgiver:	Statens vegvesen, Vegdirektoratet, Teknologiavdelingen Selmer Skanska AS, rapport nr. B 01-01.
Forfattere:	Carlsen, J.E.
ISSN	1502-2331
ISBN	82-91228-15-9
Sider:	
Dato:	Mars 2003
<b>Rapport nr. 11:</b>	Feltforsøk Sykkylven bru.
Aktivitet:	DP2 A4
Utgiver:	Statens vegvesen, Vegdirektoratet, Teknologiavdelingen Selmer Skanska AS, rapport nr. B 01-02
Forfattere:	Carlsen, J.E.
ISSN	1502-2331
ISBN	82-91228-16-7
Sider:	
Dato:	Mars 2003
<b>Rapport nr. 12:</b>	Strengthening Prestressed Concrete Beams with Carbon Fiber Polymer Plates.
Aktivitet:	DP2 B1
Utgiver:	Statens vegvesen, Vegdirektoratet, Teknologiavdelingen NTNU, Institutt for konstruksjonsteknikk.
Forfattere:	Takacs, P.F. og Kanstad, T.
ISSN	1502-2331
ISBN	82-91228-17-5
Sider:	
Dato:	Mars 2003

<b>Rapport nr. 13:</b>	TITTEL: Aktivitet: Utgiver:  Forfattere: ISSN ISBN Sider: Dato:	Forsterking av betongsøyler med karbonfibervev. DP2 B2 Statens vegvesen, Vegdirektoratet, Teknologiavdelingen SINTEF. Rapport nr. STF22 A00718.  Thorenfeldt, E. 1502-2331 82-91228-18-3  April 2003
<b>Rapport nr. 14:</b>	TITTEL: Aktivitet: Utgiver:  Forfattere: ISSN ISBN Sider: Dato:	Forankringskapasitet av CFAP-bånd limt til betong. DP2 B2 Statens vegvesen, Vegdirektoratet, Teknologiavdelingen SINTEF. Rapport nr. STF22 A01618.  Thorenfeldt, E. 1502-2331 82-91228-19-1  April 2003
<b>Rapport nr. 15:</b>	TITTEL:  Aktivitet: Utgiver:  Forfattere: ISSN ISBN Sider: Dato:	Nonlinear Finite Element Analysis of Deteriorated and Repaired RC Beams DP2 B3 Statens vegvesen, Vegdirektoratet, Teknologiavdelingen NORUT Teknologi as rapport NTAS F2001-31.  Sand, B. 1502-2331 82-91228-20-5  Mai 2003
<b>Rapport nr. 16:</b>	TITTEL: Aktivitet: Utgiver:  Forfattere: ISSN ISBN Sider: Dato:	Styrkeberegning ved korrosjonsskader. DP2 B3 Statens vegvesen, Vegdirektoratet, Teknologiavdelingen SINTEF. Rapport nr. STF22 A01619.  Stemland, H. 1502-2331 82-91228-21-3  Mai 2003

<b>Rapport nr. 17:</b>	TITTEL: Korrosjonsegenskaper for rustfri armering. Aktivitet: DP2 C1 Utgiver: Statens vegvesen, Vegdirektoratet, Teknologiavdelingen NTNU, Institutt for konstruksjonsteknikk. Forfattere: Rapport R-9-01. ISSN: Vennesland, Ø. ISBN: 1502-2331 Sider: 82-91228-22-1 Dato: Mai 2003
<b>Rapport nr. 18:</b>	Heftforhold for rustfritt armeringsstål. Aktivitet: DP2 C2 Utgiver: Statens vegvesen, Vegdirektoratet, Teknologiavdelingen NTNU rapport. Forfattere: Hofsoy, A., Sørensen, S.I. og Markeset, G. ISSN: 1502-2331 ISBN: 82-91228-24-8 Sider: Dato: Mai 2003
<b>Rapport nr. 19:</b>	Service Life Design of Concrete Structures Aktivitet: DP1 B4 Utgiver: Statens vegvesen, Vegdirektoratet, Teknologiavdelingen Forfattere: Helland, S., Maage, M., Smepllass, S., Fluge, F. ISSN: 1502-2331 ISBN: 82-91228-25-6 Sider: Dato: Juni 2003
<b>Rapport nr. 20:</b>	SLUTTRAPPORT Aktivitet: - Utgiver: Statens vegvesen, Vegdirektoratet, Teknologiavdelingen Forfattere: Fluge, F. og Jakobsen, B. ISSN: 1502-2331 ISBN: 82-91228-26-4 Sider: Dato: November 2003

<b>INNHOLDSFORTEGNELSE</b>	xi
<b>FORORD</b>	iii
<b>SUMMARY</b>	v
<b>RAPPORTOVERSIKT</b>	vi
<b>INNHOLDSFORTEGNELSE</b>	xi
<b>1. SAMMENDRAG</b>	xii
<b>2. RAPPORt – innhold utgjøres av følgende vedlegg</b>	
SINTEF rapport SFT22 A00732, Januar 2001	
Lindgård, J. og Hynne, T.	
"Laboratoriedata for kloridinitiert armeringskorrosjon".	

## 1. SAMMENDRAG

Internasjonalt eksisterer det flere metoder for laboratorieprøving av betongs motstand mot kloridinntregning. I Norge har det på 90-tallet vært vanlig å bruke følgende tre metoder:

- Neddykket kloridinntregning, APM 302 / NT Build 443 - tidligere kalt Bulk Diffusion
- Kloridpåsprøyting
- Kloridmigrasjon, NT Build 355.

Rapporten er en gjennomgang og analyse av laboratoriedata med sikte på å fastlegge:

- sammenhengen mellom betongs masseforhold  $v/(c+ks)$  og tilhørende kloridtransportkoeffisienter bestemt ved prøving etter en av de tre forannevnte laboratoriemetodene for kloridinntrenging.
- innvirkningen av ”effektivitetsfaktoren  $k$  for silika”, på nevnte sammenheng mellom betongs masseforhold og kloridtransportkoeffisientene.
- forholdet mellom de tre kloridtransportkoeffisientene, dvs. diffusjonskoeffisienten  $D_D$ , påsprøytingskoeffisienten  $D_S$  og migrasjonskoeffisienten  $D_M$ , bestemt ved henholdsvis neddykket kloridinntrengning, kloridpåsprøyting og kloridmigrasjon.
- den effekten betongs herdning, før laboratorieprøvingen, har på opptrædende kloridtransportkoeffisient ( $\beta$ -faktoren).

Det rapporterte arbeidet er dels utført som ledd i SINTEFs strategiske instituttprogram (SIP) ”FDV og levetid av bygd infrastruktur”, og dels som ledd i prosjektet Betongkonstruksjoners livsløp innenfor aktivitet DP1 A1.

Dataene som danner grunnlaget for denne rapporten er hentet fra prosjektet ”Bestandige betongkonstruksjoner” hvor tilgjengelige laboratoriedata samlet og systematisert. I vedlegg er det gitt en oversikt over alle utførte laboratorieundersøkelser basert på de tre forannevnte metodene med angivelse av betongs grunnlagsdata som masseforhold etc. Laboratorieprøvingen er utført på både betong utstøpt i laboratorium og kjerner boret ut fra felteksponte betongkonstruksjoner. Enkeltresultatene representerer ulike betonger; dvs. normalbetong og lettbetong, feltbetong og laboratoriebetong, betong med og uten silikatilsetning samt betong eksponert for ulike herdebetingelser.

Videre er det i oversiktene angitt de konstruksjonene hvor det er utført parallele in situ undersøkelse av kloridinntrengningen

Datamaterialet er viderebehandlet ved regresjonsanalyser og det er etablert relasjoner mellom aktuelle parametere. For alle tre laboratoriemetodene er det funnet at et 2. grads polynom gir den beste kurvetilpasning mellom masseforhold ( $v/(c+ks)$ ) og kloridtransportkoeffisienter.

Analyse av dataene fra neddykket kloridinntrenging ga, for hele utvalget på 117 enkeltresultater, korrelasjonskoeffisient  $R^2 = 0,68$  for effektivitetsfaktor  $k = 5$ . Et redusert utvalg, hvor hudprøver og prøver med høy herdetemperatur er trukket ut og som omfatter 95 av forannevnte 117 enkeltresultater ga korrelasjonskoeffisient  $R^2 = 0,80$  for  $k = 3$ , se figur 3.1 og 3.2 i hovedteksten. Effekten av å utelukke lettbetongprøvene fra utvalget var derimot liten.

Tabell 1 viser beregnede diffusjonskoeffisienter  $D_D$  for masseforhold 0,3, 0,4 og 0,5 basert på regresjonsanalyser av både det hele og det reduserte utvalget.

Tabell 1.

	Regresjonsanalyse av hele utvalget	Regresjonsanalyse av redusert utvalg
	Diffusjonskoeffisient $D_D$ $10^{-12} \text{ m}^2/\text{s}$	Diffusjonskoeffisient $D_D$ $10^{-12} \text{ m}^2/\text{s}$
Masseforhold $v/(c + ks)$		
0,3	2,9	2,3
0,4	6,9	5,0
0,5	16,5	12,5
Antall enkeltresultater i utvalget	117	95
Effektivitetsfaktor k	5	3
Korrelasjonskoeffisient $R^2$	0,68	0,80

Sammenhengen masseforholdet/påsprøytningskoeffisient, henholdsvis sammenhengen masseforhold/migrasjonskoeffisient er analysert på en tilvarende måte.

Høyeste korrelasjonskoeffisient ( $R^2=0,85$ ) ble oppnådd for kloridmigrasjon med effektivitetsfaktor k = 5-8.

Forholdet mellom påsprøytingkoeffisientene og diffusjonskoeffisientene ( $D_s/D_D$ ), er relativt entydig, og ligger i området 1,4 –1,8, sammenhengen blir bedre for lavere betongfasthet (høyere verdi av  $D_D$  og  $D_s$ ). Forholdet mellom diffusjonskoeffisientene og migrasjonskoeffisientene ( $D_D/D_M$ ), varierer for mye til at det kan angis et pålitelig forholdstall mellom dem. Dette gjelder også for forholdet mellom påsprøytningskoeffisient og migrasjonskoeffisient ( $D_s/D_M$ ).

Det er videre funnet at å inkludere  $\beta$ -faktoren i kurvetilpassingen gir litt dårligere korrelasjon mellom masseforholdet, og diffusjonskoeffisienten,  $D_D$ . Prøving av  $\beta$ -faktorer på 0,10, 0,13, og 0,15 hadde minimal effekt på i resultatene.



**SINTEF**

**SINTEF Bygg og miljø**  
Sement og betong

Postadresse: 7465 Trondheim  
Besøksadresse: Richard Birkelands vei 3  
Telefon: 73 59 52 24  
Telefaks: 73 59 71 36

Føretaksregisteret: NO 948 007 029 MVA

# **SINTEF RAPPORT**

TITTEL

**Betonkonstruksjoners livsløp**  
**"Laboratoriedata for kloridinitiert armeringskorrosjon"**

FORFATTER(E)

Trine Hynne, Jan Lindgård

OPPDRAKGSGIVER(E)

Statens Vegvesen, Vegdirektoratet, Vegteknisk avdeling

RAPPORTNR.	GRADERING	OPPDRAKGSGIVERS REF.
STF22 A00732	Åpen	Finn Fluge
GRADER. DENNE SIDE	ISBN	PROSJEKTNR.
Åpen	82-14-01981-8	22M173
ELEKTRONISK ARKIVKODE	i:\pro\22M173\STF22 A00732.doc	PROSJEKTLEDER (NAVN, SIGN.) <i>Jan Lindgård</i> VERIFISERT AV (NAVN, SIGN.) <i>Harald Justnes</i>
ARKIVKODE	DATO	GODKJENT AV (NAVN, STILLING, SIGN.) <i>Einar Aassved Hansen, forskningssjef</i>
2001-01-24		

**SAMMENDRAG**

Internasjonalt eksisterer det flere typer prøvingsmetoder for laboratorieprøving av ulike betongers motstand mot kloridinntrenging. I Norge har det på 90-tallet vært vanlig å bruke følgende tre metoder, Kloridmigrasjon (NT Build 355), Neddykket kloridinntrenging (APM 302 / NT Build 443; tidligere kalt Bulk Diffusion) og Kloridpåsprøyting. Tilgjengelige data fra disse metodene er sammenstilt og bearbeidet ved regresjonsanalyser. Det rapporterte arbeidet er dels utført som ledd i SINTEFs strategiske instituttprogram (SIP) "FDV og levetid av bygd infrastruktur", og dels som ledd i prosjektet Betongkonstruksjoners livsløp innenfor aktivitet DP1 A.1.

Hensikten med arbeidet har vært å studere sammenhengen mellom kloridtransportkoeffisienter og masseforhold for betong, å studere innvirkningen av "effektivitetsfaktoren for silika" på sammenhengen mellom masseforhold og kloridtransportkoeffisient, å vurdere forholdet mellom de tre kloridtransportkoeffisientene, samt å vurdere effekt av  $\beta$  - faktoren på sammenhengen mellom transportkoeffisient fra neddykket kloridinntrenging og masseforhold.  $\beta$  - faktoren angir innflytelse av herdeforhold.

Det er funnet at 2.grads polynom tilpasning mellom masseforhold og transportkoeffisienter gir best resultat. Videre er det funnet at forholdet mellom diffusjons- og migrasjonskoeffisient samt forholdet mellom påsprøytings- og migrasjonskoeffisient er vanskelig å angi eksakt pga. stor variasjon. Forholdet mellom diffusjons- og påsprøytingskoeffisient er funnet å ligge i området 1,4 – 1,8. Det er også funnet at  $\beta$  - faktoren har liten eller ingen innvirkning på forholdet mellom koeffisienter og masseforhold.

STIKKORD	NORSK	ENGELSK
GRUPPE 1	Materialteknologi	Material technology
GRUPPE 2	Betong	Concrete
EGENVALGTE	Kloridinntrenging	Chloride diffusion
	Laboratoriedata	Laboratory data
	Regresjonsanalyser	Regression analyses

## INNHOLDSFORTEGNELSE

<b>1</b>	<b>Innledning .....</b>	<b>4</b>
<b>2</b>	<b>Hensikt .....</b>	<b>4</b>
<b>3</b>	<b>Sammenheng mellom kloridtransportkoeffisientene og <math>v/(c+k \cdot s)</math>.....</b>	<b>4</b>
3.1	Generelt .....	4
3.2	Neddykket kloridinntrenging .....	5
3.3	Kloridpåsprøyting .....	8
3.4	Kloridmigrasjon .....	11
3.5	Betoner med $v/(c+s) < 0,5$ ; oppsummering .....	13
3.6	Bruk av middelverdier.....	14
3.7	Ekskludering av lettbetonger.....	14
<b>4</b>	<b>Forhold mellom kloridtransportkoeffisienter .....</b>	<b>15</b>
4.1	Generelt - metodebeskrivelse.....	15
4.2	Sammenheng mellom migrasjonskoeffisient, $D_M$ og diffusjonskoeffisient, $D_D$ .....	19
4.3	Sammenheng mellom påsprøytingskoeffisient, $D_S$ og diffusjonskoeffisient, $D_D$ .....	21
4.4	Sammenheng mellom påsprøytingskoeffisient, $D_S$ og migrasjonskoeffisient, $D_M$ .....	23
<b>5</b>	<b>Effekt av beta – faktor på sammenheng mellom masseforhold og transportkoeffisient fra neddykket kloridinntrenging.....</b>	<b>25</b>
5.1	Generelt .....	25
5.2	Beta = 0,10 .....	25
5.3	Beta = 0,13 .....	28
5.4	Beta = 0,15 .....	31
5.5	Oppsummering, Beta – faktor .....	34
<b>6</b>	<b>Oppsummering .....</b>	<b>34</b>
<b>7</b>	<b>Referanser .....</b>	<b>35</b>

## VEDLEGG

- Vedlegg 1 : Anonymisert oversikt over alle utførte laboratorieundersøkelser (Fil: "Oversikt, alle\_anonym.xls")
- Vedlegg 2 : Data, neddykket kloridinntrenging (Fil:"Data, neddykket.xls")
- Vedlegg 3 : Data, kloridpåsprøyting (Fil:"Data, påsprøyting.xls")
- Vedlegg 4 : Data, kloridmigrasjon (Fil:"Data, migrasjon.xls")
- Vedlegg 5 : Resultater fra analyser, Neddykket kloridinntrenging
- Vedlegg 6 : Resultater fra analyser, Kloridpåsprøyting
- Vedlegg 7 : Resultater fra analyser, Kloridmigrasjon
- Vedlegg 8 : Resultater fra analyser, Prøver med  $v/(c+s) < 0,50$
- Vedlegg 9 : Resultater fra analyser, Ekskludering av lettbetonger
- Vedlegg 10: Resultater fra analyser, Sammenheng mellom ulike transportkoeffisienter
- Vedlegg 11: Resultater fra analyser, Effekt av beta - faktor,  $\beta = 0,10$
- Vedlegg 12: Resultater fra analyser, Effekt av beta - faktor,  $\beta = 0,13$
- Vedlegg 13: Resultater fra analyser, Effekt av beta - faktor,  $\beta = 0,15$
- Vedlegg 14: Figurer fra regresjonsanalyse, Neddykket kloridinntrenging
- Vedlegg 15: Figurer fra regresjonsanalyse, Kloridpåsprøyting
- Vedlegg 16: Figurer fra regresjonsanalyse, Kloridmigrasjon

## 1 Innledning

Internasjonalt eksisterer det flere typer prøvingsmetoder for laboratorieprøving av ulike betongers motstand mot kloridinntrenging. I Norge har det på 90-tallet vært vanlig å bruke følgende tre metoder:

- Kloridmigrasjon (NT Build 355)
- Neddykket kloridinntrenging (APM 302 / NT Build 443; tidligere kalt Bulk Diffusion)
- Kloridpåsprøyting (SINTEFs interne prosedyre KS 70 116)

Ved alle disse tre metodene blir betongens motstand mot kloridinntrenging karakterisert ved såkalte kloridtransportkoeffisienter. I prosjektet "Bestandige betongkonstruksjoner" har SINTEF tidligere innhentet og systematisert alle tilgjengelige data fra disse metodene (Lindgård, J., 1997). Disse dataene, samt resultater fra forsøk som er utført ved SINTEF Bygg og miljø, Sement og betong i perioden 1997-1999, er samlet i Excel regneark. Dette er utgangspunktet for arbeidet som er beskrevet i denne rapporten, hvor alle dataene er viderebehandlet ved regresjonsanalyser. Arbeidet er dels utført som ledd i SINTEFs strategiske instituttpogram (SIP) "FDV og levetid av bygd infrastruktur", og dels som ledd i prosjektet Betongkonstruksjoners livsløp innenfor aktivitet DP1 A.1.

## 2 Hensikt

Hensikten med arbeidet har først og fremst vært:

- å studere sammenhengen mellom kloridtransportkoeffisienter og masseforhold for betong prøvd i henhold til de tre ulike laboratoriemetodene for kloridinntrenging
- å studere innvirkningen av "effektivitetsfaktoren for silika" (dvs faktoren  $k$  i forholdet  $v/(c + k \cdot s)$ ) på sammenhengen mellom masseforhold og kloridtransportkoeffisient
- å vurdere forholdet mellom de tre kloridtransportkoeffisientene bestemt ved de tre ulike metodene
- å vurdere effekt av beta – faktoren (dvs. parameter som angir herdeforhold av prøvestykke forut for laboratorieprøvingen) på sammenhengen mellom transportkoeffisient fra neddykket kloridinntrenging og masseforhold

Arbeidet vil gi et godt grunnlag for å sammenligne resultater fra kloridprøving i laboratoriet med resultater fra feltekspontert betong. Resultatene både fra laboratorium og felt vil igjen være viktig input til levetidsmodellering.

## 3 Sammenheng mellom kloridtransportkoeffisientene og $v/(c+k \cdot s)$

### 3.1 Generelt

Sammenhengen mellom kloridtransportkoeffisientene og  $v/(c+k \cdot s)$  er funnet ved hjelp av funksjonen Trendline i Excel. Denne funksjonen tilpasser ulike kurvetyper til datapunkter og gir resultatet i form av en korrelasjonskoeffisient,  $R^2$ . Denne korrelasjonskoeffisienten er et uttrykk for hvor godt punktene er tilpasset funksjonen, der  $R^2 = 1.0$  betyr at alle punktene ligger på kurven.

Fire ulike kurvetyper er valgt ved regresjonsanalysen, og disse er:

- Lineær funksjon;  $y = a \cdot x + b$
- 2.grads polynom funksjon;  $y = a \cdot x^2 + b \cdot x + c$
- Eksponensial funksjon;  $y = a \cdot e^{bx}$
- Power funksjon;  $y = a \cdot x^b$

For å vurdere innvirkningen av effektivitetsfaktoren for silika, k, er denne variert fra 1 – 8 for alle betongprøvene. k = 1 betyr ingen ”tetthetsgevinst ” ved bruk av silika, mens k = 8 betyr stor effekt av silika.

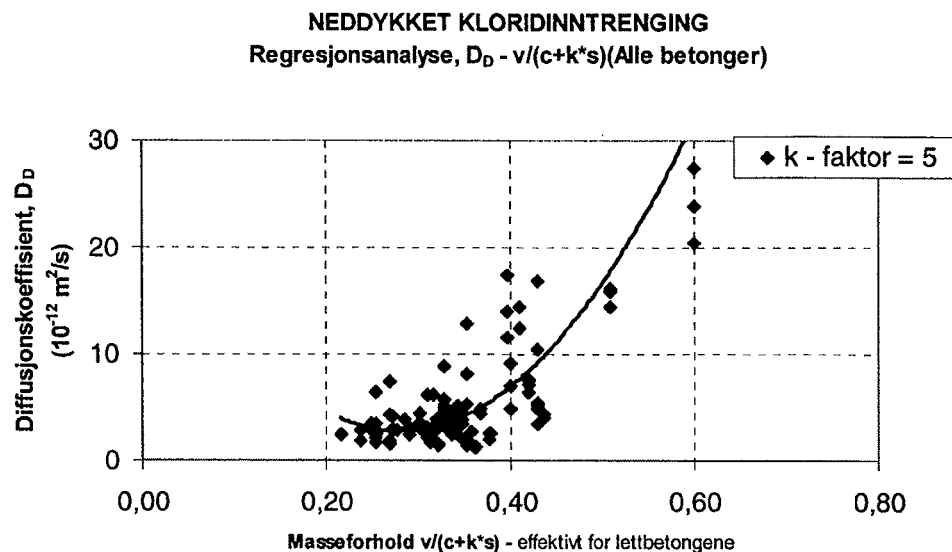
Framgangsmåten har vært å først vurdere resultatet med alle data / målepunktene inkludert. Videre er resultater fra hudprøver (dvs prøver der feltbetongens overflate er eksponert i laboratorieforsøkene) og prøver med høy herdetemperatur (dvs  $\geq 45^\circ\text{C}$ ) fjernet for å forbedre resultatet. Hudprøvene er befeftet med stor usikkerhet (f.eks. vil begroing kunne redusere kloridinntrengingen), og økende temperatur har vist seg å øke kloridinntrengingen /1/. Til slutt ble punkter som så ut til å falle utenfor det generelle bildet fjernet (dvs såkalte ”outliers” eller ”slengere”). Det er ikke brukt noen entydig definisjon på disse ”slengerne”, men dersom det ble oppnådd en betydelig forbedring i korrelasjonskoeffisienten (dvs en økning i  $R^2$  i størrelsesorden 0,10) ved fjerning av de aktuelle punktene, ble disse utelatt fra datamengden.

### 3.2 Neddykket kloridinntrenging

Totalt 117 betongprøver var testet med metoden neddykket kloridinntrenging. For k = 1 ble beste resultat for korrelasjonskoeffisienten med alle de 117 prøvene inkludert oppnådd gjennom polynom tilpasning ( $R^2 = 0,61$ ). Ved å variere k fra 1-8, ble høyeste korrelasjonskoeffisient ( $R^2=0,68$ ) oppnådd for k = 4-7 og polynom tilpasning. De 117 punktene med k = 5 tilpasset 2.grads polynom – funksjonen

$$D_D = 282,45x^2 - 157,85x + 24,852$$

der  $x = v/(c+5 \cdot s)$  er vist i figur 3.1 og i vedlegg 14 (side 1 av 2).



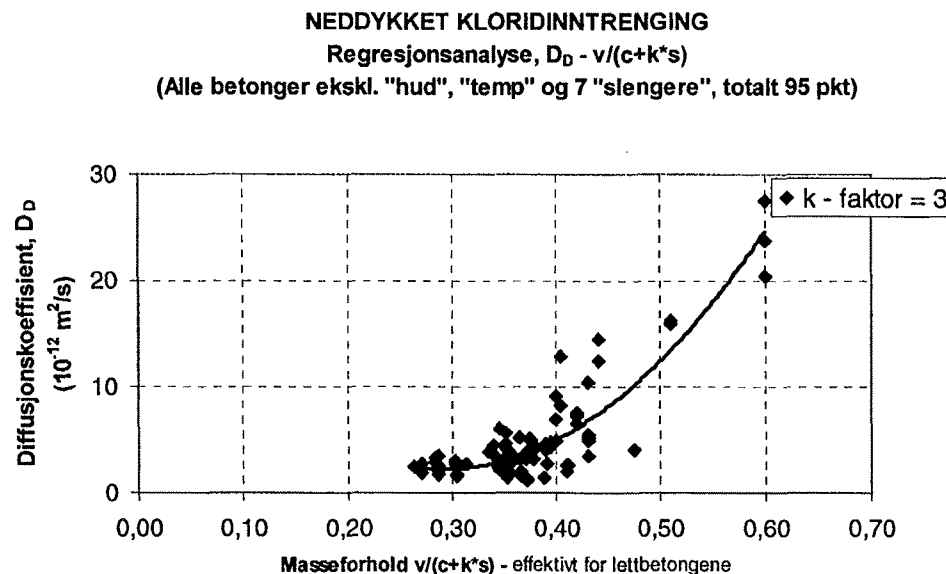
Figur 3.1 "Beste tilpasning" (med alle 117 betonger inkludert) ved regresjonsanalyse av resultater fra neddykket kloridinntrenging;  $D_D$  som funksjon av  $v/(c+k^*s)$

Etter å ha fjernet hudprøver og prøver med høy herdetemperatur, ble det prøvet og feilet litt for å finne eventuelle "slengere". Best resultat ble oppnådd etter å ha fjernet 7 slike "slengere", og antall datapunkter var da nede i 95. Beste resultat ble også nå funnet ved bruk av polynom tilpasning med en k - faktor på 3.  $R^2$  ble her beregnet til 0,80, som er en god tilpasning til linja (tatt i betraktnsing at dette er ulike betonger; både normalbetong og lettbetong, feltbetong og laboratoriebetong, betonger med silika og uten silika, betonger støpt ut og herdet ved ulike betingelser).

Uttrykket for polynomfunksjonen ble gitt som:

$$D_D = 235,12x^2 - 137,04x + 22,222$$

der  $x = v/(c+3\cdot s)$ . De 95 punktene og den gitte polynomfunksjonen er vist i figur 3.2 og i vedlegg 14 (side 2 av 2).



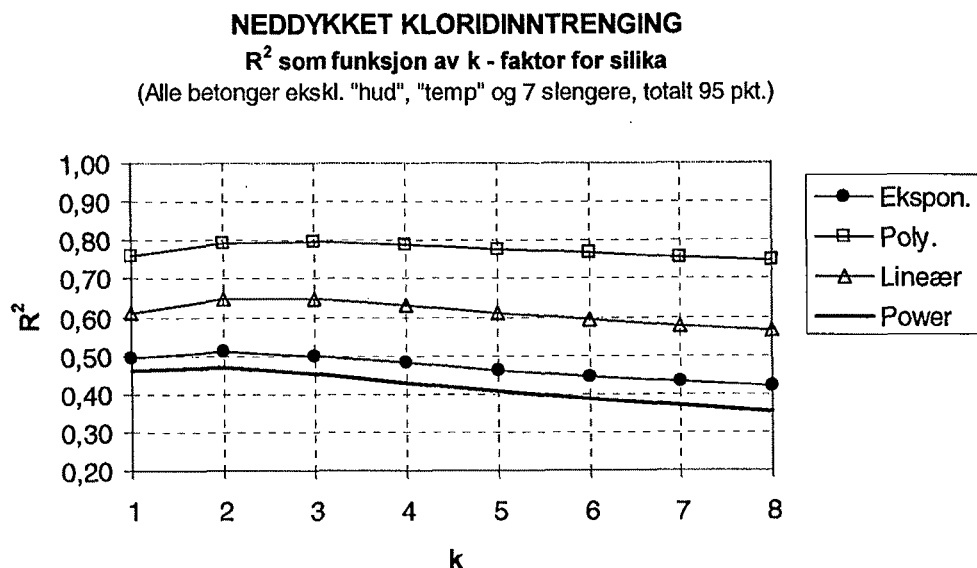
**Figur 3.2** "Beste tilpasning" ved regresjonsanalyse av resultater fra neddykket kloridinntrenging;  $D_D$  som funksjon av  $v/(c+k\cdot s)$

En sammenstilling av resultatene for korrelasjonskoeffisienten for tilpasning til polynomfunksjonen for  $k = 1-8$  er gitt i tabell 3.1. Resultatene fra tilpasningene til de andre kurvetyperne er gitt i vedlegg 5.

**Tabell 3.1: Neddykket kloridinntrenging, polynomial tilpasning,**

"Tilfelle"	Antall punkt	$R^2$ ved polynomial tilpasning for k – verdi lik:							
		1	2	3	4	5	6	7	8
Alle punkt	117	0,61	0,66	0,67	0,68	0,68	0,68	0,68	0,67
Ekskl. hud og temp > 45°C	102	0,62	0,67	0,69	0,69	0,69	0,69	0,69	0,68
Ekskl. hud, temp og 4 slengere	98	0,67	0,71	0,72	0,72	0,72	0,72	0,71	0,71
Ekskl. hud, temp og 7 slengere	95	0,76	0,79	0,80	0,79	0,78	0,77	0,76	0,75

For å kunne sammenligne korrelasjonskoeffisienten  $R^2$  for de ulike kurvetyperne er det siste tilfellet i tabell 3.1 plottet i figur 3.3 ("Ekskl. hud, temp og 7 slengere"). Denne figuren viser tydelig at det er polynomial tilpasning som gir best resultat og at korrelasjonen øker for økende  $k$  opp til  $k = 3$  for alle kurvetyper. 2.grads polynom vil generelt gi en bedre tilpasning enn de øvrige funksjoner siden denne funksjonen har 3 variable mot bare 2 for de øvrige.



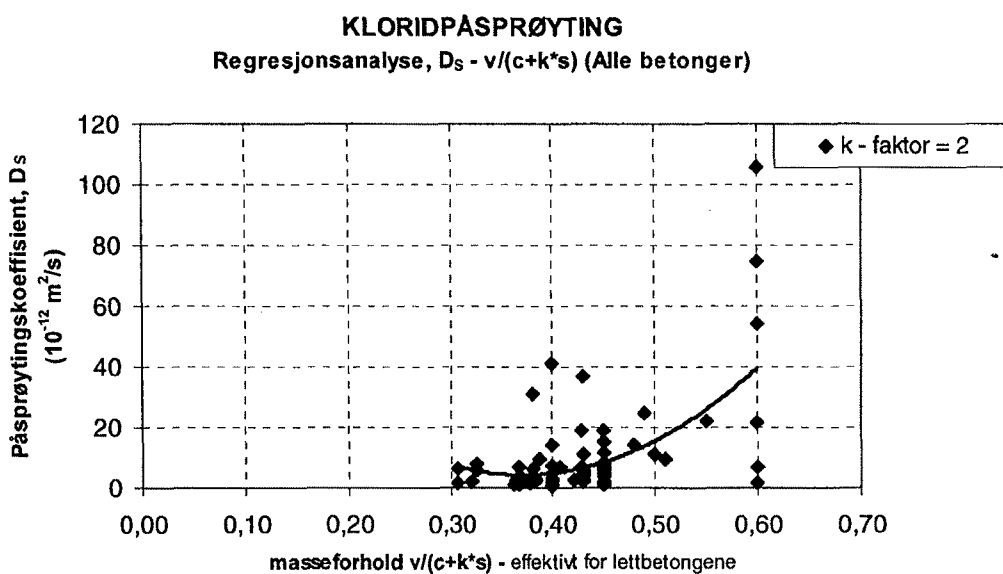
Figur 3.3 Korrelasjonskoeffisienten R<sup>2</sup> som funksjon av k – faktoren for silika for 4 ulike kurvetilpasninger (bestemt ved regresjonsanalyse av resultater fra neddykket kloridinntrenging; D<sub>D</sub> som funksjon av v/(c+k·s))

### 3.3 Kloridpåsprøyting

Totalt 78 betongprøver var testet med metoden kloridpåsprøyting. Med alle disse punktene inkludert, og med k = 1, ble det beste resultatet for korrelasjonskoeffisienten R<sup>2</sup> = 0,36. Dette resultatet ble funnet ved polynomial tilpasning. Ved å variere k fra 1-8, ble høyeste korrelasjonskoeffisient (R<sup>2</sup> = 0,36) oppnådd for k = 1-3 og polynomial tilpasning. De 78 punktene med k = 2 tilpasset polynom – funksjonen

$$D_D = 672,06x^2 - 498,42x + 96,762$$

der x = v/(c+2·s) er vist i figur 3.4 og i vedlegg 15 (side 1 av 2).



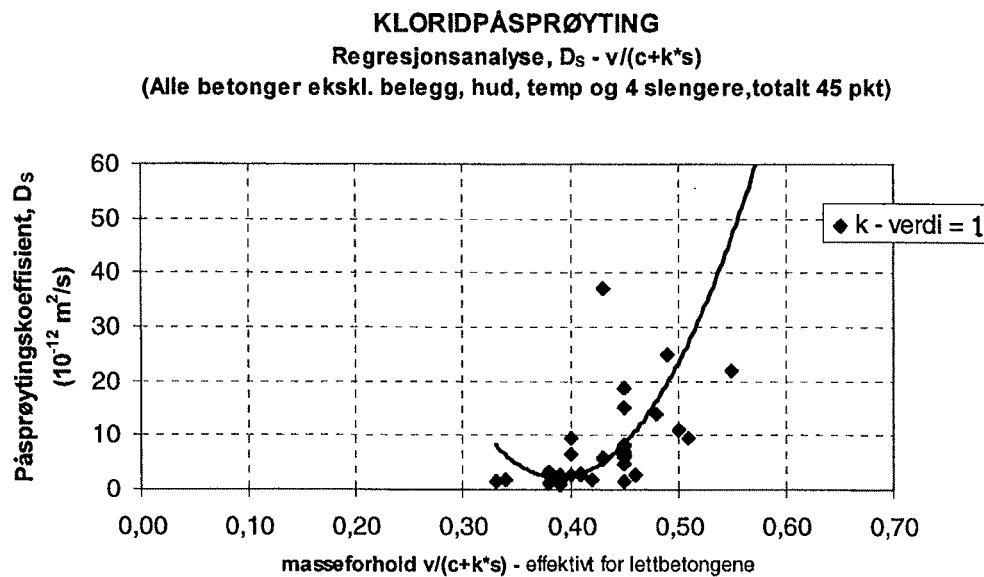
Figur 3.4 "Beste tilpasning" (med alle 78 betonger inkludert) ved regresjonsanalyse av resultater fra kloridpåsprøyting;  $D_s$  som funksjon av  $v/(c+k \cdot s)$

Kloridpåsprøyting er en testmetode som ofte blir brukt ved utprøving av betongbelegg, noe som betyr at mange av disse 78 betongprøvene var påført et slikt. Disse belegg - prøvene ble først ekskludert slik at 54 prøver stod igjen, videre ble "hud- og temperaturprøvene" fjernet for å få et mer riktig bilde av situasjonen. Etter denne eksklusjonen satt vi igjen med 49 prøver. Best korrelasjon ble da oppnådd med  $k = 3-5$  og med eksponensial tilpasning ( $R^2 = 0,52$ ).

Etter en videre bearbeiding av dataene, ble høyeste  $R^2$  oppnådd etter å ha fjernet 4 "slengere". Totalt var da antall prøver nede i 45, og  $R^2$  ble funnet å være 0,77 for  $k = 1$  med polynom tilpasning. Uttrykket for polynomfunksjonen er gitt som:

$$D_s = 1724,9x^2 - 1342,6x + 263,43$$

der  $x = v/(c+1 \cdot s)$ . De 45 punktene og den gitte polynomfunksjonen er vist i figur 3.5 og i vedlegg 15 (side 2 av 2). Kurven er ikke reell for masseforhold lavere enn 0,35 siden den stiger kraftig i dette området, men gir god tilpasning for masseforhold større enn denne minimumsverdien.



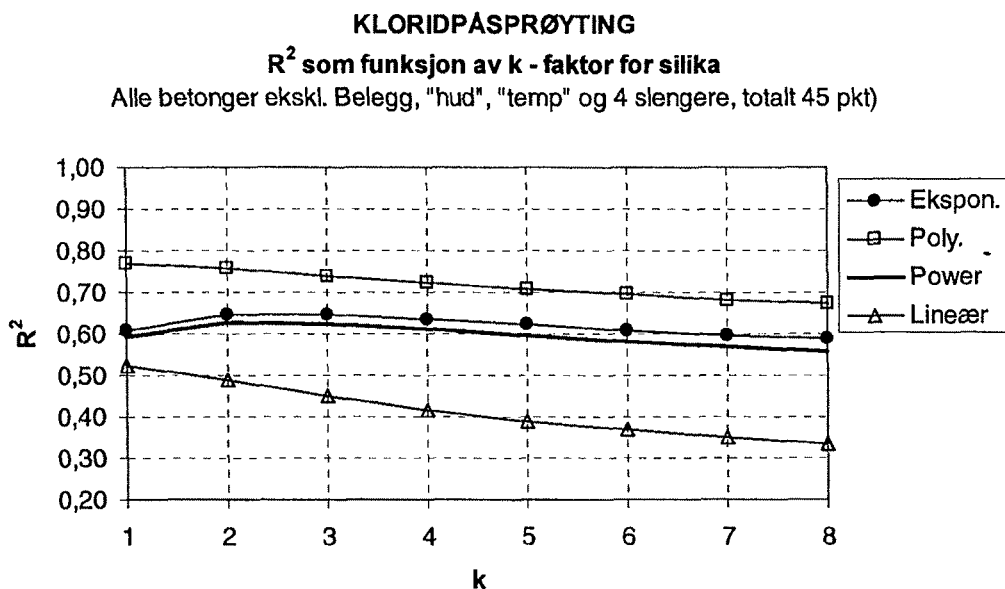
Figur 3.5 "Beste tilpasning" ved regresjonsanalyse av resultater fra kloridpåsprøyting;  $D_s$  som funksjon av  $v/(c+k^*s)$

En oppsummering av resultatene for polynomial tilpasning for  $k = 1-8$  er gjort i tabell 3.2. De resterende resultatene er gitt i Vedlegg 6.

Tabell 3.2: Kloridpåsprøyting, polynomial tilpasning,

"Tilfelle"	Antall punkt	$R^2$ ved polynomial tilpasning for $k$ – verdi lik:							
		1	2	3	4	5	6	7	8
Alle punkt	78	0,36	0,36	0,36	0,35	0,35	0,35	0,34	0,34
Ekskl. belegg	54	0,47	0,46	0,46	0,45	0,44	0,44	0,43	0,43
Ekskl. hud, temp og belegg	49	0,46	0,46	0,45	0,45	0,44	0,43	0,43	0,42
Ekskl. hud, temp og belegg og 4 slengere	45	0,77	0,76	0,74	0,72	0,71	0,70	0,68	0,67

Figur 3.6 viser et plott av korrelasjonskoeffisienten som funksjon av  $k$  for det siste tilfellet i tabellen ("Ekskl. hud, temp og belegg og 4 slengere"). I motsetning til resultatene fra neddykket kloridinntrenging (jfr. figur 3.3), viser  $R^2$  her synkende tendens med økende  $k$  (eksklusive eksponentialsfunksjon og powerfunksjon for lave  $k$  – verdier).



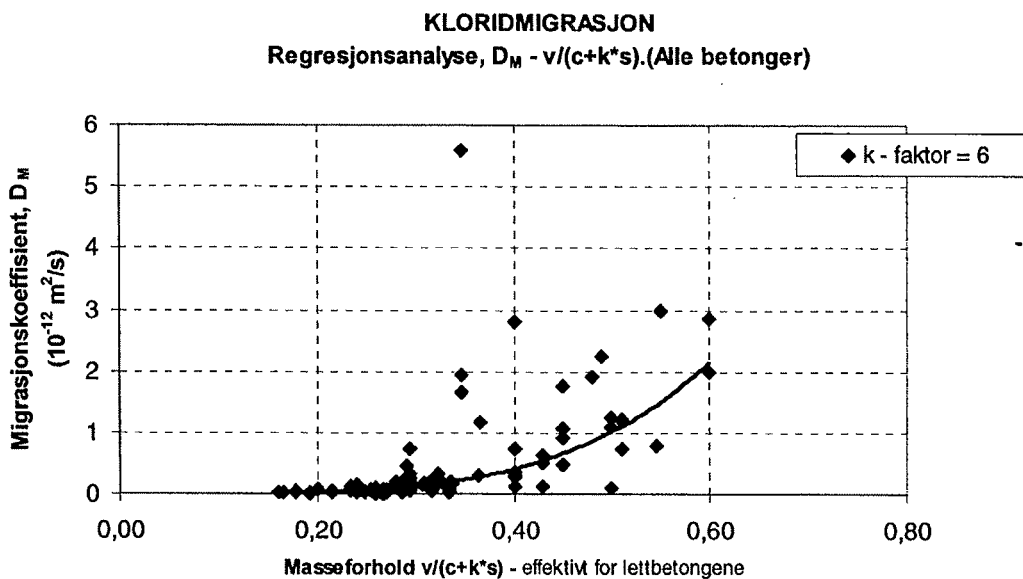
Figur 3.6 Korrelasjonskoeffisienten R<sup>2</sup> som funksjon av k – faktoren for silika for 4 ulike kurvetilpasninger (bestemt ved regresjonsanalyse av resultater fra kloridpåsprøytning; D<sub>s</sub> som funksjon av v/(c+k·s)

### 3.4 Kloridmigrasjon

Av alle de innsamlede prøvene, var 112 testet med metoden kloridmigrasjon. For k = 1 og med alle de 112 prøvene inkludert ble beste tilpasning oppnådd ved tilpasning til en power – funksjon. Beregnet korrelasjonskoeffisient ble da lik 0,49. Ved å variere k fra 1-8, ble høyeste korrelasjonskoeffisient (R<sup>2</sup> = 0,64) oppnådd for k = 6-8 og power tilpasning. De 112 punktene med k = 6 tilpasset power – funksjonen

$$D_M = 17,092x^{4,0637}$$

der x = v/(c+6·s) er vist i figur 3.7 og i vedlegg 16 (side 1 av 2).

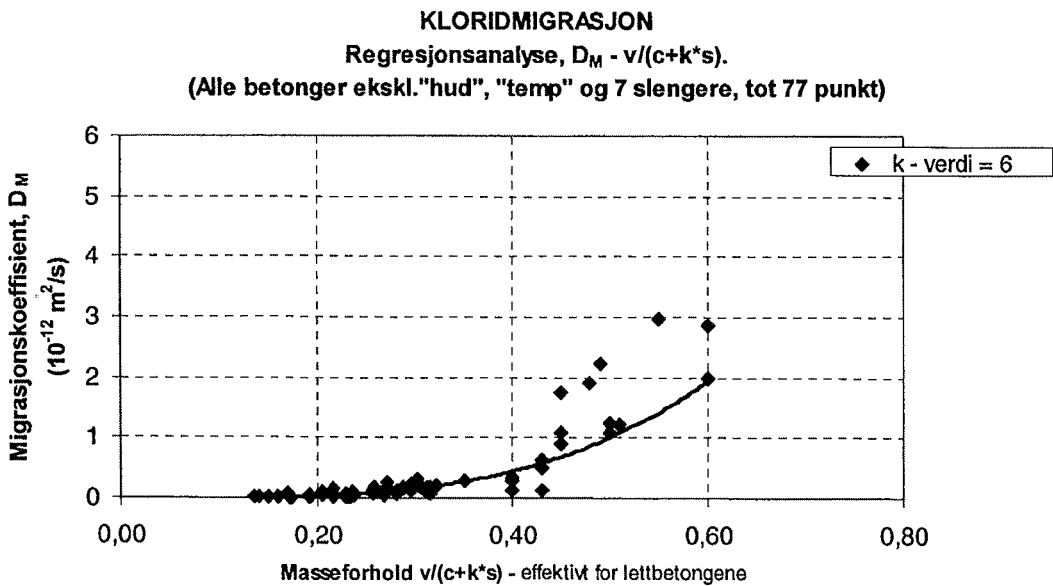


Figur 3.7 "Beste tilpasning" (med alle 112 betonger inkludert) ved regresjonsanalyse av resultater fra kloridmigrasjon;  $D_M$  som funksjon av  $v/(c+k\cdot s)$

Etter å ha fjernet alle hud- og temperaturprøver, samt til sammen 7 "slengere" var antall prøver nede i 77. Best resultat ble oppnådd ved tilpasning til polynomfunksjonen:

$$D_M = 20,413x^2 - 9,5579x + 1,1374$$

der  $x = v/(c+6\cdot s)$ . Denne funksjonen gav en  $R^2$  lik 0,85. Samme resultat ble også oppnådd med  $k=5, 7$  og  $8$ . De 77 punktene og den gitte polynomfunksjonen er vist i figur 3.8 og i vedlegg 16 (side 2 av 2).



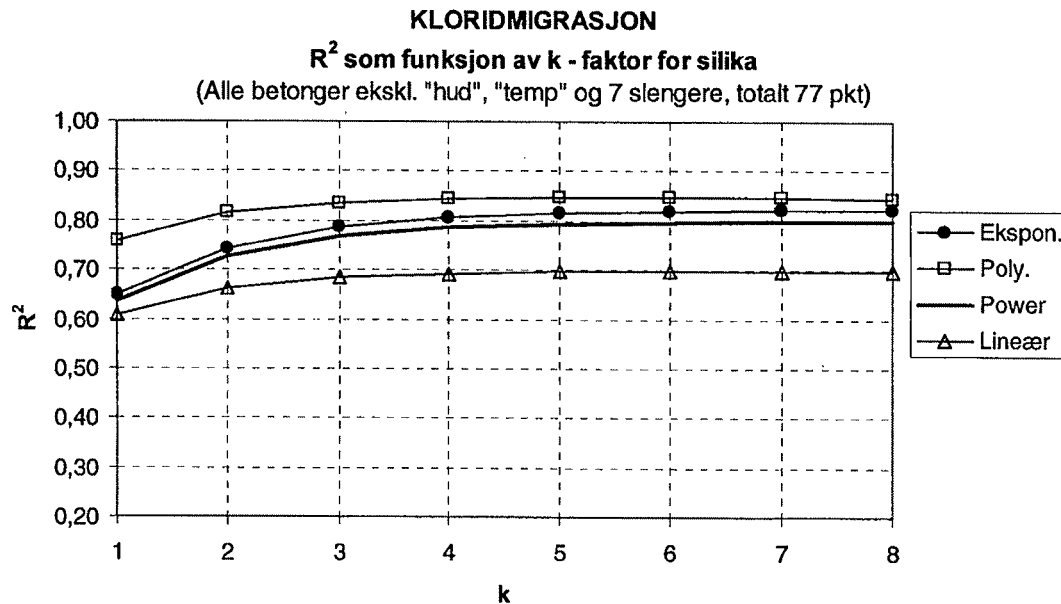
Figur 3.8 "Beste tilpasning" ved regresjonsanalyse av resultater fra kloridmigrasjon;  $D_M$  som funksjon av  $v/(c+k\cdot s)$

En oppsummering for polynomtilpasningen er gjort i tabell 3.3. Som vi ser ble det oppnådd samme  $R^2$  for  $k = 5-8$ . De resterende resultatene er gitt i Vedlegg 7.

**Tabell 3.3: Kloridmigrasjon, polynomial tilpasning**

"Tilfelle"	Antall punkt	$R^2$ ved polynomial tilpasning for k – verdi lik:							
		1	2	3	4	5	6	7	8
Alle punkt	112	0,31	0,34	0,36	0,36	0,36	0,36	0,36	0,36
Ekskl. hud og temp>45°C	84	0,64	0,37	0,38	0,38	0,39	0,38	0,38	0,38
Ekskl. hud, temp og 3 slengere	81	0,71	0,74	0,75	0,74	0,73	0,72	0,71	0,70
Ekskl. hud, temp og 7 slengere	77	0,76	0,81	0,84	0,84	0,85	0,85	0,85	0,85

Figur 3.9 viser korrelasjonskoeffisienten,  $R^2$ , for tilfellet "Ekskl. hud, temp og 7 slengere" som funksjon av  $k$ . Resultatet viser en stigende korrelasjonskoeffisient med økende  $k$ , med en utflating fra og med  $k = 3$ .



Figur 3.9 Korrelasjonskoeffisienten  $R^2$  som funksjon av  $k$  – faktoren for silika for 4 ulike kurvetilpasninger (bestemt ved regresjonsanalyse av resultater fra kloridmigrasjon;  $D_M$  som funksjon av  $v/(c+k \cdot s)$ )

### 3.5 Betonger med $v/(c+s) < 0,5$ ; oppsummering

Da det i 1986 kom ny Norsk Standard (NS 3420), kom det et krav om at all betong som skulle brukes i MA – miljø måtte ha  $v/(c+s) \leq 0,45$ .

For å undersøke sammenhengen mellom kloridtransportkoeffisientene og forholdet  $v/(c+k \cdot s)$  for betongprøvene med masseforhold ned mot MA - kravet, ble det satt en øvre grense ved  $v/(c+s)$  lik 0,50. Alle betongprøvene med masseforhold større enn eller lik dette ble ekskludert, og en ny analyse ble kjørt. Det ble brukt samme framgangsmåte som forklart i kapittel 3.1 for de tre ulike metodene for akselerert kloridinntrenging.

Alle resultatene er gitt i Vedlegg 8, mens en kort oppsummering er gitt i tabell 3.4. Generelt kom disse analysene ut med dårligere resultat enn i analysene der alle v/(c+s) – forhold var inkludert. Grunnen til dette kan være at det nå mangler ”styringspunkt” eller ”retningsgivere” i det øvre området for masseforholdet for kurvene.

**Tabell 3.4:** Oppsummering av regresjonsanalyser av resultater fra prøving av kloridinntrenging. Korrelasjonskoeffisient  $R^2$  og k - verdi for beste tilpasning

Prøvingsmetode	Alle masseforhold <sup>1)</sup>				Kun masseforhold <= 0.50			
	Antall punkt	$R^2$	Kurve-type	k - verdi	Antall punkt	$R^2$	Kurve-type	k - verdi
Neddykket kloridinntrenging	95	0,80	Polynom	3	89	0,48	Polynom	2
Kloridpåsprøyting	45	0,77	Polynom	1	40	0,48	Eksponensial Power	3-4 3-5
Kloridmigrasjon	77	0,85	Polynom	5-8	70	0,80	Polynom	3-4

1) Gjelder beste tilpasning oppnådd etter at ”slengere” etc. er fjernet

### 3.6 Bruk av middelverdier

For de fleste betongene er det 3 parallele prøvestykker som er prøvd. I hovedsak er det enkeltverdiene for disse som er plottet, mens for noen betonger er middelverdien plottet i figurene. For å undersøke en eventuell effekt på korrelasjonskoeffisienten av å slå sammen disse enkeltverdiene til middelverdier, ble dette gjort for metodene kloridpåsprøyting og neddykket kloridinntrenging. Det ble tatt utgangspunkt i det antall punkt som gav best resultat fra de utførte analysene, eksponensiell tilpasning og k =3. Årsaken til at eksponensiell tilpasning ble valgt til tross for at polynomial tilpasning gav best resultat, var at forskjellene mellom de to kurvetyppene var minimale, samt at en eventuell videre bearbeiding av dataene statistisk sett ville bli enklere med eksponensiell tilpasning.

Felles for begge laboratoriemetodene var at bruk av middelverdier gav dårligere korrelasjon enn bruk av enkeltverdier. Stort sett var imidlertid forskjellen minimal. Det er tydelig at det en eventuelt vinner på at punktene blir noe mer samlet, mistes igjen ved at antall punkter reduseres.

### 3.7 Ekskludering av lettbetonger

Flere av de betongprøvene som er prøvd er prøver av lettbetong. For å undersøke om disse hadde stor innvirkning på korrelasjonskoeffisientene (bestemt ved regresjonsanalyser av plottene for kloridtransportkoeffisientene som funksjon av betongenes masseforhold), ble alle lettbetongene ekskludert fra de opprinnelige beste tilfellene for hver enkelt av metodene. Korrelasjonskoeffisientene ble igjen bestemt ved bruk av Trendline funksjonen i Excel, og kurvetyppene som datapunktene ble tilpasset var polynom -, lineær-, power- og eksponensiell - funksjoner.

Analysene viste at å ekskludere lettbetonger ikke gav noen stor innvirkning på resultatene, og en kort oppsummering er gitt i tabell 3.5. Komplette resultater er gitt i Vedlegg 9.

**Tabell 3.5:** Oppsummering av regresjonsanalyser av resultater fra prøving av kloridinntrenging. Korrelasjonskoeffisient  $R^2$  og k - verdi for beste tilpasning

Prøvingsmetode	Alle betonger <sup>1)</sup>				Ekskl. lettbetonger			
	Antall punkt	$R^2$	Kurve-type	k - verdi	Antall punkt	$R^2$	Kurve-type	k - verdi
Neddykket kloridinntrenging	95	0,80	Polynom	3	62	0,81	Polynom	3
Kloridpåsprøyting	45	0,77	Polynom	1	41	0,77	Polynom	1
Kloridmigrasjon	77	0,85	Polynom	5-8	56	0,83	Polynom	4-8

1) Gjelder beste tilpasning oppnådd etter at ”slengere” er fjernet

## 4 Forhold mellom kloridtransportkoeffisienter

### 4.1 Generelt - metodebeskrivelse

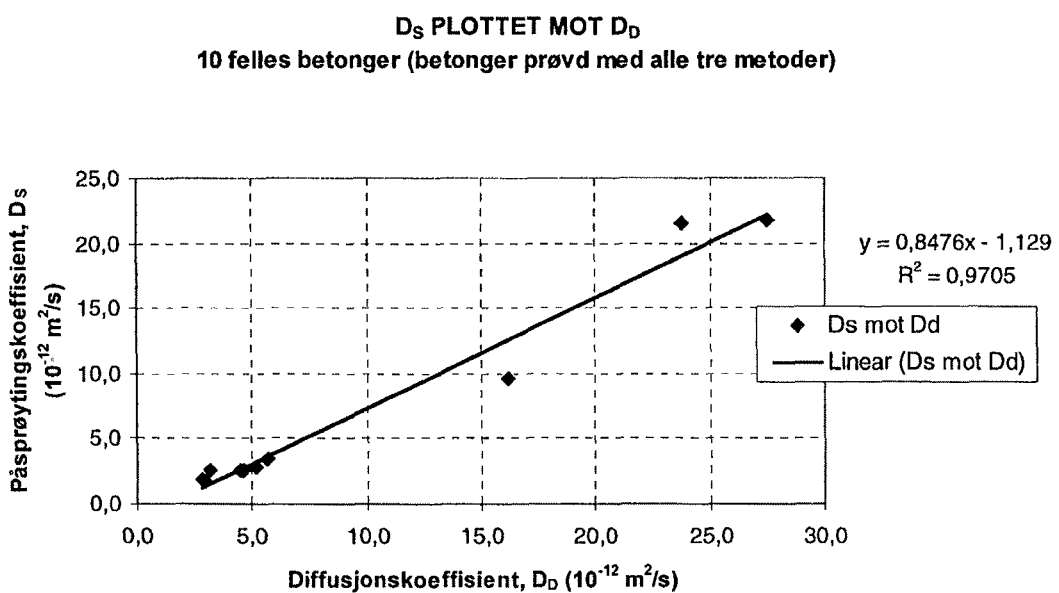
Av de vel 300 enkeltbetongene som totalt er inkludert i sammenstillingene / plottene, var 10 betonger prøvd med alle de tre laboratoriemetodene. Videre var 19 betonger prøvd med både kloridmigrasjon og neddykket kloridinntrenging (dvs. 9 stk utover de 10 som var prøvd med alle tre metodene), 21 betonger ved både neddykket kloridinntrenging og kloridpåsprøyting, mens 17 betonger var prøvd med både kloridpåsprøyting og kloridmigrasjon.

Det er brukt to metoder, videre kalt metode 1 og metode 2, for å finne forholdet mellom kloridtransportkoeffisientene fra de tre laboratorimetodene. Metode 1 gikk ut på å plotte kloridtransportkoeffisientene fra de ulike metodene direkte mot hverandre, mens metode 2 innebar eliminering av variabelen  $v/(c+k \cdot s)$ . Begge metodene er forklart nedenfor. Det ble ikke forsøkt å fjerne "slengere", da antall datapunkter ville blitt for få (dvs. for stor usikkerhet). Figurene vil imidlertid vise at forholdene helt klart ville blitt noe bedre ved fjerning av enkelte punkter.

#### Metode 1:

Først ble kloridtransportkoeffisientene for de 10 felles betongene som var testet ved alle tre metoder plottet direkte mot hverandre to og to. Ut fra disse plottene ble det gjennom regresjonsanalyse bestemt et lineært uttrykk, et polynom-uttrykk og et eksponentielt uttrykk mellom kloridtransportkoeffisientene. Eksemplene som er vist er fra beregningen av forholdet mellom  $D_s$  og  $D_D$ . Tilsvarende er gjort for forholdene  $D_s-D_M$  og  $D_D-D_M$ .

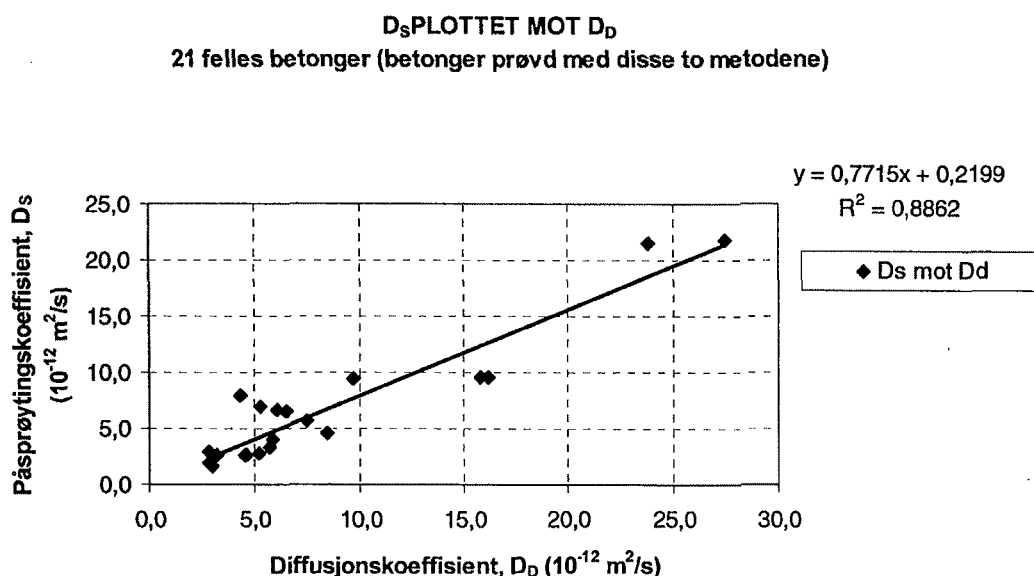
I figur 4.1 er  $D_s$  plottet mot  $D_D$  med lineær tilpasning. Resultatet av regresjonen gir et direkte uttrykk for  $D_s$  som funksjon av  $D_D$ . ("x" og "y" i uttrykket representerer her henholdsvis  $D_D$  og  $D_s$ ). I tabellene 4.1 - 4.3 og i vedlegg 10 er denne metoden kalt **"direkte plott, 10 pkt"**. I tillegg til lineær tilpasning ble også eksponentiell og power-tilpasning brukt, men dette er ikke vist i figur.



Figur 4.1 Eksempel på direkte plott av de 10 betongene prøvd ved alle tre metodene, lineær tilpasning

Videre ble tilsvarende gjort suksessivt for betonger testet ved to metoder: neddykking – påsprøyting: 21 prøver, neddykking – migrasjon: 19 prøver og påsprøyting – migrasjon: 17 prøver.

I figur 4.2 er  $D_s$  plottet mot  $D_D$  med lineær tilpasning. Resultatet av regresjonen gir et direkte uttrykk for  $D_s$  som funksjon av  $D_D$ . ("x" og "y" i uttrykket representerer her henholdsvis  $D_D$  og  $D_s$ ). I tabell 4.2 er denne metoden kalt **"direkte plott, 21 pkt"**. I tillegg til lineær tilpasning ble også eksponensial og power-tilpasning brukt, men dette er ikke vist i figur.



Figur 4.2 Eksempel på direkte plott av de 21 betongene prøvd både ved neddykket kloridinnkrenging og ved kloridpåsprøyting, lineær tilpasning

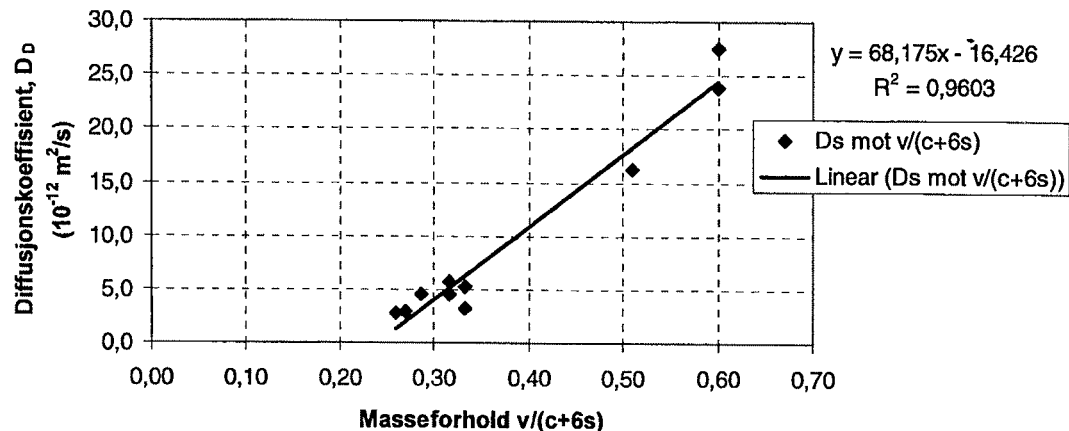
Totalt ga metode 1 to uavhengige uttrykk med lineær tilpasning, to med eksponensial tilpasning og to med power-tilpasning.

#### Metode 2:

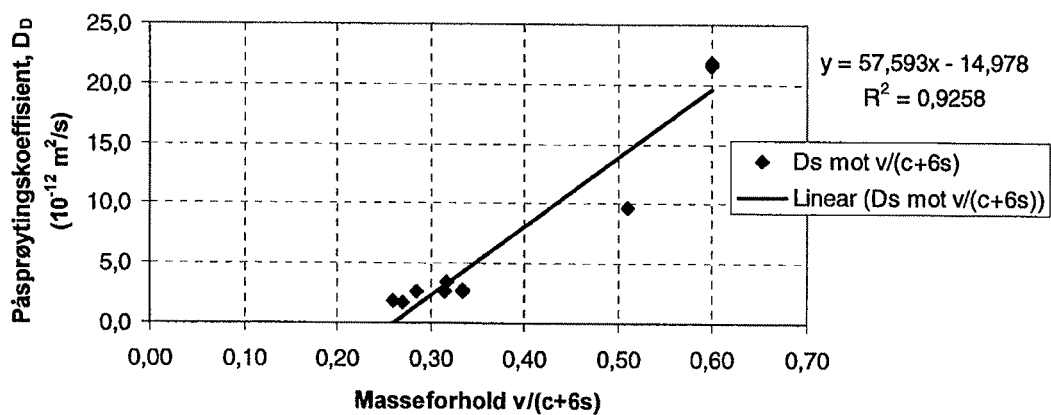
Først ble kloridtransportkoeffisientene for de 10 fellesbetongene plottet mot forholdet  $v/(c+6 \cdot s)$ . ( $k$  - faktoren ble valgt til 6 på grunnlag av at resultatene for korrelasjonskoeffisienten i de aller fleste tilfellene var relativt like for  $k$  – verdiene 3-8, og 6 er her en "middelverdi"). Videre ble det samme gjort suksessivt for betongene testet ved to metoder, tilsvarende som for metode 1. Ved hjelp av Trendline funksjonene ble det også her bestemt uttrykk for tilpasning av datapunktene mot de samme tre kurvetyppene som i metode 1, denne gang med  $v/(c+6 \cdot s)$  som variabel. Det samme ble gjort for  $D_s$ .

Et eksempel på slike plott er gitt i figur 4.3a) og 4.3b), hvor kloridtransportkoeffisientene for neddykket kloridinnkrenging og for påsprøyting for de 10 fellesprøvene er plottet mot  $v/(c+6 \cdot s)$  i hver sin figur. Dette gir ett uttrykk for  $D_D$  som funksjon av  $v/(c+6 \cdot s)$  og ett uttrykk for  $D_s$  som funksjon av  $v/(c+6 \cdot s)$ . Ved å eliminere  $v/(c+6 \cdot s)$  og kombinere disse to uttrykkene (uttrykket for  $D_D$  og uttrykket for  $D_s$ ) får vi ett endelig uttrykk for  $D_s$  som funksjon av  $D_D$ . Denne metoden er kalt **"eliminering, 10 pkt"** i tabell 4.1 - 4.3.

**D<sub>D</sub> PLOTTET MOT MASSEFORHOLDET v/(c+6s)**  
**10 felles betonger (betonger prøvd med alle tre metodene)**



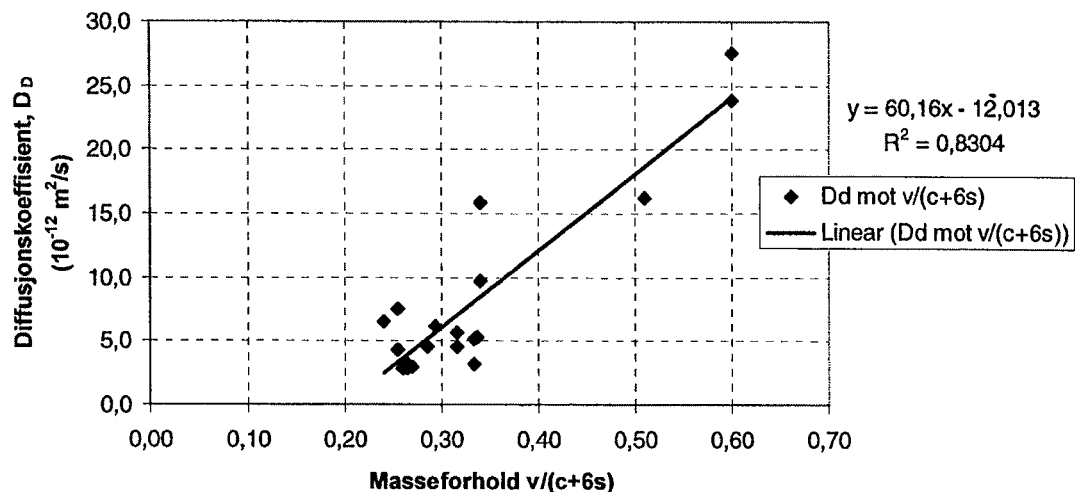
**D<sub>S</sub> PLOTTET MOT MASSEFORHOLDET v/(c+6s)**  
**10 felles betonger (betonger prøvd med alle tre metodene)**



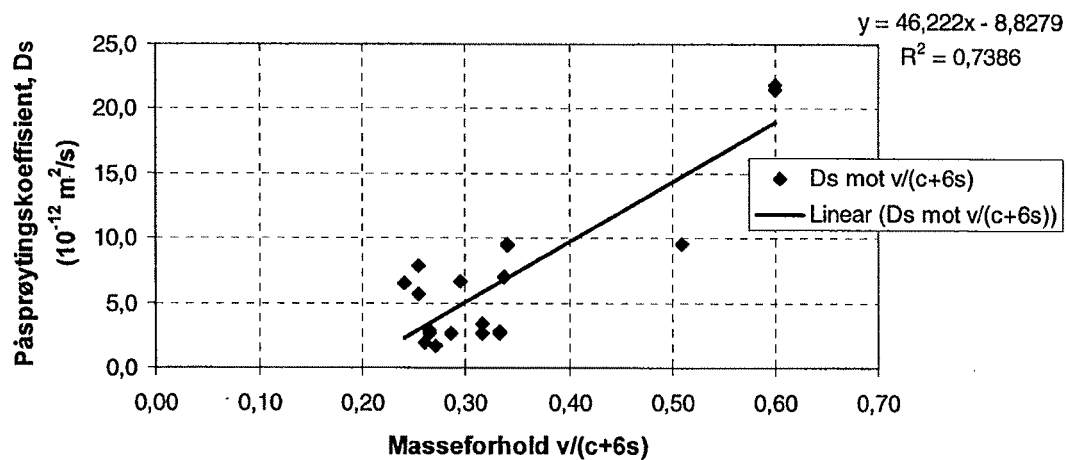
Figur 4.3a) og b) Eksempel på plott av D<sub>D</sub> og D<sub>S</sub> mot v/(c+6·s) for de 10 betongene prøvd ved alle metodene, lineær tilpasning

Det samme ble gjort for betongene prøvd ved to av metodene. Et eksempel på dette er gitt i figur 4.4a) og b), hvor D<sub>D</sub> og D<sub>S</sub> er plottet mot v/(c+6·s) og tilpasset en lineær funksjon i hver sin figur. (Dette er de 21 prøvene kloridpåsprøyting og neddykket kloridinnitrenging hadde felles). Også her gir dette uttrykk for henholdsvis D<sub>D</sub> og D<sub>S</sub> som funksjon av v/(c+6·s). Ved å eliminere v/(c+6·s) og kombinere de to uttrykkene får vi et endelig uttrykk for D<sub>S</sub> som funksjon av D<sub>D</sub>. Denne metoden er kalt ”eliminering, 21 pkt” i tabell 4.2.

**D<sub>D</sub> PLOTTET MOT MASSEFORHOLDET v/(c+6s)**  
**21 felles betonger (betonger prøvd med disse to metodene)**



**D<sub>S</sub> PLOTTET MOT MASSEFORHOLDET v/(c+6s)**  
**21 felles betonger (betonger prøvd med disse to metodene)**



Figur 4.4a) og b) Eksempel på plott av  $D_D$  og  $D_S$  mot  $v/(c+6\cdot s)$  for de 21 betongene prøvd både ved neddykket kloridinnitrenging og påsprøyting, lineær tilpasning

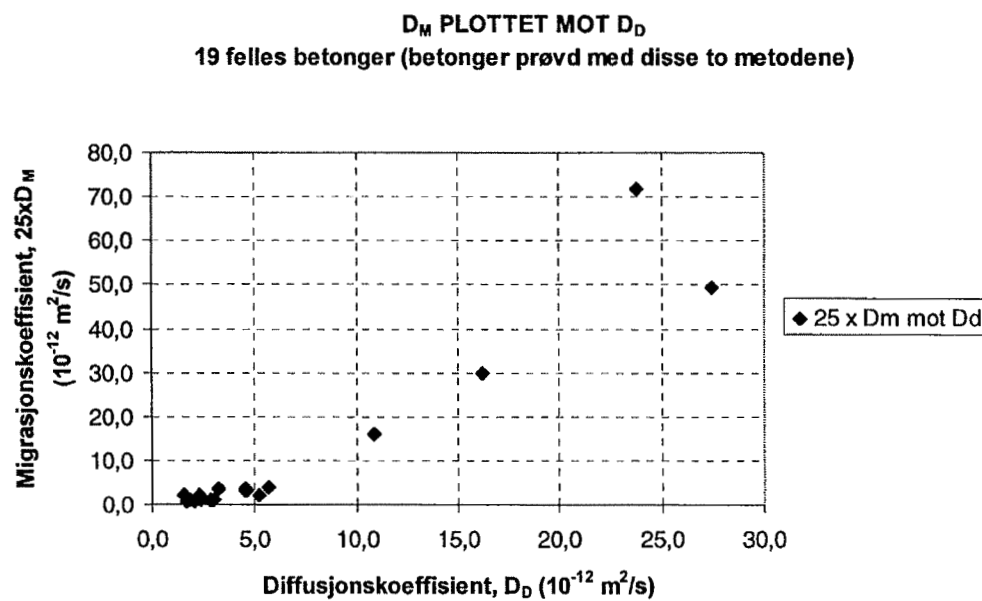
Totalt gav metode 2 to uavhengige uttrykk med lineær tilpasning, to med eksponensial tilpasning og to med power-tilpasning.

Til sammen gav metode 1 og metode 2 fire uavhengige lineære sammenhenger, fire uavhengige power sammenhenger og fire uavhengige eksponensial sammenghenger for hver kobling av to og to laboratoriemetoder for akselerert kloridinnitrenging (to fra metode 1 og to fra metode 2). For å tallfeste forholdstallene mellom de ulike metodene ble det satt inn verdier for den variable i

sammenhengen og resultatet av dette er vist i tabell 4.1, 4.2 og 4.3. En mer detaljert resultatsammenstilling er gitt i Vedlegg 10. Det er i det etterfølgende valgt å ikke vise de enkelte kurvene tilpasset punktene siden det er brukt flere typer kurver for hvert tilfelle.

#### 4.2 Sammenheng mellom migrasjonskoeffisient, $D_M$ og diffusjonskoeffisient, $D_D$

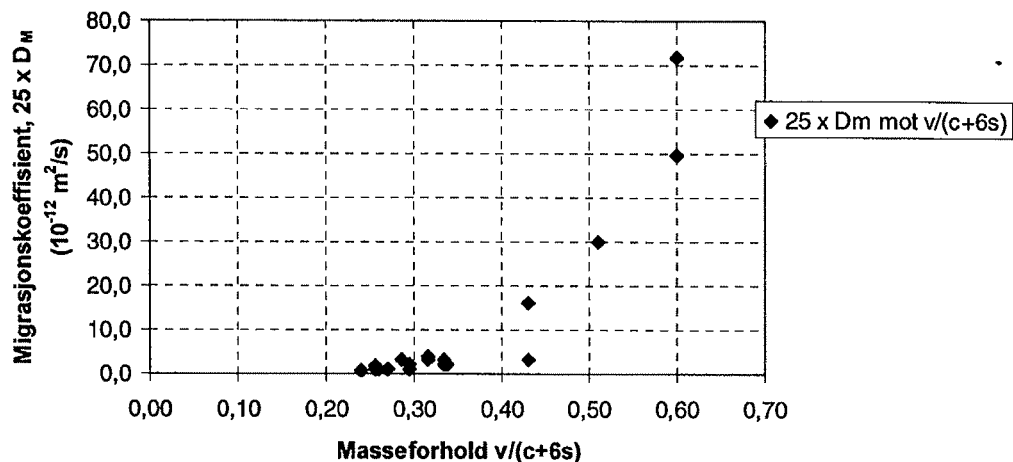
Figur 4.5 viser det direkte plottet av  $25 \cdot D_M$  mot  $D_D$  for de 19 betongene prøvd både ved kloridmigrasjon og neddykket kloridinntrenging. ( $D_M$  er multiplisert med 25 for enklere å kunne plotte verdiene for de to metodene mot hverandre).



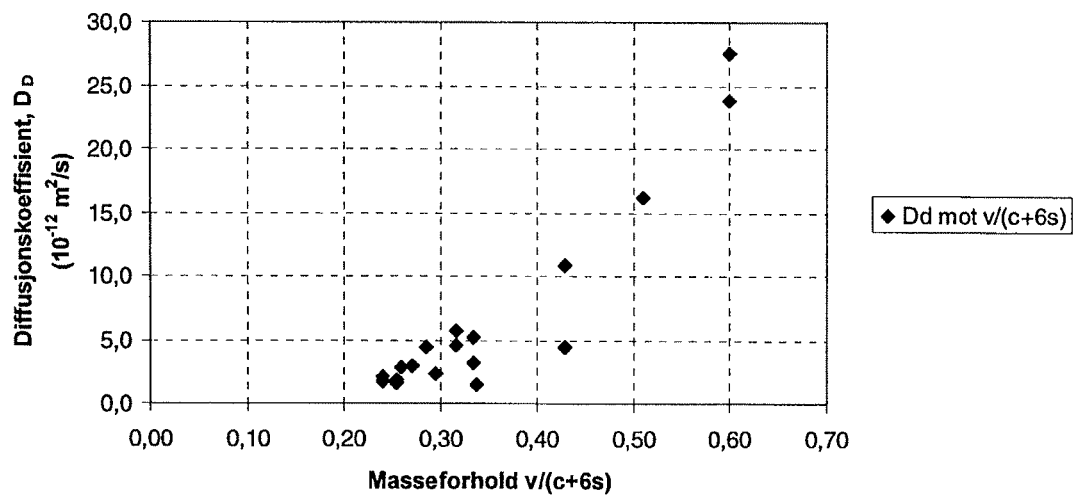
Figur 4.5      Direkte plott av  $25 \cdot D_M$  mot  $D_D$  for de 19 betongene som var testet både ved kloridmigrasjon og neddykket kloridinntrenging

Figur 4.6a) og b) viser de samme kloridtransportkoeffisientene plottet mot  $v/(c+6 \cdot s)$ .

**25 x D<sub>M</sub> PLOTTET MOT MASSEFORHOLDET v/(c+6s)**  
**19 felles betonger (betonger prøvd med begge disse metodene)**



**D<sub>D</sub> PLOTTET MOT MASSEFORHOLDET v/(c+6s)**  
**19 felles betonger (betonger prøvd med begge disse metodene)**



Figur 4.6a) og b) Plott av henholdsvis  $25 \cdot D_M$  og  $D_D$  mot  $v/(c+6s)$  for de 19 betongene som var testet både ved kloridmigrasjon og neddykket kloridinntrenging

Tabell 4.1 viser en oppsummering av resultatene for forholdet  $D_D/D_M$  for de tre ulike kurvetypene for  $D_D = 2,5 \cdot 10^{-12} \text{ m}^2/\text{s}$ ,  $D_D = 5,0 \cdot 10^{-12} \text{ m}^2/\text{s}$  og  $D_D = 7,5 \cdot 10^{-12} \text{ m}^2/\text{s}$ . Alle disse resultatene samt resultater med  $D_D = 10,0 \cdot 10^{-12} \text{ m}^2/\text{s}$ ,  $D_D = 12,5 \cdot 10^{-12} \text{ m}^2/\text{s}$ ,  $D_D = 15,0 \cdot 10^{-12} \text{ m}^2/\text{s}$ ,  $D_D = 17,5 \cdot 10^{-12} \text{ m}^2/\text{s}$  og  $D_D = 20,0 \cdot 10^{-12} \text{ m}^2/\text{s}$  er vist i Vedlegg 10.

Tabell 4.1: Forhold  $D_D/D_M$ 

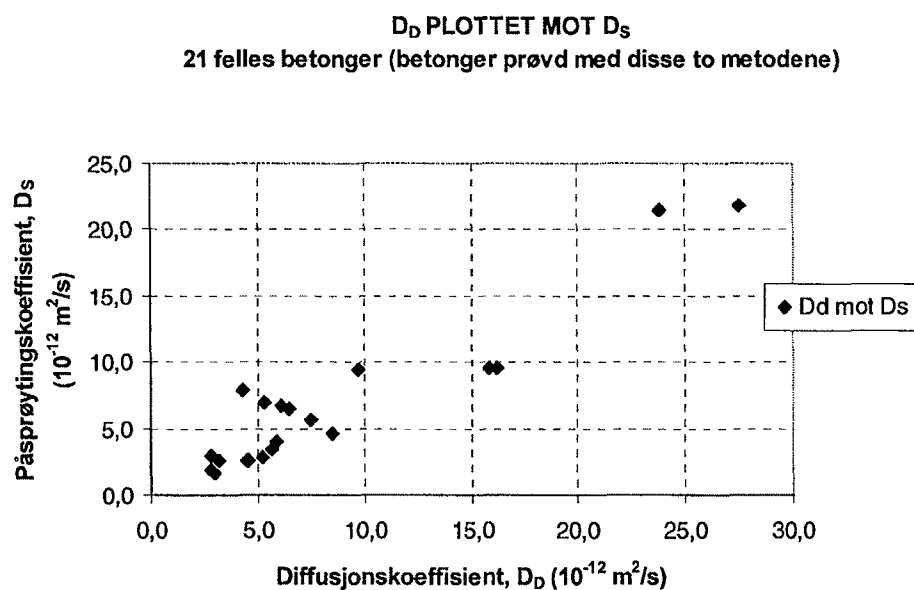
Kurvetype: $D_D = ?$	Lineær			Power			Eksponensial		
	2,5	5,0	7,5	2,5	5,0	7,5	2,5	5,0	7,5
Metode	$D_D/D_M$	$D_D/D_M$	$D_D/D_M$						
Direkte plott. 10 pkt	-42,6	25,3	16,5	60,4	36,3	26,9	33,9	45,7	46,3
Eliminering. 10 pkt	-33,6	26,6	16,6	64,5	37,0	26,7	63,8	36,9	26,8
Direkte plott. 19 pkt	109,6	19,0	14,9	40,1	29,2	24,2	37,4	49,0	48,1
Eliminering. 19 pkt	140,1	19,1	14,8	43,9	28,2	21,8	43,9	28,4	22,0
Gjennomsnitt	43,4	22,5	15,7	52,2	32,7	24,9	44,7	40,0	35,8

\*) Alle verdiene for  $D_D$  skal multipliseres med  $10^{-12} \text{ m}^2/\text{s}$

Tabellen viser at sammenhengen blir bedre med dårligere betongkvalitet (høyere verdi av  $D_D$ ), og at forholdet  $D_D / D_M$  er avtagende for alle tre kurvetilpasningene. Generelt gir resultatene for store variasjoner til at det kan angis et omtrentlig forholdstall mellom disse to kloridtransportkoeffisientene.

#### 4.3 Sammenheng mellom påsprøytingskoeffisient, $D_S$ og diffusjonskoeffisient, $D_D$

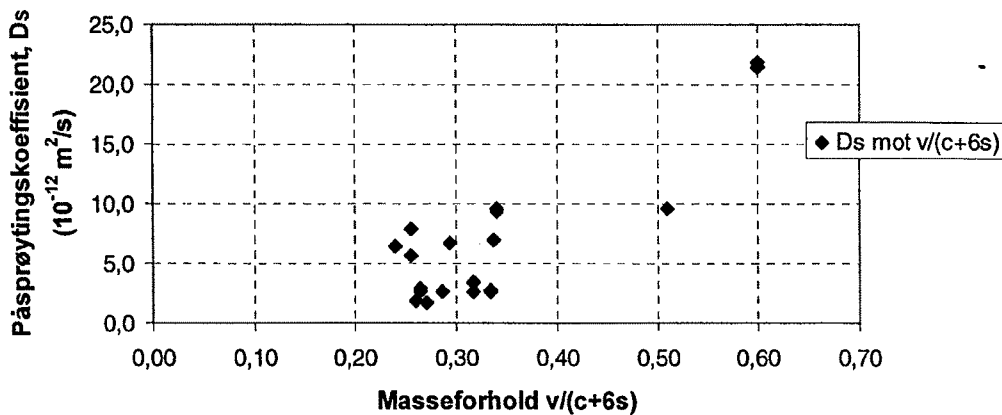
Figur 4.7 viser det direkte plottet av  $D_S$  mot  $D_D$  for de 21 betongene prøvd både ved kloridpåsprøytning og neddykket kloridinnitrenging.



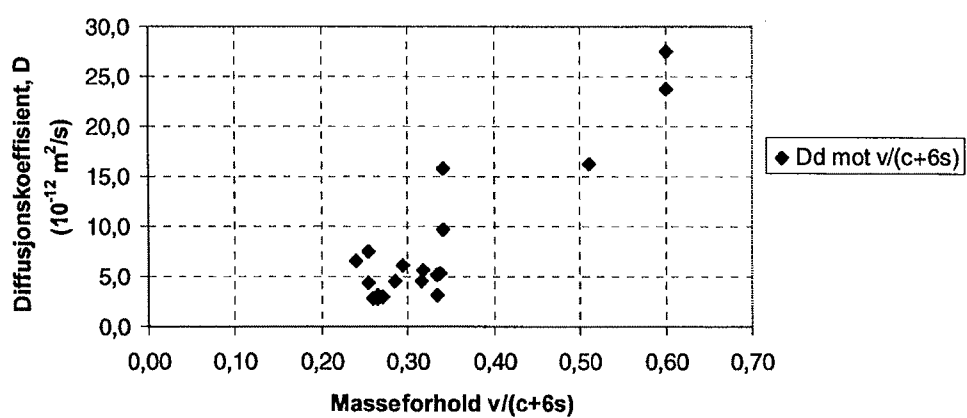
Figur 4.7 Direkte plott av  $D_S$  mot  $D_D$  for de 21 betongene som var testet både ved kloridpåsprøytning og neddykket kloridinnitrenging

Figur 4.8 viser de samme kloridtransportkoeffisientene plottet mot  $v/(c+6 \cdot s)$ .

**D PLOTTET MOT MASSEFORHOLDET v/(c+6s)**  
**21 felles betonger (betonger prøvd med disse to metodene)**



**$D_D$  PLOTTET MOT MASSEFORHOLDET v/(c+6s)**  
**21 felles betonger (betonger prøvd med disse to metodene)**



Figur 4.8 Plott av henholdsvis  $D_s$  og  $D_D$  mot  $v/(c+6\cdot s)$  for de 21 betongene som var testet både ved kloridpåsprøyting og neddykket kloridinntrenging

Tabell 4.2 viser en oppsummering av forholdet mellom de to kloridtransportkoeffisientene ved bruk av de tre aktuelle kurvetyppene og for  $D_D = 2,5 \cdot 10^{-12} \text{ m}^2/\text{s}$ ,  $D_D = 5,0 \cdot 10^{-12} \text{ m}^2/\text{s}$  og  $D_D = 7,5 \cdot 10^{-12} \text{ m}^2/\text{s}$ . Alle disse resultatene samt resultater med  $D_D = 10,0 \cdot 10^{-12} \text{ m}^2/\text{s}$ ,  $D_D = 12,5 \cdot 10^{-12} \text{ m}^2/\text{s}$ ,  $D_D = 15,0 \cdot 10^{-12} \text{ m}^2/\text{s}$ ,  $D_D = 17,5 \cdot 10^{-12} \text{ m}^2/\text{s}$  og  $D_D = 20,0 \cdot 10^{-12} \text{ m}^2/\text{s}$  er vist i Vedlegg 10.

Tabell 4.2: Forhold  $D_D/D_S$ 

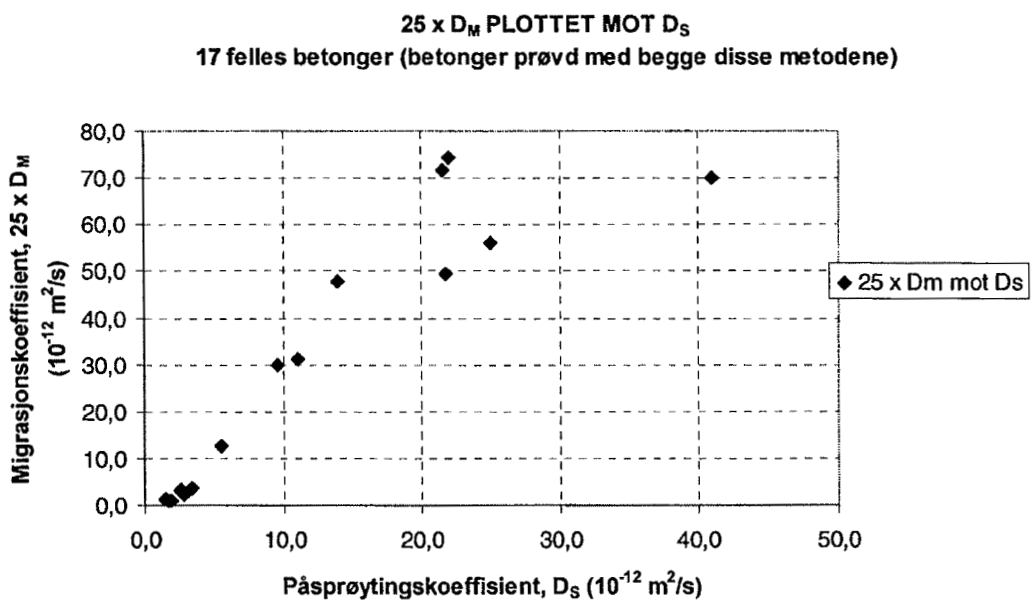
Kurvetype: $D_D = ^*)$	Lineær			Power			Eksponensial		
	2,5	5,0	7,5	2,5	5,0	7,5	2,5	5,0	7,5
Metode	$D_D/D_S$	$D_D/D_S$	$D_D/D_S$						
Direkte plott. 10 pkt	2,5	1,6	1,4	1,7	1,6	1,5	1,2	1,8	2,1
Eliminering. 10 pkt	2,5	1,6	1,4	1,7	1,6	1,5	1,8	1,6	1,5
Direkte plott. 21 pkt	1,2	1,2	1,2	1,2	1,3	1,3	0,8	1,3	1,6
Eliminering. 21 pkt	1,1	1,2	1,2	1,2	1,2	1,3	1,8	1,9	2,0
Gjennomsnitt	1,8	1,4	1,3	1,5	1,4	1,4	1,4	1,7	1,8

\*) Alle verdiene for  $D_D$  skal multipliseres med  $10^{-12} \text{ m}^2/\text{s}$

Forholdet mellom kloridtransportkoeffisientene  $D_D$  og  $D_S$  er relativt entydig, og ser en på alle tre kurvetilpasningene under ett ligger forholdet mellom  $D_D$  og  $D_S$  i området 1,4 – 1,8.

#### 4.4 Sammenheng mellom påsprøytingskoeffisient, $D_s$ og migrasjonskoeffisient, $D_M$

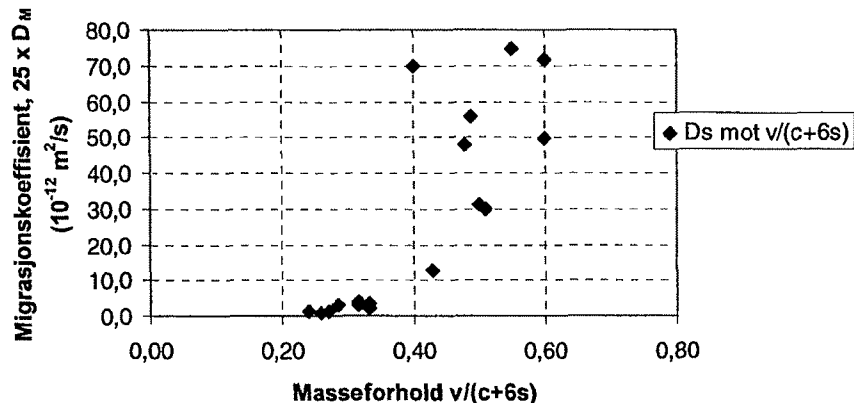
Figur 4.9 viser det direkte plottet av  $25 \cdot D_M$  mot  $D_s$  for de 17 betongene prøvd både ved kloridpåsprøyting og kloridmigrasjon. ( $D_M$  er multiplisert med 25 for enklere å kunne plotte verdiene for de to metodene mot hverandre).



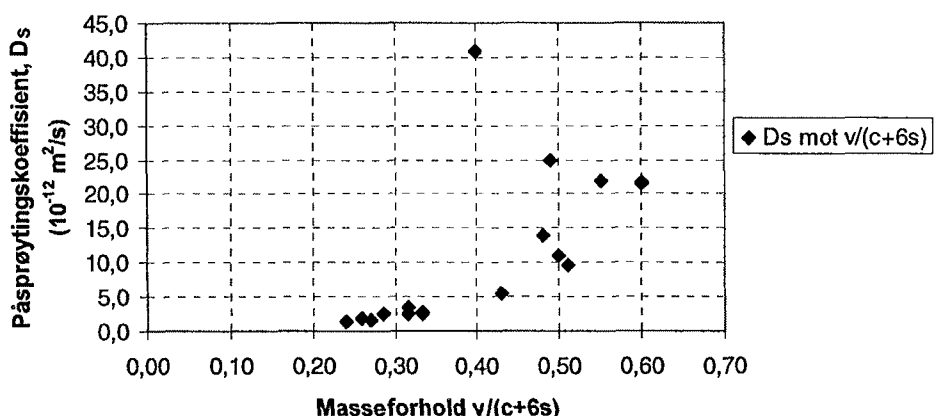
Figur 4.9 Direkte plott av  $25 \cdot D_M$  mot  $D_D$  for de 17 betongene som var testet både ved kloridmigrasjon og kloridpåsprøyting

Figur 4.10a) og b) viser de samme kloridtransportkoeffisientene plottet mot  $v/(c+6 \cdot s)$ .

**25 · D<sub>M</sub> PLOTTET MOT MASSEFORHOLDET v/(c+6s)**  
**17 felles betonger (betonger prøvd med begge disse metodene)**



**D PLOTTET MOT MASSEFORHOLDET v/(c+6s)**  
**17 felles betonger (betonger prøvd med begge disse metodene)**



Figur 4.10a) og b) Plott av henholdsvis  $25 \cdot D_M$  og  $D_s$  mot  $v/(c+6s)$  for de 17 betongene som var testet både ved kloridpåsprøyting og kloridmigrasjon

En oppsummering av forholdet mellom de to metodenes kloridkloridtransportkoeffisienter for ulike  $D_M$  er vist i tabell 4.3. Alle disse resultatene samt resultater med  $D_M = 0,4 \cdot 10^{-12} \text{ m}^2/\text{s}$ ,  $D_M = 0,5 \cdot 10^{-12} \text{ m}^2/\text{s}$ ,  $D_D = 0,6 \cdot 10^{-12} \text{ m}^2/\text{s}$ ,  $D_M = 0,7 \cdot 10^{-12} \text{ m}^2/\text{s}$  og  $D_M = 0,8 \cdot 10^{-12} \text{ m}^2/\text{s}$  er vist i Vedlegg 10.

**Tabell 4.3: Forhold  $D_S/D_M$** 

Kurvetype: $D_M = ^*$	Lineær			Power			Eksponensial		
	0,1	0,2	0,3	0,1	0,2	0,3	0,1	0,2	0,3
Metode	$D_S/D_M$	$D_S/D_M$	$D_S/D_M$						
Direkte plott, 10 pkt	25,8	16,8	13,8	26,3	20,1	17,2	25,6	14,0	10,3
Eliminering, 10 pkt	24,1	16,1	13,4	26,0	20,1	17,3	25,9	20,1	17,3
Direkte plott, 21 pkt	21,2	15,2	13,2	24,9	19,8	17,2	25,7	14,1	10,3
Eliminering, 21 pkt	34,4	21,1	16,7	25,7	20,1	17,4	25,6	19,9	17,2
Gjennomsnitt	26,4	17,3	14,3	25,7	20,0	17,3	25,7	17,0	13,8

\* Alle verdiene for  $D_M$  skal multipliseres med  $10^{-12} \text{ m}^2/\text{s}$

Tilsvarende som for forholdet  $D_D / D_M$  gir også forholdet  $D_S / D_M$  avtagende verdier for økende  $D_M$  (dvs dårligere betongkvalitet) for alle kurvetilpasninger, men forholdene varierer for mye til å fastsette et fast forholdstall disse to kloridtransportkoeffisientene.

## 5 Effekt av beta – faktor på sammenheng mellom masseforhold og transportkoeffisient fra neddykket kloridinntrenging

### 5.1 Generelt

I forbindelse med kloridberegninger i betong er  $\beta$  - faktoren innført for å ta hensyn til effekten av herdetiden til betongen før første eksponering mot klorider [2]. I beregningene kan målte-transportkoeffisienter regnes om til referanse-transportkoeffisienter etter følgende formel:

$$D_{referansealder} = D_{målt} \cdot \left( \frac{eksponeringsalder}{referansealder} \right)^\beta$$

Der:

- $D_{referansealder}$  = diffusjonskoeffisient ved ”ønsket” tidspunkt (vanligvis 28 døgn)
- $D_{målt}$  = målt diffusjonskoeffisient
- $eksponeringsalder$  = alder på betongen da  $D_{målt}$  ble bestemt
- $referansealder$  = alder på betongen når  $D_{referansealder}$  er gyldig (vanligvis 28 døgn)

For å undersøke hvilken effekt beta – faktoren har på sammenhengen mellom masseforhold og transportkoeffisient er det kjørt analyser for tre ulike beta – faktorer;  $\beta = 0,10$ ,  $\beta = 0,13$  og  $\beta = 0,15$ . I følge [2] vil gjennomsnittlig  $\beta$  være omtrent 0,13.

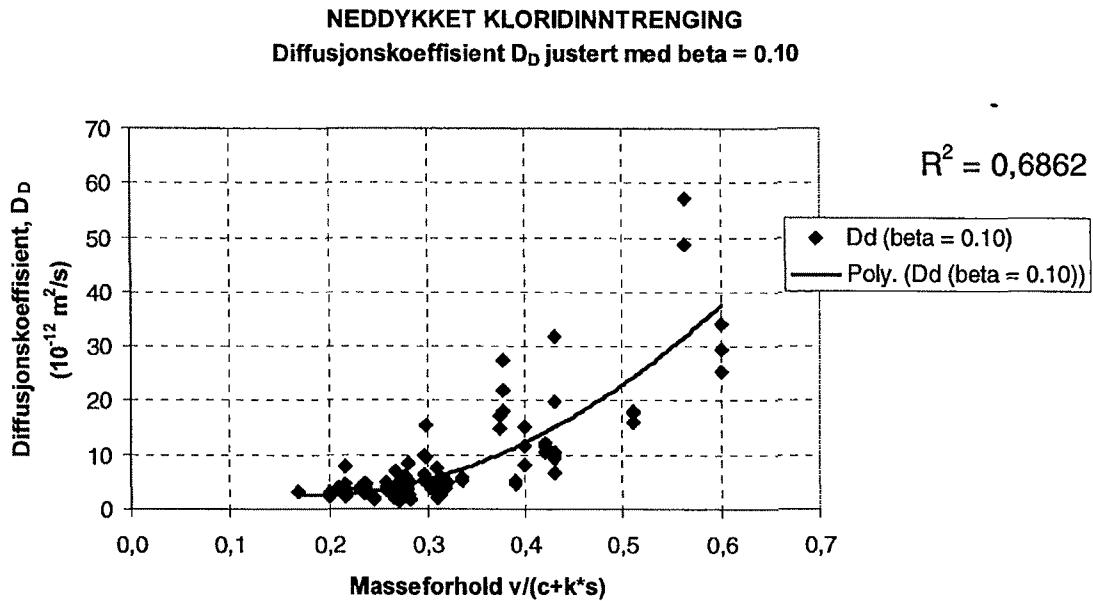
Det er kun resultatene fra metoden neddykket kloridinntrenging som er behandlet, og framgangsmåten har vært tilsvarende som forklart i avsnitt 3. Alle prøvene er beregnet tilbake til ”ønsket” alder lik 28 døgn.

Av i alt 117 betongprøver hadde 13 prøver ukjent alder ved første eksponering. Disse 13 er av den grunn utelatt fra analysene, slik at det totale antall betongprøver som inngår i beta – analysene er 104.

### 5.2 Beta = 0,10

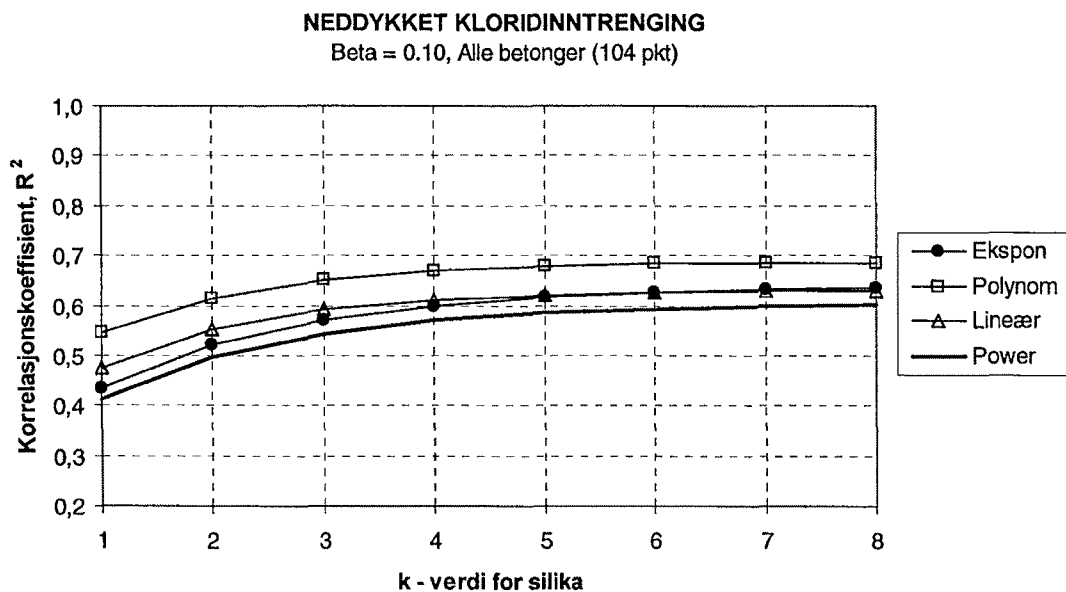
Beste resultat med alle prøver inkludert og med  $k = 1$  ble oppnådd med polynom – tilpasning. Dette gav en korrelasjonskoeffisient,  $R^2$ , på 0,55. Ved å variere  $k$  – faktoren for silika mellom 1

og 8 ble det oppnådd en korrelasjon på 0,69 for  $k = 7$  og 8, også dette for polynom – tilpasning. Figur 5.1 viser de 104 datapunktene for beta = 0,10 og  $k = 8$  med polynom – tilpasning.



Figur 5.1 Beta – faktor = 0,10, neddykket kloridinntrenging tilpasset polynom – funksjon, alle 104 punkt

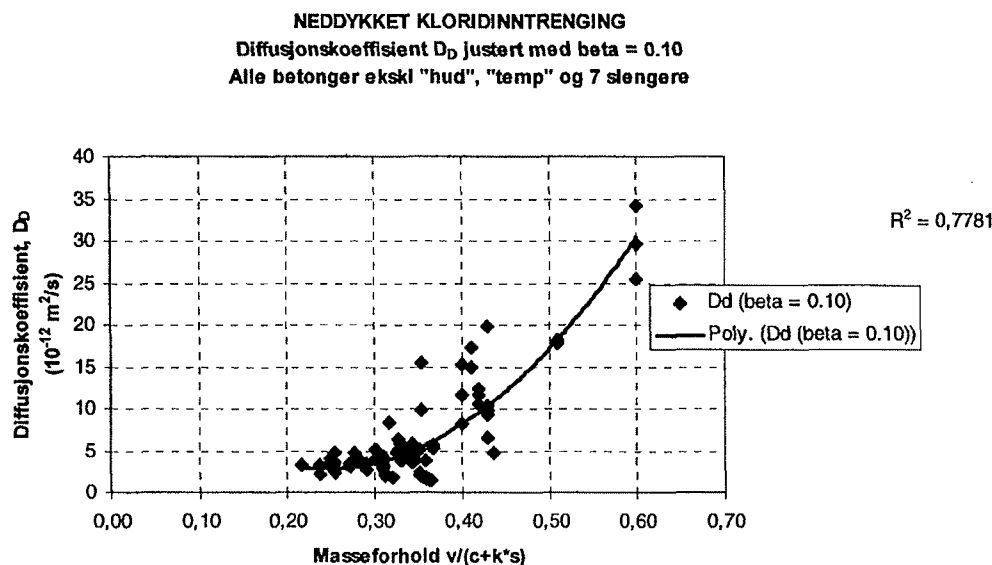
For å sammenligne de ulike kurvetyppene samt utviklingen av korrelasjonskoeffisienten med økende  $k$  - faktor for silika, er dette vist i figur 5.2 for alle 104 punkt. Detaljerte resultater er gitt i Vedlegg 11.



Figur 5.2 Korrelasjonskoeffisienten  $R^2$  som funksjon av  $k$  – faktoren for silika for 4 ulike kurvetilpasninger (bestemt ved regresjonsanalyse av resultater fra neddykket kloridinntrenging; Justert  $D_D$  ( $\beta = 0,10$ ) som funksjon av  $v/(c+k*s)$ )

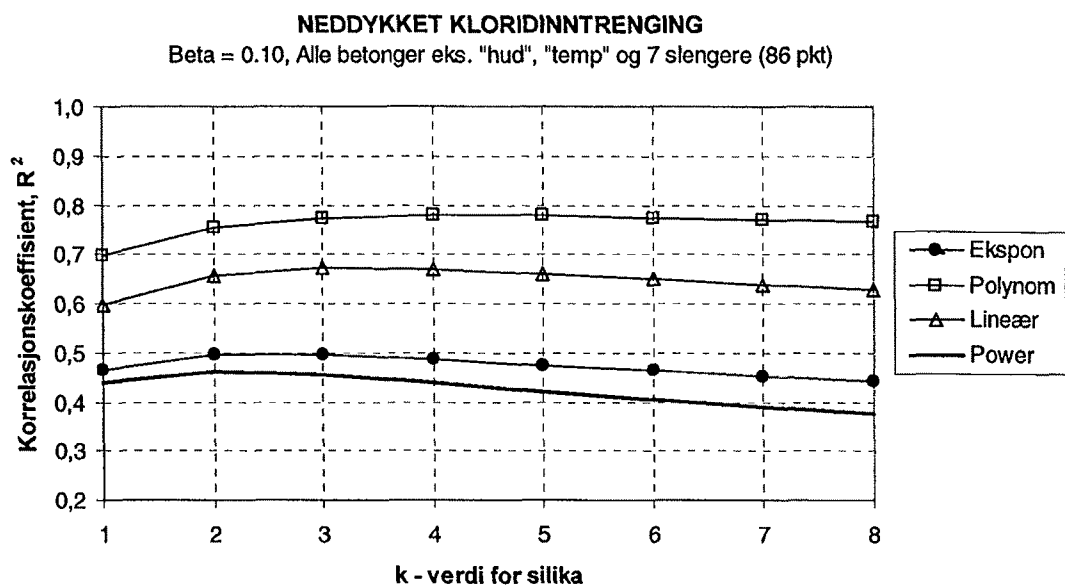
Figur 5.2 viser en stigende tendens for alle de fire kurvetyppene med polynom tilpasning som den klart beste uansett k – verdi.

Siden høyeste korrelasjonskoeffisient uten justering av diffusjonskoeffisienten med  $\beta$  - faktor ble oppnådd etter å ha fjernet en del prøver (hudprøver, høy herdetemperatur og evt. slengere) ble det beste tilfellet uten justering av beta lagt til grunn også for beta – justering av diffusjonskoeffisienten. Tilfellet er kalt "Alle ekskl. "hud", "temp" og 7 slengere" i avsnitt 3.2. Beste resultat med disse punktene inkludert  $\beta$  - faktor, totalt 86 prøver, ble oppnådd med polynom faktor, k – faktor for silika lik 4 og med en  $R^2$  lik 0,78. Dette resultatet er vist i figur 5.3.



Figur 5.3 Beta – faktor = 0,10, neddykket kloridinntrenging tilpasset polynom – funksjon, ekskl. "hud", "temp" og 7 slengere

Figur 5.4 viser korrelasjonskoeffisienten  $R^2$  som funksjon av k – faktor for silika for de fire kurvetyppene.



**Figur 5.4** Korrelasjonskoeffisienten  $R^2$  som funksjon av k – faktoren for silika for 4 ulike kurvetilpasninger (bestemt ved regresjonsanalyse av resultater fra neddykket kloridinntrenging for tilfellet ekskl. "hud", "temp" og 7 slengere, totalt 86 punkt; Justert  $D_D$  ( $\beta = 0,10$ ) som funksjon av  $v/(c+k \cdot s)$ )

For å sammenligne resultatene før og etter justering med beta = 0,10, er resultatet for tilfellet eksklusive "hud", "temp" og 7 "slengere" gitt i tabell 5.1. Mer detaljerte resultater er gitt i Vedlegg 11.

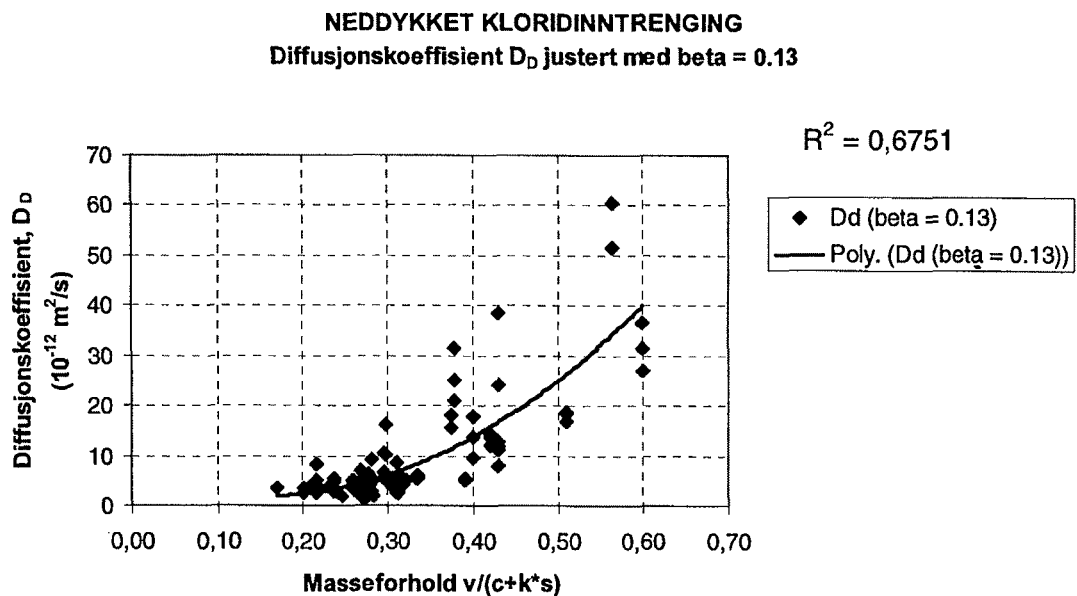
**Tabell 5.1:** Oppsummering av regresjonsanalyser av resultater fra prøving av kloridinntrenging med metoden neddykket kloridinntrenging. Korrelasjonskoeffisient  $R^2$  og k - verdi for beste tilpasning

Kurve - type	Opprinnelig $D_D$			$D_D$ justert med $\beta = 0,10$		
	Antall punkt	$R^2$	k - verdi	Antall punkt	$R^2$	k - verdi
Lineær tilpasning	95	0,65	2-3	86	0,67	3-4
Power tilpasning	95	0,47	2	86	0,46	2-3
Eksponentiell tilpasning	95	0,51	2	86	0,50	2-3
Polynom tilpasning	95	0,80	3	86	0,78	4-5

Tabellen viser at endringene er små etter å ha justert diffusjonskoeffisienten med  $\beta = 0,10$ .

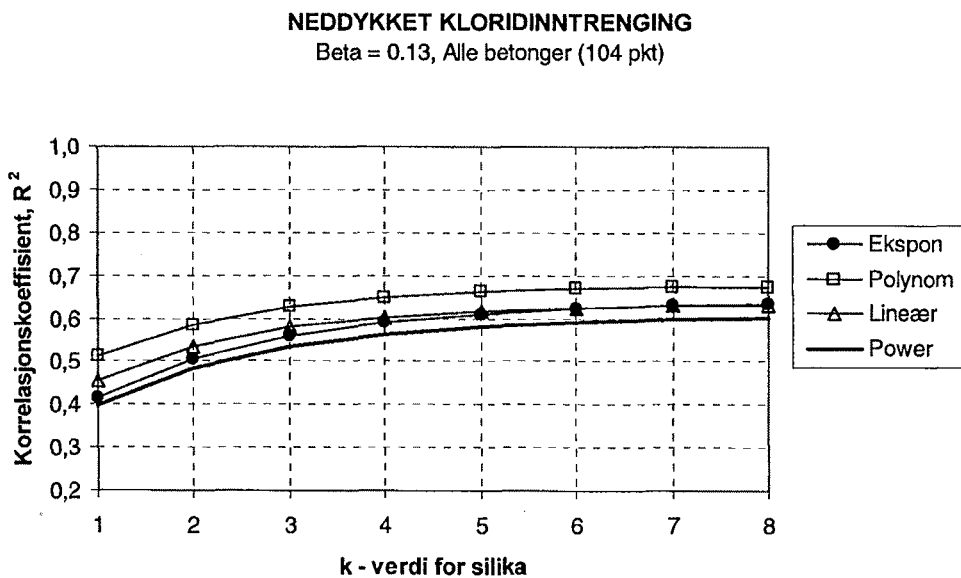
### 5.3 Beta = 0,13

Beste resultat med alle prøver inkludert og med  $k = 1$  ble oppnådd med polynom – tilpasning. Dette gav en korrelasjonskoeffisient,  $R^2$ , på 0,51. Ved å variere k – faktoren for silika mellom 1 og 8 ble det oppnådd en korrelasjon på 0,68 for  $k = 8$ , også dette for polynom – tilpasning. Figur 5.5 viser de 104 datapunktene for beta = 0,13 og  $k = 8$  med polynom – tilpasning.



Figur 5.5 Beta – faktor = 0,13, neddykket kloridinnretning tilpasset polynom – funksjon, alle 104 punkt

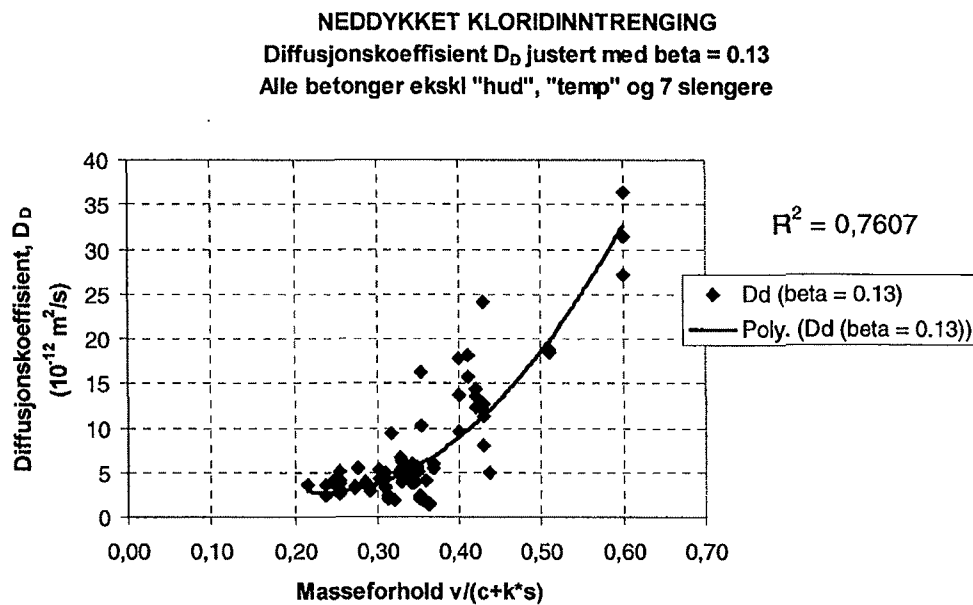
For å sammenligne de ulike kurvetyrene samt utviklingen av korrelasjonskoeffisienten med økende k - faktor for silika, er dette vist i figur 5.6 for alle 104 punkt. Detaljerte resultater er gitt i Vedlegg 12.



Figur 5.6 Korrelasjonskoeffisienten  $R^2$  som funksjon av k – faktoren for silika for 4 ulike kurvetilpasninger (bestemt ved regresjonsanalyse av resultater fra neddykket kloridinnretning; Justert  $D_D$  ( $\beta = 0,13$ ) som funksjon av  $v/(c+k\cdot s)$ )

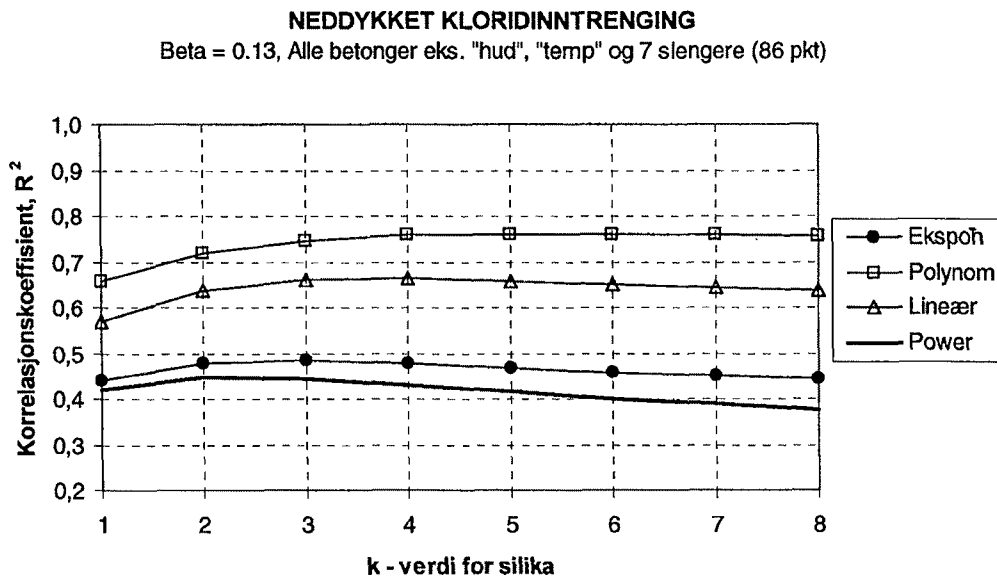
Figur 5.6 viser en stigende tendens for alle de fire kurvetyppene med polynom tilpasning som den klart beste uansett k – verdi også for denne  $\beta$  - verdien.

Tilfellet "ekskl. "hud", "temp" og 7 "slengere"" med polynom tilpasning er vist i figur 5.7. Beste resultat med disse punktene, totalt 86 prøver, ble oppnådd med polynom tilpasning, k – faktor for silika lik 5 og med en  $R^2$  lik 0,76.



Figur 5.7 Beta – faktor = 0,13, neddykket kloridinnretning tilpasset polynom – funksjon, ekskl. "hud", "temp" og 7 slengere

Figur 5.8 viser korrelasjonskoeffisienten  $R^2$  som funksjon av k – faktor for silika for de fire kurvetyppene.



**Figur 5.8** Korrelasjonskoeffisienten  $R^2$  som funksjon av k – faktoren for silika for 4 ulike kurvetilpasninger (bestemt ved regresjonsanalyse av resultater fra neddykket kloridinntrenging for tilfellet ekskl. "hud", "temp" og 7 slengere, totalt 86 punkt; Justert  $D_D$  ( $\beta = 0,13$ ) som funksjon av  $v/(c+k \cdot s)$ )

For å sammenligne resultatene før og etter justering med beta = 0,13, er resultatet for tilfellet eksklusive "hud", "temp" og 7 "slengere" gitt i tabell 5.2. Mer detaljerte resultater er gitt i Vedlegg 12.

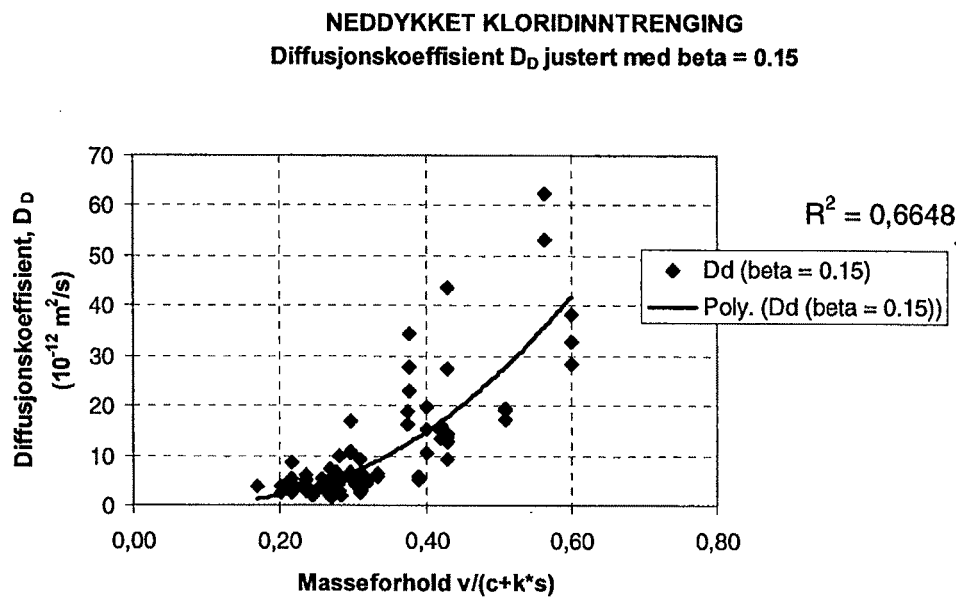
**Tabell 5.2:** Oppsummering av regresjonsanalyser av resultater fra prøving av kloridinntrenging med metoden neddykket kloridinntrenging. Korrelasjonskoeffisient  $R^2$  og k - verdi for beste tilpasning

Kurve - type	Opprinnelig $D_D$			$D_D$ justert med $\beta = 0,13$		
	Antall punkt	$R^2$	k - verdi	Antall punkt	$R^2$	k - verdi
Lineær tilpasning	95	0,65	2-3	86	0,66	3-5
Power tilpasning	95	0,47	2	86	0,45	2
Ekspensivell tilpasning	95	0,51	2	86	0,48	2-4
Polynom tilpasning	95	0,80	3	86	0,76	4-8

Tabellen viser at endringene er små selv om resultatene blir noe dårligere etter å ha justert diffusjonskoeffisienten med  $\beta = 0,13$ .

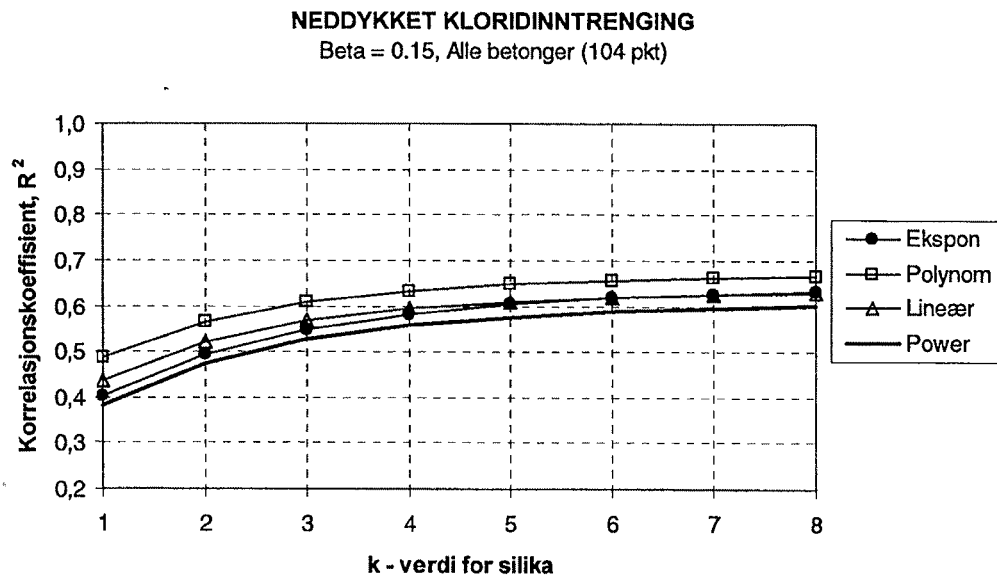
#### 5.4 Beta = 0,15

Beste resultat med alle prøver inkludert og med  $k = 1$  ble oppnådd med polynom – tilpasning. Dette gav en korrelasjonskoeffisient,  $R^2$ , på 0,49. Ved å variere k – faktoren for silika mellom 1 og 8 ble det oppnådd en korrelasjon på 0,66 for  $k = 8$ , også dette for polynom – tilpasning. Figur 5.9 viser de 104 datapunktene for beta = 0,15 og  $k = 8$  med polynom – tilpasning.



Figur 5.9 Beta – faktor = 0,15, neddykket kloridinntrenging tilpasset polynom – funksjon, alle 104 punkt

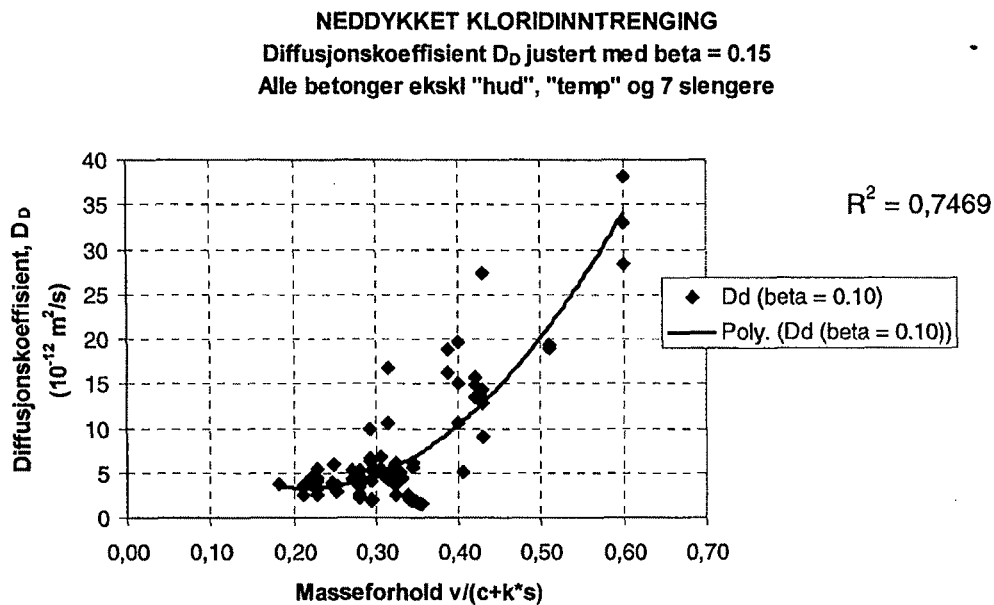
For å sammenligne de ulike kurvetypene samt utviklingen av korrelasjonskoeffisienten med økende k - faktor for silika, er dette vist i figur 5.10 for alle 104 punkt. Detaljerte resultater er gitt i Vedlegg 13.



Figur 5.10 Korrelasjonskoeffisienten  $R^2$  som funksjon av k – faktoren for silika for 4 ulike kurvetilpasninger (bestemt ved regresjonsanalyse av resultater fra neddykket kloridinntrenging; Justert  $D_D$  ( $\beta = 0,15$ ) som funksjon av  $v/(c+k\cdot s)$ )

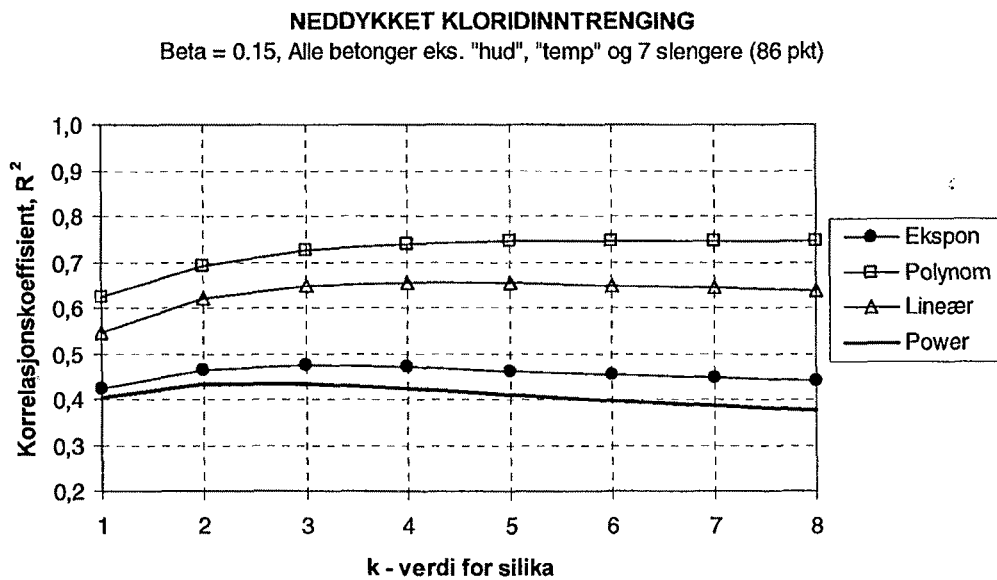
Figur 5.10 viser en stigende tendens for alle de fire kurvetypene med polynom tilpasning som den klart beste uansett k – verdi også for denne  $\beta$  - verdien.

Tilfellet "ekskl. "hud", "temp" og 7 "slengere"" med polynom tilpasning er vist i figur 5.11. Beste resultat med disse punktene, totalt 86 prøver, ble oppnådd med polynom tilpasning, k – faktor for silika lik 7 og med en  $R^2$  lik 0,75.



Figur 5.11 Beta – faktor = 0,15, neddykket kloridinnretning tilpasset polynom – funksjon, ekskl. "hud", "temp" og 7 slengere

Figur 5.12 viser korrelasjonskoeffisienten  $R^2$  som funksjon av k – faktor for silika for de fire kurvetyppene.



Figur 5.12 Korrelasjonskoeffisienten  $R^2$  som funksjon av k – faktoren for silika for 4 ulike kurvetilpasninger (bestemt ved regresjonsanalyse av resultater fra neddykket kloridinnretning for tilfellet ekskl. "hud", "temp" og 7 slengere, totalt 86 punkt; Justert  $D_D$  ( $\beta = 0,15$ ) som funksjon av  $v/(c+k\cdot s)$ )

For å sammenligne resultatene før og etter justering med beta = 0,15, er resultatet for tilfellet eksklusive "hud", "temp" og 7 "slengere" gitt i tabell 5.3. Mer detaljerte resultater er gitt i Vedlegg 13.

**Tabell 5.3:** Oppsummering av regresjonsanalyser av resultater fra prøving av kloridinnntrenging med metoden neddykket kloridinnntrenging. Korrelasjonskoeffisient  $R^2$  og k - verdi for beste tilpasning

Kurve - type	Opprinnelig $D_D$			$D_D$ justert med $\beta = 0,15$		
	Antall punkt	$R^2$	k - verdi	Antall punkt	$R^2$	k - verdi
Lineær tilpasning	95	0,65	2-3	86	0,66	4
Power tilpasning	95	0,47	2	86	0,43	2-3
Eksponentiell tilpasning	95	0,51	2	86	0,47	3-4
Plynom tilpasning	95	0,80	3	86	0,75	6-8

Tabellen viser at endringene er små selv om resultatene blir noe dårligere etter å ha justert diffusjonskoeffisienten med  $\beta = 0,15$ .

## 5.5 Oppsummering, Beta – faktor

Avsnittene 5.2, 5.3 og 5.4 har vist at korrelasjonen mellom masseforhold,  $v/(c+k\cdot s)$ , og diffusjonskoeffisient,  $D_D$ , generelt har blitt litt dårligere etter å ha justert med beta – faktorene 0,10, 0,13 og 0,15. En full oppsummering er gitt i tabell 5.4.

**Tabell 5.4:** Oppsummering av regresjonsanalyser av resultater fra prøving av neddykket kloridinnntrenging. Diffusjonskoeffisient justert med  $\beta$  - faktorene 0,10, 0,13 og 0,15. Korrelasjonskoeffisient  $R^2$  og k - verdi for beste tilpasning

Beta - verdi	Antall punkt	$R^2$	Kurve-type	k - verdi
Beta = 0,00 (oppriinnelig tilfelle)	95	0,80	Polynom	3
Beta = 0,10	86	0,78	Polynom	4-5
Beta = 0,13	86	0,76	Polynom	4-8
Beta = 0,15	86	0,75	Polynom	6-8

Tabellen viser en litt dårligere korrelasjonen med økende  $\beta$ , og at verdien for maksimale  $R^2$  opptrer for en økende k – faktor for økende  $\beta$ .

## 6 Oppsummering

En oppsummering av resultatene fra sammenhengen mellom kloridtransportkoeffisientene og masseforholdet  $v/(c+k\cdot s)$  med varierende k – faktor for silika er gitt i tabell 6.1.

**Tabell 6.1:** Oppsummering av resultater, sammenheng mellom kloridtransportkoeffisienter og masseforhold

Prøvingsmetode	Antall punkt	Best tilpasset funksjon	Korrelasjonskoeffisient ( $R^2$ )	k – faktor for silika
Neddykket kloridinnntrenging	95	Polynom, 2.grad	0,80	3
Kloridpåsprøyting	45	Polynom, 2.grad	0,77	1
Kloridmigrasjon	77	Polynom, 2.grad	0,85	5-8

Tabellen viser at alle de tre laboratoriemetodene hadde best tilpasning til 2.grads polynomfunksjon av, og høyeste korrelasjonskoeffisient ble oppnådd for kloridmigrasjon ( $R^2 = 0,85$ ) med k – faktor for silika lik 5-8. 2.grads polynom gir generelt bedre tilpasning siden denne funksjonen har en ekstra tilpasningsfaktor. Det er videre funnet at å ekskludere lettbetonger fra utvalget har liten effekt på resultatet.

Når det gjelder forholdet mellom de ulike transportkoeffisientene er det funnet at forholdet mellom *diffusjonskoeffisient*, og *migrasjonskoeffisient*, ( $D_D/D_M$ ), varierte for mye til at det kan angis et omtrentlig forholdstall dem i mellom. Dette gjelder også for forholdet mellom *påsprøytingskoeffisient* og *migrasjonskoeffisient*, ( $D_S/D_M$ ). Felles for disse to forholdene var imidlertid at sammenhengen ble bedre med dårligere betongkvalitet (høyere verdi av  $D_D$  og  $D_S$ ). Forholdet mellom *påsprøytingskoeffisient* og *diffusjonskoeffisient*, ( $D_D/D_S$ ), er på den annen side relativt entydig, og ligger i området 1,4 – 1,8. Det må nevnes at alle resultatene kunne blitt mer entydige dersom klare ”slengere” hadde blitt fjernet før analysen, men siden antall punkt var relativt få fra før ville dette også gitt en usikkerhet, og fjerning av ”slengere” ble derfor ikke utført i denne sammenhengen.

Det er videre funnet at å inkludere  $\beta$  - faktoren i beregningene gir litt dårligere korrelasjon mellom masseforhold,  $v/(c+k\cdot s)$ , og diffusjonskoeffisient,  $D_D$ . Det er ikke funnet noen betydelig forskjell i resultatene med de ulike  $\beta$  - verdiene som er prøvd her ( $\beta = 0,10$ ,  $\beta = 0,13$  og  $\beta = 0,15$ ).

## 7 Referanser

1. Lindgård, Jan: Utviklingsprosjekt: Bestandige betongkonstruksjoner, Rapport 1.3 ”Gjennomgang av laboratoriemetoder for kloridinntrenging”, Trondheim 1997
2. Magne Maage, Steinar Helland, Jan Erik Carlsen: Lett konstruksjonsbetong, delrapport 3.6: ”Chloride penetration into concrete with light weight aggregates”, 1999

## **Vedlegg 1:**

**Anonymisert oversikt over alle utførte  
laboratorieundersøkelser  
(Fil: "Oversikt, alle\_anonym.xls")**

22M173 Betongkonstruksjonerens livsløp		OVERSIKT OVER UTKØRTE LABORATORIEANALYSER															
(Fil:"Oversikt, alle_anonym")		(Antall forsøk/resepter skal føres inn i kolonne der dette er hensiktsmessig)															
2001-01-29		Ref-nr	Migra-sjon (NT Build 355)	Neodyn-eksplosiv-tiltak-ning	Klorid-påsprøyting	Lab-dato	Feltbetong			Resept-typen	Nor-mal-btg.	Lett-btg.	Særlig-eig.	Andre lab.resultater			Kommentarer
Prosjekt-nr og navn	Konstruk-sjon						Hud	Bulk	Inkl.					Trykke-fasthet	P/F	Kap-abs.	Arbeid
							Ref-blokk/belegg	Ref-blokk	Institu-tionell					72%	20%	20%	Arbeid
Nordtest - ringforsøk (1993)	Laboratore-prøver	1	2x1	3x1	2x1		1			0,6 <sub>nom</sub>	1		---				"Ref.betong; 2 rep.mørtler ikke inkl.; DTI, SINTEF, CBI"
Kloridbestandig betong (1996) (SVV)	Vegg-elementer	2		3x8			8	8	8	0,34-	17	0-11		x			"Innendørs lagrede ref. veggelementer, alder 90 døgn, inkl ulike tilsetninger. Resepter gitt i SVV-rapp. nr 94-13 BRU (17 varianter)"
HSC, rapp. 4.8 (1989)	Vegg-elementer	3	10				10			0,28-	7	3	0-10,5	x		x	"Veggelementer herdet ca 1 mnd. i sjø-vann før prøving. (AASHTO T277-831, kap.sug av klorider - Quantab benyttet)"
C. Hauck, dr.avh. (1993)		4	6				6			0,35 <sub>nom</sub>	6		0-10	x	x	x	"Herdetemp. 20, 45 og 70 gr.C; (MIP, CAL, poreavannspressing, AASHTO T277-831, ulike elektrolytter)"
			9				9			0,40 <sub>nom</sub>	9		0-10	x	x	x	
			4					4		0,35 <sub>eff</sub>		4	4				"Herdetemp. 50-85 gr.C; Fullskala NC"
			1				1			0,45 <sub>nom</sub>	1		8				"Herdetemp. 40 gr.C"
Floating, rapp. 5.1 (1992)		5	6				6			0,28-		6	8-16		x	x	"(Frost, el.motstand, "lollipop", klorid-inntr. ved vanndampdiff.), Inkl sammen-ligning med /3, 6 og dr.avh.Ming/"
Dykket rørbru (1990) (SVV)	Rørbru	6	3				3			0,35-	2	1	2-8	x		x	"(El.ledn.evne, vanntrykkperm., klorid-inntr. ved vanntrykk og kap.abs., MIP, heliumpykn., E-modul, oksygendiff., korrasjonshast.)"
MUHB, rapp. 2.5 (1991)	Beton-gblokk	7	5					5		0,35 <sub>eff</sub>		1	3,8	x		x	"Herdetemp. 50-85 gr.C; Fullskala NC, (E-modul, tynnslip)"
Artikkelen (1992)			8														
MUHB, rapp. 2.8 (1992)	Ukjent	9	8				8			0,25-		2	8	x		x	"Herdetemp. opp til ca. 80 gr.C; både vått og tørt letttilslag; (+ en metode med 30 V)"

Prosjekt- nr og navn	Konstru- ksjon	Ref. nr.	Migra- sjon (NT Build 355)	Neddyk- erkordi- nertren- gning	Klorid- påsprøyting		Lab- btg.	Feltbetong		Resept- finner (ang. v/c+s)	Nor- mal btg.	Lett- btg.	Silika- t (c-s) gang (%)	Andre lab.resultater	Kommentarer	
					Ref btg	Impor- tategg		Hud	Bulk	Innd- insitu profil						
Notat H.Justnes (1996)	-	10														*Gir en prinsipiell oversikt over ulike metoder for prøving av kloridinntrenging
Kloridbestandig- het av kystbru (1993) (SVV) (SINTEF: 32394)	Bru	11	6	12	6		(x)	x	63	(0,35- 0,55?)	8	0/5	x	x	x	*8 bruker; sammenstilling av kloridres.; (NBI s. 61-64, 134, 142); (densitet, el.motstand, vanninntrengning, kjemisk analyse, karb., poreavanspressing, strukturanalyse); noen forsøk på hud
Permeabiliteit i høyfast lettbetong (1991)	Ukjent	12	9					9			0,22- 0,34 <sub>eff</sub>	9	0/9		x	*ulike lettlagslag; (Vannpermeabiliteit); estimerte effektive masseforhold
70007 (1993)	Laboratorie- prøver	13	3				3			0,31 <sub>nom</sub>	1	5		x	* 3 herdesykler; (vanninntrengning)	
70012/0+2 (1994)	Platform	13		2				2	24	0,43?	2	0/2				
70024/1 (1994)	Bru	13	2	4	2		x	x		0,35 <sub>eff</sub>		x	7,5		x	*(el.motstand, vanninntrengning, strukturanalyse, AASHTO T277-831); P30-4A/HS65; Lightcon; jfr 70064
Nordhordlandsbrua- flytebru - pongtonger																
70024/4 (1994)	Bru	13	1	1 <sup>1</sup>	1		x	x		0,33 <sub>eff</sub>		x	7,5	x	x	*Prøveelementer med ulike lagringsbetin- gelser; (el.motstand,vanninntrengning, AASHTO T277-831); HS65; jfr 70064
Nordhordlandsbrua (Lightcon) (6 mnd.)																
70025/2 (1994) (3 mnd)	Bru	13	1	1 <sup>1</sup>	1		x	x		0,39 <sub>eff</sub>		x	6,5	x	x	*Prøveelementer med ulike lagringsbet. (jfr 70064); HS65; (vanninntrengning)
Støvset bru (Lightcon)																
70044/1-13 (1995)		13														*Prøveelementer; HS65; jfr 70064 mht lagringsbetingelser
*Støvset bru (1,3 år)	Bru		2 <sup>1</sup>	3 <sup>1</sup>	2 <sup>1</sup>			x	5	0,39 <sub>eff</sub>	1	6,5			x	*(vanninntrengning, AASHTO T277-831)
*Nordhordlandsbrua (1,4 år)	Bru		5 <sup>1</sup>	3 <sup>1</sup>	2 <sup>1</sup>			x	12	0,33 <sub>eff</sub>	1	7,5			x	*(vanninntrengning, AASHTO T277-831)
70064/1-8 *Støvset	Bru	13		3 <sup>1</sup>			x	16+(5)	0,39 <sub>eff</sub>		1	6,5	x		x	*Prøveelementer med ulike lagringsbet.;
*Nordhordland (1996)	Bru			3 <sup>1</sup>			x	14	0,33 <sub>eff</sub>		1	7,5	x		x	2,5 år; (el.motstand, fuktivitå); Lightcon
70035/1-2 (1994)	Elementer	13		1				1	6	0,36 <sub>nom</sub>	1		7,5			*Betongelement C60

Prosjekt- nr og navn	Konstruksjon	Ref. nr.	Migrasjon (NT Build 355)	Neddyk- et klorid- innren- sing	Klorid- påsprøytning	Lab bio	Feltbetong			Resept finnes (ang. v/c/s)	Nor- mal- btg.	Lett- btg.	Silika- (s+o) (el+o)	Andre lab.resultater			Kommentarer
							Re- flekt.	Impor- tabellegd	Felt bio					Trykk- fasthet	PF	Kap. abs.	
70023/1 Boknasund bru (1994) (Lightcon)	Bru	13	1	1			x	x	10	0,43 <sub>nom</sub>	1	5,5	x		x	x	*(Vanninntrengning, strukturanalyse, AASHTO T277-831, el. motstand, pot.)
70023/2 Bergsøysund bru (1994) (Lightcon)	Bru	13		1					1	2	0,35 <sub>eff</sub>	1	5	x		x	(AASHTO T277-831)
70019 (1994) (SVV)	Ukjent	13		3 <sup>1</sup>			x		?	1	0				x		*Gimsøystraumen;(porevannspressing)
32530/0+2 (1993)	Ukjent	13		2	2		x		?	?	?						**L.L.1" og "L.K.F.1"; antar lettbetong
70022 (1994)	Beton- blokk	13		1					1	0,40 <sub>nom</sub>	1	3,5	x <sup>2</sup>				*MA (btg.blokk prod. i felt); <sup>2)</sup> 32690 *SA (btg.blokk prod. i felt)
70010/0+2 Aursund bru (1994) (SVV)		13		2	2		x			0,40 <sub>nom</sub>	2	3,5			x		*MA - fra Veglab. og M&R; (el.motst.) *SA - fra Veglab. og M&R; (el.motst.)
32696/1-3 (1994)	Beton- blokk	13			1		x			0,38 <sub>nom</sub>	1	4,7	x		x		*Betongblokk; (E-modul) *Betongblokk - **MND; (E-modul)
70057 og 70059/1 (1996)	Brukasse	13	2	2					x	4	0,43?	2	0		x	x	*brukasse; resept usikker (nom.resept v/c=0,49?)
Kai (1996)	Kai	13	2				1	1		0,40?	2	0	x	x	x	x <sup>m</sup>	*Utført av NTNU (R.Relling);C45;MP-30
		13															*x <sup>m</sup> =motst.
	Bru		2				1	1	5 <sup>1</sup>	0,45?	x	0	x	x	x	x <sup>m</sup>	*Fundament; C45; v/c est. fra kap.abs.
			2				1	1	5 <sup>1</sup>	0,50?	x	0	x	x	x	x <sup>m</sup>	*Søyle; C35; v/c est. fra kap.abs.+resept
70054/1R,2,3 Gimsøy- straumen (1996) (SVV)	Bru	13		2			x		< 0,40	x	3,8			x	x		*15 betongheller, derav 13 sandblåste og 2 ubehandlet; (vanndampdiff.)
700549 (1994)	Lab.prøver	13		4 <sup>1</sup>			x			0,4	x	6,2					*Nordisk ringtest
70005/rev. (1993)	Beton- blokk	13			1	1	x			0,60 <sub>nom</sub>	1	---	x				*Betongblokk lagret 2 år ved 50 % RF
70009 (1993)	Ukjent	13			1	2	x			0,60 <sub>nom</sub>	1	---	x		x		*(Vanndampdiff.); alder?
70016/1-4rev. (1994) (SVV)	Ukjent	13			1	1	x			0,40 <sub>nom</sub>	1	5	x				*Veglab's MA-betong (k=2) *MA-betong i hht NS 3420 (k=1)
70041 (1995)	Ukjent	13			1	x				0,40 <sub>nom</sub>	1	5					*Veglab's MA-betong (k=2)

Prosjekt- nr og navn	Konstruk- sjon	Ref- nr.	Migra- sjon (NT Build 355)	Neddyk- ket klorid- innren- sing	Klorid- påsprøyting		lab- btg.	Feltbetong		Resept innes- gang v=+S)	Nor- mal btg.	Lett- btg.	Silika- t (k=2)	Andre lab.resultater			Kommentarer	
					Impri- t	Ref. btg. belegg		Hud	Bruk	Inkl. Institu- profil				Trykk- festhet	PF	Kap- sats		
70042 (1995)	Ukjent	13				1	x			0,40 <sub>nom</sub>	1		5					*Veglab's MA-betong (k=2)
32585 Røssøystra- men bru (1993) (SVV)	Bru	13				6 <sup>1</sup>		x		3 ca 0,40	1		0?					*6 kjerner med belegg på overflata
70014/1-6 (1994)	Ukjent	13				6	x			0,40 <sub>nom</sub>	1		5					*Veglab's MA-betong (k=2); 6 "belegg"
70017/1-5 (1994)	Ukjent	13				5	x			0,40 <sub>nom</sub>	1		5					*Veglab's MA-betong (k=2); 5 "belegg"
70029 (1994)	Ukjent	13				1	x			0,40 <sub>nom</sub>	1		5					*Veglab's MA-betong (k=2)
70048 (1995)	Ukjent	13				1	x			0,40 <sub>nom</sub>	1		5					*Veglab's MA-betong (k=2)
70021-3 (1995)	Ukjent	13				1	1	x		0,40 <sub>nom</sub>	1		5	(x)				*Veglab's MA-betong (k=2)
70065 (1996)	Laboratorie- prøver	13			3			x		0,45 <sub>nom</sub>	3**		4,8	x		x		*3 mørtel** med 3 doseringer CN; (bøystrek, NT Build 443)
70073 (1996)	Ukjent	13				1	1	x		0,45 <sub>nom</sub>	1		0					*MA-betong i hht NS 3420
32791 (1996)	Ukjent	13								0,46 <sub>nom</sub>	x	---	x					*Dokumentasjon av ref.betong benyttet til andre forsøk (jfr 70067)
70067/1-3 (1996)	Ukjent	13				2	29	x		0,43 <sub>eff</sub>	x	---	x					*Både 6 og 12 ukers eksponeringstid; 3 fukttilstander ved påføring; Resept:32791
70043 (1995)	Dekke	13								2	?	?	?					
70050 (1995) (SVV)	Bru	13								4	?	?	?					
70051 Helgelandsbrua (1995) (Noteby)	Bru	13								4	?	1	?					
70036/0,2 Helgelands- bru (1994)	Bru	13								4	?	1	?		x			
70047 (1995)	Ukjent	13								12	?	1**	?					*Rep.mørtel** påsprøytet sjøvann i 3 måneder
70003 (1993)	Ukjent	13																*Kloridanalyser - sammenligning av 3 metoder

Prosjekt- nr og navn	Konstruk- sjon	Ref- nr.	Migra- sjon (NT Build 355)	Nedov- et klorid- innren- sing	Klorid- påsprøyting	Lab- btg.	Feltbetong		Resept- finnes (angl v/c-s)	Nor- mal btg.	Leit- btg.	Silika (angl %)	Andre lab.resultater			Kommentarer	
							Rei- btg belegg	Inkl insti- profil					Trykk fasthet	PF	Kap abc	Appet	
70075 (1996)	Bru	13							32	?	?	?				?	*Andre forsøk også?
70062/1 Giske bru (1996) (SVV)	Bru	13							8	?	2?	?					*2 områder à 4 kjerner
70062/2 Bolsøy bru (1996) (SVV)	Bru	13							8	?	2?	?					*2 områder à 4 kjerner
70062/3 Runde bru (1996) (SVV)	Bru	13							10	?	5?	?					*5 områder à 2 kjerner
70071 (1996)	Ukjent	13							8	?	?	?					*Ikke tegnet opp profilene
70058/1 Gimsestrau- men bru (1996) (SVV)	Bru	13							15	?	x	0					*15 lokaliterer (4 kjerner + 130 støv- prøver)
70058/2 Aursund bru (1996) (SVV)	Bru	13	(6**)						?**	16	?	x	?				*18 lokaliterer (4 kjerner + 186 støv- prøver, derav støv fra 6xbulk,diff**?)
70058/3 Nordhordland- sbrua (1996) (SVV)	Bru	13							3	?		?	?				*3 lokaliterer (48 støvprøver)
32767 (1995)	Platform	13							1	?	x		x	x	x		*(Sulfatinnhold, strukturanalyse)
HETEK-Kloridinnt(-96)	Ukjent	14															*State-of-the-art på kloridinntrengning
El-Betbol, dr.avh. (1990)	Ukjent	15	**				x		0,4- 0,6 <sub>nom</sub>	x	---			x		*Mørtler. Lignende metode som NT Build 355**, men 10-60 V; (MIP, SEM, oksygenperm., diff.celletest)	
Luping, kloriddiff.(1993)	Ukjent	16	**							x				x			*Lignende metode som NT Build 355**, men 30 V; 6 paper vedr. kloriddiff.
Kloridtransport i bet- ong (1996)	Ukjent	17															*Litt.studie. Effekt av ulike materialparametre
HSC, rapp.4.9 (1989)	Offshore	18							9	0,45 <sub>nom</sub>	x	---	x				*Britisk off-shore prosjekt
									3	?	x	?					*Off-shore konstruksjon i Nordsjæen
Tilstandskontroll (1989)	Ukjent	19							2	0,36 <sub>nom</sub>	x	7,5	x	x	x		*7 års eksponering; jfr 70035/1-2; (tynnslipanalyse, XRD,mineralsammen- setning); bruk av Quantab

Prosjekt- nr og navn	Konstruk- sjon	Ref. nr.	Migra- sjon (NT Build 355)	Klorid- innreg- ning	Klorid- påsprøyting		Lab- btg.		Feltbetong		Resept- finner taper nom	Nor- mal btg.	Lett- btg.	Andre lab.resultater				Kommentarer
					Ramme belegg	Støtbtg belegg	Hue	Bulk	Inkl instill profil	Ulike testmet od				TUUKS testslag	P/F testslag	Kap abs.	Apone	
Kloriddiff., MP-sement delrapp. 8 (1986)	Ukjent	20								0,5- 0,9 <sub>nom</sub>	**	0-15				x	*Pasta**; (diff.av klorider gjennom prøven)	
Tilstandskontroll av bru i Hordaland (1986) (SVV)	Bru	21							59	0,25- 0,65**	?	?	x	x	x	x	*20 bruer; v/c-tall** anslått ut fra kap.abs. ; bruk av Quantab; (karb.dybde)	
Vern av betong med maling (1987) (Jotun, Nordisk industrifond)	Ukjent	22				x				0,6- 0,75 <sub>nom</sub>	x	---	x			x	*Flere typer malinger/belegg; ("lilli- pop", karb., 5 V likespenning)	
Kvalitetskriterier for herdet betong (1988)	Ukjent	23							40**	0,77- 0,93 <sub>nom</sub>	5	0-9	x			x	*5 C25-resepter; ulike eksp.forhold**; (karb., el.motstand, "lilli-pop", AASHTO T227-831)	
Arm.korr. initiert av klorider (1989)	Ukjent	24																*Gir en oversikt over forskningaktivitet ved FCB fra 1977-89 (åpne arbeider). (Alle referansene er inkl i oversikten)
Tilstandskontroll Treng- sel bru (1986) (SVV)	Bru	25							4	0,3**	x		x	x	x			*Anslått v/c** ut fra kap.abs.forsøk; (karb.dybde); bruk av Quantab
Rehabilitering. Inkl. Tjeldstøstraumen bru (1987, -89, -91)	Bru	26							30	0,44**			x	x	x			*Tilst.kontroll av prøvefelt før rep., samt visuell tilstandskontroll 2 og 5 år etter rep. (overflatepot., el.motstand; karb.dybde); bruk av Quantab; anslått v/c** fra /21/
Tilstandskontroll. Hoved- kai (1992)	Kai	27							6**+ 2***	?	x	---	(C25)			x		*Originalbetong** og rep.materiale***; (el.motstand; fukt; visuell kontroll); bruk av Quantab
Rehabilitering. Prøve- metoder...(1989)	Ukjent	28	3**			x			0,70 <sub>nom</sub>	x	---	x	x	x				*Lignende metode som NT Build 355**, men 6 V - inkl test av 2 belegg; (svinn, karb., vanndampdiff.,bøyestrekke, heft, frost, E-modul, "lilli-pop" (av rep.mørtell))
Kloridperm. i HFB, artikkel Nice (1994)	Platform	29							5	0,43 <sub>nom</sub>	x	?						*Statfjord A (inkl. 1 profil m/belegg)
Lightcon delrapp. 1.9 Østmarkneset (1994)	Blokker	30	1			x	10	0,34 <sub>nom</sub>		x	14,4	x			x			*Ekofisk I *Testblokker; LC40; antatt ca 80 gr. C som maks. herdetemp; (korr.hast., pot.målinger, el.motstand - alle i felt)

Prosjekt- nr og navn	Konstruk- sjon	Ref. nr.	Migra- sjon (NT Build 355)	Nedtryk- kend innan- gang	Klorid- påsprøyting		Lab btg.	Feltbetong			Resept jnings takniv v/C=31	Nor- mal btg.	Lett- btg.	Andre lab.resultater			Kommentar		
					Reflekt belegg	Impor tbellegg		Hud	Bulk	Inkl usjons profil				Glik takniv	Tverr fasihel	PF	Kap	Appli	PF
Sund bru (1992) (NBi/Veglab.)	Bru	31	2								0,35 <sub>eff</sub> (?)		X	5	X				*P30-4A; 64 og 92 gr. C herdetemp.; migrasjon utført ved Veglab.; (E-modul, vannintr., tynnslip, frost, karb.dybde)
70083 (1998)	Laboratorie- prøver	32	1+2 2x1 2x2 2x1					1	2			3							*Saltkonsentrasjon = 3 vekt %
70083 (1998)	Laboratorie- prøver	32	2x1 2x1 2x1 1 2x1 1 2x1					1	1			2							*Saltkonsentrasjon = 3 vekt %
70084 (1996)	Laboratorie- prøver	33			3	3	6				0,43	6				X			
70087 (1997)	Ukjent	34								3		3?							*Analysert for hver fjerde mm
										1		1?							*Fullstendig analysert
70092 / 9 (1998)	Laboratorie- prøver	35	15 8					9	6			15? 8?			X	X			*Saltkonsentrasjon = 5 vekt % *Prøveløsn. = 165NaCl/l *Riss har muligens "forstyrret" en av prøvene
70092/12 (1998)	Laboratorie- prøver	35	8 <sup>1)</sup> 4					4	4			8? 4?			X	X			*Saltkonsentrasjon = 5 vekt % <sup>1)</sup> 3 prøver med stor grad av usikkerhet pga ujevn stigning av målt kl.innhold
70092/10 (1998)	Laboratorie- prøver	35	6 3					4	2			6? 3?			X	X			*Saltkonsentrasjon = 5 vekt % *Prøveløsn. = 165NaCl/l
70092/aa (1998)	Laboratorie- prøver	35	2								2?				X	X			*Prøveløsn. = 165NaCl/l
70102	Laboratorie- prøver	36				8 6	8 6				8? 6?				X	X			* (Sprøytebetong) *(Sprøytebetong)

Prosjekt- nr og navn	Konstruk- sjon	Rei- nr.	Migra- sjon (NT Build 355)	Neddyk- erklorid- inn tren- gning	Klorid- påsprøyting	Lab- btg.	Feltbetong		Resept- finnes (ang. v/c:s)	Nor- mal btg.	Lett- btg.	Silika- (c/s)	Andre lab.resultater			Kommentarer	
							Ref btg	belegg	Hud	Bulk	Inkl institu- profil	Trykk- fasthet	PF	Kap- abs.			
70103 (1998)		37					6?										X *Kloriddiff.koeff. i hht ASTM C 1202, 6 prøver
																	* Porevannspressing av pastaprøver, resept for porevann, analyse av porevann
70104 (1998)		38			3	3	6			0,43	6						*MA-betong, NS Referansebetong-NS 3099
																	*Type belegg:
70107 (1998)		39															*Porositet, KS 70110
Brukkontoret					14		14			(0,32 - 0,56)	11	3	0-8				*Utboredre kjerner
Utv av kloridbestandig betong					14		14				11	3	0-8				* Støpte sylinder
70114 (1998)	Flytebr?	40							8								*Kjerneprøver
					2x4		8?										
70126 (1999)		41			4		4					4					*Høytemperatur
					4		4			-0,38		4	6-8				
					4		4					4					
70134 (1999)	Ukjent	42							2								*Borkjerner
SVV									2								*Betonstøv
70088 (1997)	Platform	44							12								*Kjerner
70082 (1996)	Bygg	45							1								
					?				1								
70080 (1997)	Ukjent	46							5								*Kloridinhhold på støvprøver
70105 (1998)	Ukjent	47							4								*Støvprøver KS 70108
																	*Quantab-stimler
70108 (1998)	Balkong	48							9								*Støvprøver, KS 70108
																	X *Identifisering av hvitt utfellingsprodukt
70118 (1998)	Bygg	55							2								* 6 støvprøver, KS 70 108
70120 (1998)	Platform	56							7								* Kjerner fra
70127 (1999)		57			3	3											* Prøving av...kloridbremsende effekt Inn trengs dybde, løsningsevene for asfalt



**Vedlegg 2:**

**Data, neddykket kloridinntrenging**  
**(Fil:"Data, neddykket.xls")**

22M173 Betongkonstruksjonerens livsløp				NEDDYKKET KLORIDINNTRENGNING (API 302 / NTG BUILD 43)												
(Fil:"Data_neddykket.xls")				C <sub>0D</sub> = overflatekonsentrasjon [% Cl] D <sub>D</sub> = Diffusjonskoeffisient [10 <sup>-12</sup> m <sup>2</sup> /s]												
2001-01-29				- i parentes er angitt: (variasjonskoeffisient i % / antall parallele prøver)												
Prosjekt-nr og navn	Ref.-nr.	Type prøve				Normaldig. (nom.)	Sæd. (eff.)	Sil. s/c+s	Utd. v/c+s	PF / Kap.abs.	Kommentarer (angi hvis kloridinnhold ikke er bestemt med spektrofotometer - angi eksponeringstid hvis denne er vesentlig forskjellig fra 35 døgn - angi sementtype, samt evt annet)					
		Feltbetong		Alder	Lab.betong											
		Støpenud	Sædlate		Sædlate	Sædlate										
		C <sub>0D</sub>	D <sub>D</sub>	C <sub>0D</sub>	D <sub>D</sub>	(MPa)	(%)	(%)	(%)	m (10 <sup>-12</sup> m <sup>2</sup> /s)						
Nordtest - ringforsøk (1993)	1			8 mnd									"ref.btg.ihht NS 3099; sementtype?			
					0,85	23,8	0,6	0					"DTI; Volhard-titrering			
					(7,5/2)	(16,8/2)										
					0,81	27,5	0,6	0					"SINTEF			
					(6,2/3)	(9,5/3)										
					0,76	20,5	0,6	0					"SP; ionekromatograf - vannløselige klorider			
					(3,9/3)	(8,3/3)										
					0,8	24	0,6	0					"Snitt av 3 laboratorier			
					(6,7/8)	(16,7/8)										
Kloridbestandig betong (1996)	2			90 døgn			(eff. v/c+s)						"17 ulike resepter inkl ulike "TSS"; innendørs lagrede ref.elementer (vegg); <sup>1</sup> = est. v/b - kap.abs.			
		0,74	14,4	0,87	16,2		0,86	15,9	0,51	0	12,3	2,3	39	*resept A (A-ref.); P30; tidligere normalbetong for bruer;		
		(20,3/3)	(10,1/3)	(9,2/3)	(16,1/3)		(2,3/3)	(11,7/3)	(0,48) <sup>1</sup>							
		0,55	8,9	0,79	5,7		0,78	4,6	0,38	4	11,2	4,2	77	*resept B (B-ref.); P30; C45-MA i hht Prosess-kode 2 1989;		
		(7,3/3)	(13,4/3)	(7,6/3)	(4,5/3)		(6,4/3)	(20,0/3)	(0,40) <sup>1</sup>							
		0,96	2,3	1,02	3,2		0,9	3,5	0,4	4	10,6	4,1	116	*resept O (B-HS.); HS-65;		
		(7,3/3)	(13,6/3)	(4,9/3)	(4,3/3)		(5,6/3)	(13,6/3)	(0,37) <sup>1</sup>							
		0,74	4,9	0,81	5,2		0,82	3,2	0,39	3,4	11,9	1,8	174	*resept E (B-MP.); MP-30;		
		(17,6/3)	(39,6/3)	(8,6/3)	(17,7/3)		(14,6/3)	(19,5/3)	(0,40) <sup>1</sup>							
		1,1	3	0,74	4,5		0,82	3,6	0,39	7,3	12,3	3,6	108	*resept D (B-SR.); SR;		
		(24,4/3)	(3,7/3)	(8,1/3)	(9,8/3)		(2,4/3)	(10,9/3)	(0,41) <sup>1</sup>							
		1,21	3,1	0,96	3		1,01	2,5	0,42	11	14,8	1,2	191	*resept F (S-ref.); P30;		
		(10,7/3)	(13,1/3)	(4,2/3)	(18,9/3)		(27,7/3)	(23,8/3)	(0,44) <sup>1</sup>							
		1,06	2,4	0,78	4,6		0,83	4,1	0,46	9,1	12,6	1,7	259	*resept G (S-45); P30;		
		(7,6/3)	(26,6/3)	(24,4/3)	(17,4/3)		(2,4/3)	(6,6/3)	(0,44) <sup>1</sup>							
		0,72	4,2	0,82	2,8		0,73	3	0,34	6,2	11,9	1,6	145	*resept J (S-33); P30;		
		(16,7/3)	(3,1/3)	(6,1/3)	(20,8/3)		(17,8/3)	(17,8/3)	(0,36) <sup>1</sup>							

22M173 Betongkonstruksjonerers livsløp (Fil: "Data, neddykket.xls")				NEDDYKKET KLORIDINNTRENGNING (APM 302 INT. BUILD 443)								- i parentes er angitt: (variasjonskoeffisient i % / antall parallelle prøver)								
				$C_{oD}$ = overflatekonsentrasjon [% Cl]								- i parentes er angitt: (variasjonskoeffisient i % / antall parallelle prøver)								
2001-01-29				$D_D$ = Diffusjonskoeffisient [ $10^{-12} \text{ m}^2/\text{s}$ ]								- i parentes er angitt: (variasjonskoeffisient i % / antall parallelle prøver)								
Prosjekt-nr og navn	Ref.-nr	Type prøve				Alder	Nor- mal prø v/c+s		Leit- dig (eff. v/c+s)	Sil- ika s/ C+S	Trykk- fast- (nom. )	PF / Kap.abs.		Kommentar						
		Feltbetong					Lab.betong							(angt hvis kloridinnhold ikke er bestemt med spektrofotometer - angi eksponeringstid hvis denne er vesentlig forskjellig fra 35 døgn - angi sementtype, samt evt annet)						
		Støpehud		Sagplate			Sagplate													
		$C_{oD}$	$D_D$	$C_{oD}$	$D_D$		$C_{oD}$	$D_D$												
Kloridbestandighet av kystbruene (1993) (Utført av SINTEF - 32394)	11			0,57	19	40år			0,43		0	69	12,6	2,3	57	*Steinvågsundet bru (overflatebehandlet); (9,5/4) (27/4) (59-81) (46-69) anslått v/c = 0,38-0,48 (middel 0,43) - tynnslip				
		(Resultatene er noe usikre, fordi prøvene ble lagret for lenge før kloridprofilene ble bestemt.)		0,57	30	50 år (betong)			0,49		0	72	13	1,3	26	*Vestnes bru; C45 (9/3) (33/3) (37 år) (bru) (65-84) (23-31) anslått v/c = 0,45-0,50 (middel 0,49) - tynnslip				
		Disse er derfor ikke plottet)		0,51	33,5	26 år			0,4		0	63	13,4	2	25	*Nerlandsøy bru, akse 10; C30-35; (14/6) (29/6) (58-69) (20-31) anslått v/c = 0,35-0,45 (middel 0,40) - tynnslip				
				0,56	34	26 år			0,48		0	59	12,6	2,3	32	*Nerlandsøy bru, akse 11; C30-35; (10/6) (19/6) (52-66) (25-42) anslått v/c = 0,45-0,50 (middel 0,48) - tynnslip				
				0,59	30	11 år			0,5		0	48	12,5	3,1	48	*Runde bru, akse 3; anslått v/c = 0,50 - tynnslip; (6/4) (33/4) (44-51) (38-57) C35				
				0,6	36	11 år			0,55		0	38,5	14,1	3,4	37	*Runde bru, akse 6; anslått v/c = 0,55 - tynnslip; (8,5/3) (14/3) (38-40) (36-37) C35				
				?	15	15 år			0,4		0	37	12,1	3	49	*Hadsel bru, akse 14; C30; (15/?) (29-46) (34-84) anslått v/c = 0,40-0,41 (middel 0,40) - tynnslip				
				?	20	15 år			0,4		0	37	12,1	3	49	*Hadsel bru, akse 15; C30; (11/?) (29-46) (34-84) anslått v/c = 0,40-0,41 (middel 0,40) - tynnslip				
				?	11	12 år			0,36		0	63	11,4	2,3	53	*Gimsøystraumen bru, akse 2; C35; P30; (19/?) (55-71) (33-80) anslått v/c = 0,35-0,40 (middel 0,36) - tynnslip				
				?	7,5	12 år			0,36		0	63	11,4	2,3	53	*Gimsøystraumen bru, akse 4; C35; P30; (8/?) (55-71) (33-80) anslått v/c = 0,35-0,40 (middel 0,36) - tynnslip				
(Utført av G.M. Idorn Consult) (Utført av COWI Consult)				?	12	11 år			0,36		0	62	10,6	3,6	51	*Henningsvær bru, akse 3 N/S; C35; P30; (20/?) (58-67) (38-60) anslått v/c = 0,35-0,40 (middel 0,36) - tynnslip				
				?	6,1	2 år			0,38		5	48	12,1	2,3	36	*Helglandsbrua; C45; (33/?) (42-56) (30-44) anslått v/c = 0,35-0,40 (middel 0,38) - tynnslip				
															For flere: sementtype? nominell v/c? Generelt stor usikkerhet i resultatene, da 4 lab. er delt og ikke alle var kjent med prosedyrene					

22M173 Betongkonstruksjoner i vasslepp				NEDDYKKET KLORIDINNTRENGNING (APM 302 / NT BUILD 43)									
(Fil: "Data_neddykket.xls")				C <sub>0D</sub> = overflatekonsentrasjon [% Cl] D <sub>D</sub> = Diffusjonskoeffisient [10 <sup>-12</sup> m <sup>2</sup> /s]									
2001-01-29				- i parentes er angitt: (variasjonskoeffisient i % / antall parallele prøver)									
Prosjekt-nr og navn	Raf.-nr.	Type prøve			Nør- mal- bitg. (nom. v/c+s)	Leit- bitg. (eff. v/c+s)	Sil- ika- (%) s/ c+s	Trykk- fast- het (MPa)	PF / Kap.abs.		Kommentarer		
		Feltbetong		Alder	Lab.betong							(angi hvis kloridinnhold ikke er bestemt med spektrofotometer - angi eksponeringstid hvis denne er vesentlig forskjellig fra 35 døgn - angi sementtype, samt evt annet)	
		Støpehud	Sagflate		Sagflate								
		C <sub>0D</sub>	D <sub>D</sub>		C <sub>0D</sub>	D <sub>D</sub>							
32530 (1993)	13			1,6 (0/2)	8,5 (0,9/2)	?			?	?	?		""LL1"; sementtype?
				1,56 (4,1/2)	5,9 (18,1/2)	?			?	?	?		""L.K.F.1"; sementtype?
700549 Nordisk ringforsøk (1994) (CBI og AEC har også utført tilsvar- ende prøving)	13					?							*Cementa Anleggningssement **L616-10-1" **L616-12-1" **L616-13-1" **L616-13-2" *Snitt av 4 prøver; Nordtest prosjekt 1154-94 *Kun SINTEF's resultater; Også testet etter 70 og 140 døgns eksponering. Inkl sammen- ligning av spektrofotometer og Volhard titrering
70012/2 (1994)	13			0,98 1,09 1,12 1,06 (6,9/3)	6,5 7,2 7,6 7,1 (7,6/3)			0,42 0,42 0,42 0,42 (?)	0 0 0 0 (?)				*Gullfaks A og C. Litt for små prøvestykker **GFA V/T-8" **GFA V/H-2" **GFA Ø/H-6" *Snitt av 3 kjerner fra Gullfaks A; C55-C60; SP30-4A; har antatt samme masseforhold som for Gullfaks B, siden samme fasthetsklasse **GFC S/H-1" **GFC S/H-3" **GFC N/T-1" *Snitt av 3 kjerner fra Gullfaks C; C65/C70; SP30-4A; typisk masseforhold angitt - ikke målt
70023/2 Bergsøy- sund bru (1994)	13			2,35 (1/2)	2,7 (25/2)	2 år			0,35 (syl.)	5	52,5		*Lightcon; pongtong; LC 55; P30-4A mod.

22M173 Betongkonstruksjoner livslep (Fil: "Data_neddykket.xls")				NEDDYKKET KLORIDINNTRENGNING / APM 302 / NT BUILD 443						- i parentes er angitt: (variasjonskoeffisient i % / antall parallele prøver)												
2001-01-29		$C_{oD}$ = overflatekonsentrasijsjon [% Cl] $D_D$ = Diffusjonskoeffisient [ $10^{-12} \text{ m}^2/\text{s}$ ]				- i parentes er angitt: (variasjonskoeffisient i % / antall parallele prøver)																
Prosjekt-nr og navn	Ref.-nr.	Type prøve				Alder	Lab.betong		$Nor-malbitg.(nom.v/c+s)$	$Left-bit.(eff.v/c+s)$	$Sil-ika(%)$	$Trykk-fast-hets/c+s(MPa)$	PF / Kap.abs.	Kommentar (angis hvis kloridinnhold ikke er bestemt med spektrofotometer - angis eksponeringstid hvis denne er vesentlig forskjellig fra 35 døgn - angis sementtype, samt evt annet)								
		Feltbetong		Sagflate			Lab.betong															
		Støpehud	Sagflate				Sagflate															
		$C_{oD}$	$D_D$	$C_{oD}$	$D_D$		$C_{oD}$	$D_D$														
70019 (1994)	13			1	9,1										"R4N 111.46-3.24"							
Gimsøystraumen bru				0,82	7										"R4N 112.14-3.26"							
				1,58	4,9										"R4S 112.77-2.43"							
				1,13	7	13 år			(?)	0					"Snitt av 3 kjerner; P30; tynnslipanalyse viste v/c = 0,35-0,48 (typisk 0,35-0,40)"							
				(35/3)	(30/3)																	
Shore Approach, Kalstø	19					7 år			0,36	7,5 (syl.)	77	12,9	2,7	70	*Estimert v/c = 0,47-0,54 ut fra sugpor. og m, men < 0,4 ut fra strukturanalyse; P30; **yttersjikt							
70035/2 (1994)	13			0,94	2,8	12 år			0,36	7,5					*Jfr ref. /19/							
Shore Approach				(9,7/6)	(12,1/6)																	
70054/2 (1996)	13														*Betongheller fra Gimsøystraumen bru; undersiden ble eksponert; sementtype?							
				1,27	3,5		?		< 0,4	3,8		14,1	3,8	53	*Ikke sandblåst: kap.abs. i 70054/1R							
				(4,7/3)	(3,2/3)																	
				1,36	3,5		?		< 0,4	3,8		13,8	4	57	*Sandblåst							
				(8,8/4)	(13,3/4)																	
70065 (1996)	13						?	1,4 (10/3)	2 (5/3)	0,45	4,8	78,2			*Mørter tilsett CN (kalksalpeter); jfr 22M008							
															*Ref.; Norcem P30							
							?	1,22 (6,6/3)	2,6 (11,5/3)	0,45	4,8	80,7			*2 % CN, ellers som ref.							
								?	1,36 (11/3)	2,6 (7,7/3)	0,45	4,7	84		*5 % CN, ellers som ref.							
70022 (1994)	13														*Betongblokker prod. i forb. med Aursundet bru							
								1,13 (4,4/3)	5,1 (17,6/3)	28døgn			0,4 (syl.)	3,5 (syl.)	44,2	*MA-betong; Norcem P30; fasthet i 32690						
								1,11 (18,3/3)	3,9 (28/3)	28døgn			0,41	11 (syl.)	45,7	*SA-betong; Norcem P30						

22M173 Betongkonstruksjoner i lysløp				NEDDYKKET KLORIDINNTRENGNING (APM 302 / NT BUILD 443)													
(Fil: "Data_neddykket.xls")				C <sub>0D</sub> = overflatekonsentrasjon [% Cl] D <sub>D</sub> = Diffusjonskoeffisient [10 <sup>-12</sup> m <sup>2</sup> /s]													
2001-01-29				- i parentes er angitt: (variasjonskoeffisient i % / antall parallele prøver)													
Prosjekt- nr og navn	Ref- nr.	Type prøve				Nor- mal bitg. (nom. v/c+s)	Leit- bitg. (eff. v/c+s)	Sil- ika- (%)	Træde- fast- het (MPa)	PF / Kap.abs.		Kommentarer (angt hvis kloridinnhold ikke er bestemt med spektrotometer - angi eksponeringstid hvis denne er vesentlig forskjellig fra 35 døgn - angi sementtype, samt evt annet)					
		Feltbetong		Alder	Lab.betong					sug- por- (%)							
		Støpehud	Sagflate		Sagflate					mak- ropor- (%)		m (10 <sup>6</sup> S/m <sup>2</sup> )					
		C <sub>0D</sub>	D <sub>D</sub>	C <sub>0D</sub>	D <sub>D</sub>												
70010 Aursund bru (1994)	13				?	0,79 (23/2)	15,8 (7,2/2)	0,4	3,5				"MA-Møre&Romsdal (2 syl.); alle 4 betongene er støpt ved Aursund bru m/Norcem P30				
					?	1 (4,9/2)	9,7 (26/2)	0,4	3,5				"MA-Veglab. (2 skiver);				
					?	1,21 (36/2)	2,8 (51/2)	0,41	11				"SA-Møre&Romsdal (2 syl.)				
					?	1,17 (4,2/4)	3,2 (9,5/4)	0,41	11				"SA-Veglab. (2 skiver + 2 kjerner)				
70059/1 Steinvåg- sund bru (1994)	13		0,62 0,8 0,94	16,8 10,5 5,5			0,43	0					"A3" "A4A" "A4B"				
			0,79 (20/3)	10,9 (52/3)	45 år		0,43	0		12,3 <sup>2</sup>	1,6	82	*Snitt av de 3 A-kjernene; u/calsitt; dr.ing. R.H.Relling; jfr 70057; sementtype?				
			0,77 0,77 0,74	5,2 3,5 4,9			0,43	0					"B1A" "B4A" "B4B"				
			0,76 (2,3/3)	4,5 (20/3)	45 år		0,43	0		11,4 <sup>2</sup>	1,4	55	*Snitt av de 3 B-kjernene; m/calsitt; <sup>2)</sup> Varierende steininnhold i prøvene				
70023/1 Boknasund bru (1994)	13	1,3 (-1)	5,3 (-1)	2 (9,5/2)	1,5 (7,1/2)	3 år		0,43 nom.	5,5 (syl.)	75,5	20,3	9,9	117	*Lightcon; område C; P30-4A; v/b=0,35-0,40 ut fra strukturanalysen; v/(c+s) <sub>eff</sub> ?			
70024/1 (1994)	13	0,92 (6/2)	7,5 (5/2)	1,45 (36/2)	1,6 (1/2)	?			0,35	7,5	21,1	10,8	116	*ponglong 8; tynnslip v/c=0,35-0,40; P30-4A/HS65			
Nordhordlandsbrua- pongtonger		0,66 (0/2)	4,3 (22/2)	1,61 (7/2)	1,8 (14/2)	?			0,35	7,5	19,3	10,5	74	*ponglong 10; tynnslip v/c=0,35-0,40; P30-4A/HS65			

22M173 Betongkonstruksjoner /vslap				NEDDYKKET KLORIDINNTRENGNING (APM 302 / NT BUILD 443)											
(Fil: "Data_neddykket.xls")				C <sub>OD</sub> = overflatekonsentrasjon [% Cl] D <sub>D</sub> = Diffusjonskoeffisient [10 <sup>-12</sup> m <sup>2</sup> /s]											
2001-01-29												- i parentes er angitt: (variasjonskoeffisient i % / antall parallele prøver)			
Prosjekt-nr og navn	Ref.-nr	Type prøve				Alder	Lab.betong		Normal bitg.	Leff. bitg.	Sil- ika (%)	Forkl- het	PF / Kap.abs.	Kommentar	
		Feltbetong		Sagflate			Sagflate		(nom. v/c+s)	(eff. v/c+s)	s/ c+s	(MPa)		(angt hvis kloridinnhold ikke er bestemt med spektrotometer - angi eksponeringstid hvis denne er vesentlig forskjellig fra 35 døgn - angi sementtype, samt evt annet)	
		Støpehud	Sagflate				C <sub>OD</sub>	D <sub>D</sub>							
		C <sub>OD</sub>	D <sub>D</sub>												
70024/4 (1994) Nordhordlandsbrua	13	0,91 (-/1)	6,5 (-/1)			6mnd			0,33	7,5 (syl.)	60	17,3	12,9	*Prøveelement ; HS65; ulike lagringsbetingelser jfr 70064/1	
70025/2 (1994) Støvset	13	1,4 (-/1)	6,1 (-/1)			3mnd			0,39	6,5 (syl.)	49,5	21,3	10,4	77 *Prøveelement ; HS65; ulike lagringsbetingelser jfr 70064; v/c tynnslip = 0,40-0,45	
70044/10 Nordhord- landsbrua (1995)	13			1,6 1,69 1,39 1,56 (10/3)	1,7 2,1 3,5 2,4 (38/3)				0,33	7,5 7,5 7,5 7,5				**T1.C* **T7.A* **V28.A* *Snitt av 3 kjerner fra utplasserte prøveelement; HS65; jfr 70064/1 for lagringsbetingelser	
70044/11 Støvset bru (1995)	13			1,8 1,67 1,78 1,75 (4/3)	2,2 2,4 2,3 2,3 (4/3)				0,39	6,5 6,5 6,5 6,5				**T1.2* **V7.1* **V28.1* *Snitt av 3 kjerner fra utplasserte prøveelement; HS65; jfr 70064/2 og 70025/2	
70064/1 Nordhord- landsbrua (1996)	13			1,3 1,46 1,52 1,43 (8/3)	2,6 2,4 2,4 2,5 (4,5/3)				0,33	7,5 7,5 7,5 7,5 (syl.)	70,1 67,3 62,7 66,7			**T1.T(C?) C2* **T7.A C2* **V28.A C2* *Snitt av 3 kjerner fra prøveelementer; HS65; jfr 70024/4 og 70044/10	
70064/2 Støvset bru (1996)	13			1,95 1,81 1,86 1,87 (3,8/3)	2,2 3,1 2,7 2,7 (17/3)				0,39	6,5 6,5 6,5 6,5 (syl.)	67,1 63,7 62,5 64,4			**T1.2 C2* **V7.1 C2* **V28.1 C2* *Snitt av 3 kjerner fra prøveelementer; HS65 ; jfr 70025/2 og 70044/11; antar forfuktet tilslag	
Østmarkneset (1994) (Lightcon)	30			2,87 (6/6)	2,4 (22/6)	1,5 år			0,34	14,4 (t <sub>28</sub> )	43			*Testblokker; 13 mnd. eksponering; prøver tatt ut ca 20 cm fra overflata (ukeksponert); inntil 80 gr. C herdetemperatur	

22M173 Betongkonstruksjoner i livstid				NEDDYKKET KLORIDINNTRENGNING (AFM 3027 NT BUILD 443)												
(Fil: "Data_neddykket.xls")				C <sub>0D</sub> = overflatekonsentrasjon [% Cl] D <sub>D</sub> = Diffusjonskoeffisient [10 <sup>-12</sup> m <sup>2</sup> /s]												
2001-01-30				- i parentes er angitt: (variasjonskoeffisient i % / antall parallele prøver)												
Prosjekt- nr og navn	Ref. nr.	Type prøve				Nor- mal vgt	Lett- vgt	Sil- ika	Trykk- fast- het	PF /		Kap.abs.	(angi hvis kloridinnhold ikke er bestemt med spektrofotometer - angi eksponeringstid hvis denne er vesentlig forskjellig fra 35 døgn - angi sementtype, samt evt annet)			
		Feltbetong		Lab.beton g	Lab.beton g	Alder	Sagplate		(nom. v/c+s)	(eff. v/c+s)	s/ c+s	(MPa)	EUG- por. (%)	mak- ropor. (%)	t (10 <sup>6</sup> S/m)	
		Støpeb ud			Sagplate		Sagplate									
		C <sub>0D</sub>	D <sub>D</sub>		C <sub>0D</sub>	D <sub>D</sub>	C <sub>0D</sub>	D <sub>D</sub>								
70114 (1998)	40				0,71	4,09									*Prøve 205 A	
					0,50	6,03									*Prøve 205 B	
					0,62	2,71									*Prøve 205 C	
					0,63	2,84									*Prøve 205 D	
					0,68	3,02									*Prøve 245 A	
					0,81	1,21									*Prøve 245 B	
					0,63	3,19									*Prøve 245 C	
					0,45	3,58									*Prøve 245 D	
70126 (1999)	41															
Lettkon DP3																
					1,43	1,74			0,38	7,7					*Stolmasundet, ref 2A - II A	
					1,39	1,56			0,38	7,7					*Stolmasundet, ref 2B - IIB	
					1,50	1,62			0,38	5,8					*Stolmasundet, isolert, 2A - IIA	
					1,84	2,10			0,38	5,8					*Stolmasundet, isolert, 2B - IIB	
					1,52	1,22			0,38	5,8					*Raftsundet, støpt, 2A - 1A	
					1,52	1,25			0,38	5,8					*Raftsundet, støpt, 2A - 1B	
					1,52	1,50			0,38	5,8					*Raftsundet, støpt 2B - 1A	
					1,62	1,31			0,38	5,8					*Raftsundet, støpt 2B - 1B	
					1,11	2,04			0,38	5,8					*Raftsundet, ref 1A - 1	
					1,55	1,45			0,38	5,8					*Raftsundet, ref 1A - 2	
					1,28	3,67			0,38	5,8					*Raftsundet, isolert 1B - 1	
					1,29	4,26			0,38	5,8					*Raftsundet, isolert 1B - 2	
70107 (1998)	39															
SVV, Bruavdelingen																
					0,71	48,10			0,78	41,00	0,56	0	13,5/12,9	2,8 / 3,2		*Resept 1
					(0,060 / 4)	(5,4 / 4)			(0,159 / 4)	(9,7 / 4)						
					0,75	12,50			0,75	14,50	0,47	3,8	13,7/13,3	1,9		*Resept 2

22M173 Betongkonstruksjoners livsløp (Fil: "Data_neddykket.xls")				NEDDYKKET KLORIDINNTRENGNING (APM 302 / NT BUILD 43)									
				$C_{OD}$ = overflatekonsentrasjon [% Cl]								- i parentes er angitt: (variasjonskoeffisient i % / antall parallele prøver)	
2001-01-30				$D_D$ = Diffusjonskoeffisient [ $10^{-12} \text{ m}^2/\text{s}$ ]								- i parentes er angitt: (variasjonskoeffisient i % / antall parallele prøver)	
Prosjekt-nr og navn	Ref.nr	Type prøve				Normalbitg.				PF / Kap.abs.			
		Feltbetong		Lab.betong		Alder	Sagliste		Trykkfasthet		Sugper	Makropor.	m ( $10^{-6} \text{ S/m}^2$ )
		Støpehud	Sagliste				$C_{OD}$	$D_D$			(%)	(%)	
							v/c+s	v/c+s	s/c+s	(MPa)			
70107 (1998) SVV, Bruavdelingen (forts.)	39			(0,059 / 4)	(1,5 / 4)		(0,067 / 4)	(1,3 / 4)					
				1,06	8,20		0,81	12,90	0,47		8,3		15,3
				(0,188 / 4)	(2,2 / 4)		(0,126 / 4)	(7,3 / 4)					
				1,00	3,20		0,76	4,10	0,44		8,2		13,3/12,9
				(0,018 / 4)	(0,3 / 4)		(0,106 / 4)	(1,1 / 4)					2,4/2,0
				0,82	4,80		0,76	4,40	0,42		3,8		12,7/12,4
				(0,027 / 4)	(0,3 / 4)		(0,099 / 4)	(0,5 / 4)					*Resept 5
				0,85	4,90		0,93	5,10	0,44		8,2		14,5/13,3
				(0,163 / 4)	(1,6 / 4)		(0,082 / 4)	(0,8 / 4)					*Resept 6
				0,92	3,90		1,03	3,80	0,40		3,8		13,3/13,0
				(0,142 / 4)	(0,5 / 4)		(0,097 / 4)	(0,4 / 4)					*Resept 7
				0,95	4,40		0,89	4,00	0,52		4,7		14,4/14,2
				(0,178 / 4)	(1,9 / 4)		(0,110 / 4)	(0,7 / 4)					*Resept 8
				0,85	1,90		0,68	2,80	0,32		8,2		12,9/11,7
				(0,127 / 4)	(0,5 / 4)		(0,055 / 4)	(0,3 / 4)					*Resept 9
				0,52	3,40		0,60	2,90	0,33		8,2		11,5/12,6
				(0,037 / 4)	(0,7 / 4)		(0,036 / 4)	(0,2 / 4)					*Resept 10
				0,76	3,40		0,83	3,30	0,40		4,7		14,1/13,6
				(0,037 / 4)	(0,2 / 4)		(0,180 / 4)	(1,2 / 4)					*Resept 11
				0,70	4,40		0,64	4,50	0,41		4,7		12,8/11,5
				(0,073 / 4)	(0,9 / 4)		(0,084 / 4)	(0,7 / 4)					*Resept 12
				1,47	1,50		1,38	1,60		0,39	5,5		14,0/14,4
				(0,107 / 4)	(0,1 / 4)		(0,093 / 4)	(0,2 / 4)					*Resept 13
				2,59	1,70		2,56	2,00		0,41	7,7		17,5/16,0
				(0,198 / 4)	(0,2 / 4)		(0,0222 / 4)	(0,2 / 4)					13,0/16,3
													*Resept 14

## **Vedlegg 3:**

### **Data, kloridpåsprøyting**

**(Fil:"Data, påsprøyting.xls")**

ZM173 Betongkonstruksjoners livsløp (Fil:"Data, påsprøyting.xls")				KLORIDPÅSPRØYTING (intern SINTEF prosedyre KS70-116)													
				$C_{os} = \text{overflatekonsentrasi} \text{on} [\% \text{ Cl}]$								- i parentes er angitt: (variasjonskoeffisient i % / antall parallele prøver)					
2001-01-29				$D_s = \text{Påsprøytingskoeffisient} [10^{-12} \text{ m}^2/\text{s}]$								- i parentes er angitt: (variasjonskoeffisient i % / antall parallele prøver)					
Prosjekt- nr og navn	Ref. nr.	Type prøve				Nor- mal- btg.	Leu- ktg.	Sle- ika	Trykk- fast- het	PF / Kap.abs.		Kommentarer					
		Feltbetong		Aldar	Lab.betong					stug- por.	mak- opor.	m (10^6 s/m^2)					
		Steinheit	Sagplate		Sagplate												
		$C_{os}$	$D_s$		$C_{os}$	$D_s$	v/c+s)	(eff. v/c+s)	(%)	(MPa)	(%)	(%)	(10^6 s/m^2)	(angi hvis kloridinnhold ikke er bestemt med spektrofotometer - angi eksponeringstid hvis denne <b>avviker mye fra 42 døgn</b> - angi om <b>belegg/impregn.</b> - angi <b>sementtype</b> )			
Nordtest - ringforsøk (1993)	1			8 mnd										*ref.btg.ihht NS 3099; sementtype?			
					0,38	21,5	0,6		0					*DTI; Volhard-titrering			
					(0,2)	(7,0/2)											
					0,25	21,8	0,6		0					*SINTEF			
					(8,0/3)	(10,1/3)											
					0,3	21,7	0,6		0					*Snitt av 2 laboratorier			
					(24,0/5)	(8,3/5)											
Kloridbestandig betong (1996)	2			90			(eff. v/c+s)							*17 ulike resepter inkl ulike "TSS"; innendørs lagrede ref.elementer (vegg); <sup>1</sup> = est. v/b - kap.abs.			
				døgn			0,51		0	12,3	2,3	39		*resept A (A-ref.); P30; tidligere normalbetong for bruer; ( $v_i = 21,1 \cdot 10^6 \text{ g/m}^2\text{s}$ )			
					0,48	9,6		(0,48) <sup>1</sup>						*resept B (B-ref.); P30; C45-MA i hht Prosess- kode 2 1989; ( $v_i = 18,5 \cdot 10^6 \text{ g/m}^2\text{s}$ )			
					(24,6/3)	(10,4/3)								*resept O (B-HS.); HS-65; ( $v_i = 12,4 \cdot 10^6 \text{ g/m}^2\text{s}$ )			
					0,67	3,4		0,38	4	11,2	4,2	77		*resept E (B-MP.); MP-30; ( $v_i = 15,8 \cdot 10^6 \text{ g/m}^2\text{s}$ )			
					(8,7/3)	(16,3/3)		(0,40) <sup>1</sup>						*resept D (B-SR.); SR; ( $v_i = 13,6 \cdot 10^6 \text{ g/m}^2\text{s}$ )			
					0,53	2,6		0,4	4	10,6	4,1	116		*resept F (S-ref.); P30; ( $v_i = 14,0 \cdot 10^6 \text{ g/m}^2\text{s}$ )			
					(6,1/3)	(5,9/3)		(0,37) <sup>1</sup>						*resept G (S-45); P30; ( $v_i = 13,3 \cdot 10^6 \text{ g/m}^2\text{s}$ )			
					0,67	2,8		0,39	3,4	11,9	1,8	174		*resept J (S-33); P30; ( $v_i = 12,1 \cdot 10^6 \text{ g/m}^2\text{s}$ )			
					(14,2/3)	(27,5/3)		(0,40) <sup>1</sup>									
					0,58	2,6		0,39	7,3	12,3	3,6	108					
					(13,8/3)	(15,7/3)		(0,41) <sup>1</sup>									
					0,75	1,7		0,42	11	14,8	1,2	191					
					(14,1/3)	(5,9/3)		(0,44) <sup>1</sup>									
					0,57	2,6		0,46	9,1	12,6	1,7	259					
					(5,3/3)	(14,9/3)		(0,44) <sup>1</sup>									
					0,61	1,9		0,34	6,2	11,9	1,6	145					
					(13,3/3)	(4,7/3)		(0,36) <sup>1</sup>									

2001/2 Betongkonstruksjoner i vvsrap										KLORIDPÅSPRØTING (intern SINTEF-prosedyre KS70 (16))									
(Fil:"Data, påsprøting.xls")										C <sub>os</sub> = overflatekonsentrasjon [% Cl] D <sub>s</sub> = Påsprøytingskoeffisient [10 <sup>-12</sup> m <sup>2</sup> /s]									
2001-01-29										- i parentes er angitt: (variasjonskoeffisient i % / antall parallele prøver)									
Prosjekt-nr og navn	Ref.-nr.	Type prøve								Nor- mal- bitg. (nom. v/c+s)	Lett- bitg. (eff. v/c+s)	Sil- ika	Trykk- fest- het (MPa)	PF / Kap.abs.			Kommentarer		
		Feltbetong																(angi hvis kloridinnhold ikke er bestemt med spektrofotometer - angi eksponeringstid hvis denne avviker mye fra 42 døgn - angi om belegg/impregn. - angi sementtype)	
		Steinplatte	Sagplate		Alder	Sagplate				C <sub>os</sub>	D <sub>s</sub>								
Kloridbestandighet av kystbruer (1993) (Utført av SINTEF - 32394)	11			0,39 (9/4)	5,5 (30/4)	40år				0,43 (?)		0	69 (59-81)	12,6	2,3	57 (46-69)		*Steinvågsundet bru (overflatebehandlet); anslått v/c = 0,38-0,48 (middel 0,43) - tynnslip	
				0,37 (9/3)	25 (76/3)	50 år (37 år)	(betong) (bru)			0,49 (?)		0	72 (65-84)	13	1,3	26 (23-31)		*Vestnes bru; C45 anslått v/c = 0,45-0,50 (middel 0,49) - tynnslip	
				0,39 (9/3)	41 (33/3)	26 år				0,4 (?)		0	63 (58-69)	13,4	2	25 (20-31)		*Nerlandsøy bru, akse 10; C30-35; anslått v/c = 0,35-0,45 (middel 0,40) - tynnslip	
				0,36 (10/2)	14 (45/2)	26 år				0,48 (?)		0	59 (52-66)	12,6	2,3	32 (25-42)		*Nerlandsøy bru, akse 11; C30-35; anslått v/c = 0,45-0,50 (middel 0,48) - tynnslip	
				0,36 (10/3)	11 (38/3)	11 år				0,5 (?)		0	48 (44-51)	12,5	3,1	48 (38-57)		*Runde bru, akse 3; anslått v/c = 0,50 - tynnslip; C35	
				0,38 (10,5/3)	22 (13/3)	11 år				0,55 (?)		0	38,5 (38-40)	14,1	3,4	37 (36-37)		*Runde bru, akse 6; anslått v/c = 0,55 - tynnslip; C35: For flere bruer: sementtype? nom. v/c?	
32530/2 (1993)	13			1,1 (0/2)	4,6 (15/2)	?				?	?	?						**L.L.1"; sementtype?; antar lettbetong	
				1,1 (0/2)	4 (5/2)	?				?	?	?						**L.K.F.1"; sementtype?; antar lettbetong	
70023/1 Boknasund bru (1994)	13	0,56 (-1)	7 (-1)			3 år				0,43 norm.	5,5 (syl.)	75,5	20,3	9,9	117		*Lightcon; område C; P30-4A; v/b=0,35-0,40 ut fra strukтурanalysen; v/(c+s) <sub>eff</sub> ?		
32585 Røssøystraumen bru (1993)	13	?	?			?				0,4 (?)		0?					*3 kjerner merket hhv "Rø1A, Rø3A og Rø5A" *3 kjerner merket hhv "Rø2A, Rø4A og Rø6A" Konstruksjonen har belegg på overflata. Det er ikke beregnet koefisienter, siden prøvene hadde et visst kloridprofil før eksponering; v/ $\bar{Q}_{dp}$ ca 0,40		
32696/1-3 Troll olje (1994)	13					70	0,53 døgn ved start	1,3 (21/3) (22/3) 1,4 (7/3) (10/3)	0,38 (MND)	4,7 (syl.)	84						*Betongblokk; Norcem HS65 *Betongblokk; Norcem HS65; MND-betong; estimert effektivt masseforhold er oppgitt		

23M173 Betongkonstruksjoners livsløp				KLORIDPÅSPRØTING (intern SINTEF-prosedyre KS70-16)																
(Fil:"Data, påsprøyting.xls")				C <sub>OS</sub> = overflatekonsentrasjon [% Cl] D <sub>S</sub> = Påsprøytingskoeffisient [10 <sup>-12</sup> m <sup>2</sup> /s]																
2001-02-01				- i parentes er angitt: (variasjonskoeffisient i % / antall parallele prøver)																
Prosjekt-nr og navn	Felt nr:	Type prøve				Nor- mal btg. (nom.)	Let- btg. (eff.)	Sif- ika	Trykk- fast- het	PF / Kap.abs.		Kormentarer								
		Feltbetong		Alder	Lab.betong					sug- por (%)	mak- opor (%)	m (10 <sup>-12</sup> m <sup>2</sup> /s)								
		Støpehud	Sagplate		Sagplate															
		C <sub>OS</sub>	D <sub>S</sub>		C <sub>OS</sub>	D <sub>S</sub>														
70005rev. (1993)	13				2 år	0,34	75	0,6	0	38			*Betongblokker lagret tørt i ca 2 år; sementtype?							
						(3/3)	(33/3)						*Referansebetong (ubehandlet)							
					2 år	0,15	1,5	0,6	0				*Ref.btg. impregnert med...							
						(11,5/3)	(52/3)													
70009 (1993)	13				2 år?	0,34	106	0,6	0	39			*Betongblokker lagret tørt i ca 2 år?; sementtype?							
						(9/3)	(31/3)						*Referansebetong (ubehandlet)							
					2 år?	0,15	54	0,6	0				*Ref.btg. impregnert med ...							
						(6,5/3)	(15/3)													
					2 år?	0,09	6,7	0,6	0				*Ref.btg. impregnert med ...							
						(16/3)	(63/3)													
70010 Aursund bru (1994)	13			?	0,39	9,6	0,4	3,5					*MA-Møre&Romsdal (2 syl.);							
						(9/2)	(5/2)													
				?	0,4	9,4	0,4	3,5					*MA-Veglab. (2 skiver);							
						(2/2)	(37/2)													
				?	0,67	2,9	0,41	11					*SA-Møre&Romsdal (2 syl.)							
						(27/2)	(54/2)													
				?	0,51	2,6	0,41	11					*SA-Veglab. (2 skiver + 2 kjerner)							
						(13,5/4)	(26/4)						*Alle betonger er støpt ved Aursund bru m/P30							
70014/1-6 (1994)	13			>3mnd (i luft)			0,4**	5	75 <sup>1</sup>				*Veglab's MA-betong; **v/(c+2s); tern.28 d;							
						0,07	7,6	0,4**	5				P30; 5 % luft; ref.betong brukt i alle forsøk							
						(38/3)	(37/3)						*Ref.btg. impregnert med ...;							
						0,16	0,5	0,4**	5				(v <sub>i</sub> = 2,1 10 <sup>-6</sup> g/m <sup>2</sup> s (37/3))							
						(71/3)	(68/3)						*Ref.btg. impregnert med ...;							
													(v <sub>i</sub> = 1,4 10 <sup>-6</sup> g/m <sup>2</sup> s (11/3))							

22M173 Betongkonstruksjoners levetid				KLORIDPÅSPRØYTING (intern SINTEF-prosedyre KS70-116)													
(Fil:"Data, påsprøyting.xls")				C <sub>os</sub> = overflatekonsentrasjon [% Cl] D <sub>s</sub> = Påsprøytingskoeffisient [10 <sup>-12</sup> m <sup>2</sup> /s]													
2001-01-30				- i parentes er angitt: (variasjonskoeffisient i % / antall parallele prøver)													
Prosjekt-nr og navn	Ref.-nr:	Type prøve				Nor- mal- btg.	Led- btg.	Sil- ika	Trykk- fast- het	PF / Kap.abs.		Kommentar(er)					
		Feltbetong		Alder	Lab.betong		(nom. v/c+s)	%	(MPa)	Sug- por.	Mak- rapor.	m <sup>2</sup> (10 <sup>-12</sup> )	(angi hvis kloridinnhold ikke er bestemt med <b>spektrofotometer</b> - angi eksponeringstid hvis denne <b>avviker mye fra 42 døgn</b> - angi om <b>belegg/impregn.</b> - angi <b>sementtype</b> )				
		Støpehud	Sagflate		Sagflate												
		C <sub>os</sub>	D <sub>s</sub>		C <sub>os</sub>	D <sub>s</sub>											
70014/1-6 (1994)	13			>3mnd	0,18	1,3	0,4**	5					*Ref.btg. impregnert med ...;				
(forts.)				(i luft)	(33/3)	(25/3)							(vi = 2,4 10 <sup>-6</sup> g/m <sup>2</sup> s (17/3)); **v/(c+2s); P30				
					0,07	4,8	0,4**	5					*Ref.btg. impregnert med ...;				
					(9/3)	(36/3)							820E"; (vi = 1,8 10 <sup>-6</sup> g/m <sup>2</sup> s (11/3))				
					0,07	3,3	0,4**	5					*Ref.btg. impregnert med ...;				
					(38/3)	(87/3)							300E"; (vi = 1,5 10 <sup>-6</sup> g/m <sup>2</sup> s (8/3))				
					0,11	3,1	0,4**	5					*Ref.btg. impregnert med ...;				
					(36/3)	(32/3)							(vi = 2,2 10 <sup>-6</sup> g/m <sup>2</sup> s (15/3))				
70016/1-2/rev (1994)	13			>3mnd	0,3	6,5	0,4**	5	75 <sup>1</sup>				*Veglab's MA-betong; **v/(c+2s); tern.28 d'; P30;				
				(i luft)	(5/3)	(22/3)							5 % luft; ubeh.ref.betong; (vi = 9,3 10 <sup>-6</sup> g/m <sup>2</sup> s (13/3))				
					0,09	2,9	0,4**	5					*Ref.btg. impregnert med ...;				
					(22/3)	(84/3)							(vi = 1,8 10 <sup>-6</sup> g/m <sup>2</sup> s (17/3))				
70016/3-4/rev (1994)				>3mnd	0,44	6,8	0,45	5	75 <sup>1</sup>				*MA-betong i hht NS 3420; tern.28 d'; P30;				
				(i luft)	(2,5/3)	(11/3)							ubeh.ref.betong; (vi = 14,7 10 <sup>-6</sup> g/m <sup>2</sup> s (4/3))				
					0,14	3,5	0,45	5					*Ref.btg. impregnert med...;				
					(44/3)	(65/3)							(vi = 2,8 10 <sup>-6</sup> g/m <sup>2</sup> s (31/3))				
70017/1-5 (1995)	13			>3mnd	0,18	2,8	0,4**	5					*Ref.btg. impregnert med...;				
				(i luft)	(40/3)	(59/3)							(vi = 2,9 10 <sup>-6</sup> g/m <sup>2</sup> s (8/3)); **v/(c+2s); P30				
					0,15	2	0,4**	5					*Ref.btg. impregnert med ...;				
					(35/3)	(66/3)							(vi = 2,2 10 <sup>-6</sup> g/m <sup>2</sup> s (10/3))				
					0,06	2,6	0,4**	5					*Ref.btg. impregnert med...;				
					(24/3)	(25/3)							150"; (vi = 1,5 10 <sup>-6</sup> g/m <sup>2</sup> s (5/3))				
					0,15	2,9	0,4**	5					*Ref.btg. impregnert med ...;				
					(78/3)	(97/3)							(vi = 2,2 10 <sup>-6</sup> g/m <sup>2</sup> s (20/3))				
					0,14	2,8	0,4**	5					*Ref.btg. impregnert med ...;				
					(56/3)	(88/3)							(vi = 2,3 10 <sup>-6</sup> g/m <sup>2</sup> s (16/3))				

Kloridpåsprøyting (intern SINTEF-prosedyre KS79-116)										
(Fil:"Data, påsprøyting.xls")				$C_{os} = \text{overflatekonsentrasjon } [\% \text{ Cl}]$				- i parentes er angitt: (variasjonskoeffisient i % / antall parallele prøver)		
2001-01-30				$D_s = \text{Påsprøytingskoeffisient } [10^{-12} \text{ m}^2/\text{s}]$				- i parentes er angitt: (variasjonskoeffisient i % / antall parallele prøver)		
Prosjekt-nr og navn	Prøfnr	Type prøve				Norm. betg.	Leit. betg.	Cl <sup>-</sup> i ka	Trykkfasthet	
		Feltbetong		Alder	Lab.betong		(nom.)	(eff.)	Trykkfasthet	
		Støpehud	Sagflatte		Sagflatte		(v/c+s)	(%)	sugpor.	
							(MPa)	(%)	mater. rapport (10 <sup>-5</sup> s/m <sup>2</sup> )	
70021-3 (1995)	13			>3mnd	0,2 (i luft) (2/3)	31 (10/3)	0,4** 0,32 (13/3)	5 5	75 <sup>1</sup>	*Veglab's MA-betong; **v/(c+2s); tern.28 d <sup>1</sup> ; P30;
										5 % luft; ubeh.ref.betong; (vi = 13,2 10 <sup>-6</sup> g/m <sup>2</sup> s (5/3))
										*Ref.btg. impregnert med ...; (vi = 7,3 10 <sup>-6</sup> g/m <sup>2</sup> s (12/3)); inkl gen.komm.
70029 (1995)	13			>3mnd	0,05 (i luft) (38/3)	2,2 (71/3)	0,4**	5	75 <sup>1</sup>	*Ref.btg. impregnert med ...; (vi = 1,7 10 <sup>-6</sup> g/m <sup>2</sup> s (15/3)); **v/(c+2s); tern.28d <sup>1</sup>
70041 (1995)	13			1år(50) % RF)	---	<1**?	0,4**	5	75 <sup>1</sup>	*Ref.btg. impregnert med ...; **v/(c+2s); tern.28d <sup>1</sup> ;
70042 (1995)	13			1år(50) % RF)	0,05 (19/3)	14,3 (34/3)	0,4**	5	75 <sup>1</sup>	*Ref.btg. impregnert med ...; (vi = 2,4 10 <sup>-6</sup> g/m <sup>2</sup> s (14/3)); **v/(c+2s); tern.28d <sup>1</sup>
70048 (1995)	13			1år(50) % RF)	---	<1**?	0,4**	5	75 <sup>1</sup>	*Ref.btg. impregnert med ...; P30; **v/(c+2s); tern.28d <sup>1</sup> ; Beregning umulig pga for lav inntrængningsdybde
70067/1 (1996)	13			ca 2 mnd (10/3)	0,29 (17/3)	5,8 (17/3)	0,43	0	58,2 <sup>1</sup>	*Ref.beton; resept m.m. gitt i 32791; Norcem Std.sem.; lo pros. for påføring av overflatebeh. hhv på "tørr" og "overflatetørr" betongoverflate (i Ca(OH) <sub>2</sub> +1/2l i luft); (vi = 9,0 10 <sup>-6</sup> g/m <sup>2</sup> s (5/3));
OFU Gimsøy- straumen bru				(14dgn u/plast så ulike fukt- tilst- ander)						*Ref.btg. impregnert med ...; "over- flatetørr"; (vi = 1,7 10 <sup>-6</sup> g/m <sup>2</sup> s (11/3));
										*Ref.btg. impregnert med ...; "over- flatetørr"; (vi = 0,9 10 <sup>-6</sup> g/m <sup>2</sup> s (11/3));
										*Ref.btg. impregnert med ...; "tørr"; (vi = 1,3 10 <sup>-6</sup> g/m <sup>2</sup> s (22/3));
										*Ref.btg. impregnert med ...; "over- flatetørr"; (vi = 2,0 10 <sup>-6</sup> g/m <sup>2</sup> s (12/3));
										**Beregning umulig pga for lav inntr.dybde

7279173 Betongkonstruksjoner /v/slap				KLORIDPÅSPRØYTING (intern SINTEF-prosedyre KS70 116)												
(Fil:"Data, påsprøyting.xls")				$C_{os}$ = overflatekonsentrasjon [% Cl <sup>-</sup> ]								- i parentes er angitt: (variasjonskoeffisient i % / antall parallele prøver)				
2001-01-30				$D_s$ = Påsprøytingskoeffisient [ $10^{-12} \text{ m}^2/\text{s}$ ]								- i parentes er angitt: (variasjonskoeffisient i % / antall parallele prøver)				
Prosjekt-nr og navn	Ref.-nr.	Type prøve				Nor-mal-bid	Tet-tig-ka	Sil-ka	Trykk-fast-het	PF / Kap.abs.			Kommentarer			
Feltbetong				Lab.betong		Alder		Sagflate		(norm. v/c+s)	(eff. v/c+s)	(%)	(MPa)	sug-por. (%)	maks. (tern.)	(10 <sup>-12</sup> s/m <sup>2</sup> )
Støpehud				Sagflate												
		$C_{os}$	$D_s$	$C_{os}$	$D_s$											
70067/2 (1996)	13			ca 2											"Som 70067/1, men dobbel eksponeringstid"	
OFU Gimsøy-straumen bru				mnd	0,3	6	0,43		0	58,2 <sup>1</sup>					*Ref.betong; resept m.m. gitt i 32791; Norcem	
				(14dgn)	(17/3)	(16/3)				(tern.)					Std.sem.; to pros. for påføring av overflatebeh.	
				u/plast						28d)					hhv på "tørr" og "overflatetørr" betongoverflate (i Ca(OH) <sub>2</sub> +1/2t i luft); (vi = 6,8 10 <sup>-6</sup> g/m <sup>2</sup> s (10/3));	
				så ulike											*Ref.btg. impregnert med ...; "tørr"; (vi = 0,9 10 <sup>-6</sup> g/m <sup>2</sup> s (33/3));	
				fukt-	0,08	<1**?	0,43		0						*Ref.btg. impregnert med ...; "over- flatetørr"; (vi = 1,3 10 <sup>-6</sup> g/m <sup>2</sup> s (26/3));	
				tilst-	(38/3)										*Ref.btg. impregnert med ...; "tørr"; (vi = 0,9 10 <sup>-6</sup> g/m <sup>2</sup> s (38/3));	
				ander)	0,09	<1**?	0,43		0						*Ref.btg. impregnert med ...; "over- flatetørr"; (vi = 1,3 10 <sup>-6</sup> g/m <sup>2</sup> s (35/3));	
					(22/3)										**Beregning umulig pga for lav inntr.dybde	
					0,06	<1**?	0,43		0							
					(34/3)											
					0,09	<1**?	0,43		0							
					(22/3)											
70067/3 (1996)	13			ca 2			0,43		0	58,2 <sup>1</sup>					"Som 70067/1, men tredje prosedyre for fukt-tilstand før overflatebehandling: i Ca(OH) <sub>2</sub>	
OFU Gimsøy-straumen bru				mnd						(tern.)					+ 7 døgn i 50 % RF	
				(14dgn)						28d)					*Ref.btg. impr. med ...; (50 % av normaldosering); (vi = 1,0 10 <sup>-6</sup> g/m <sup>2</sup> s)	
				u/plast	0,04	<1**?	0,43		0						*Ref.btg. impr. med ...; (100 % av normaldosering); (vi ca. 0)	
				så ulike	(75/3)										*Ref.btg. impr. med ...; (200 % av normaldosering); (vi ca. 0)	
				fukt-	0,01	<1**?	0,43		0						*Ref.btg. impr. med ...; (50 % av normaldosering); (vi ca. 0)	
				tilst-	(100/3)										*Ref.btg. impr. med ...; (100 % av normaldosering); (vi ca. 0)	
				ander)	0,01	<1**?	0,43		0						*Ref.btg. impr. med ...; (200 % av normaldosering); (vi ca. 0)	
					(0/3)											
					0,01	<1**?	0,43		0							
					(0/3)											
					0,01	<1**?	0,43		0							
					(100/3)											

22M172 Betongkonstruksjoner i vyslop				KLORIDPÅSPRØYTING (intern SINTEF-prosedyre) (KS70-116)											
				$C_{os}$ = overflatekonsentrasjon [% Cl]								- i parentes er angitt: (variasjonskoeffisient i % / antall parallelle prøver)			
2001-01-30				$D_s$ = Påsprøytingskoeffisient [ $10^{-12} \text{ m}^2/\text{s}$ ]								- i parentes er angitt: (variasjonskoeffisient i % / antall parallelle prøver)			
Prosjekt-nr og navn	Prøf-nr	Type prøve				Norm. betg.				Sif-ka	Trykk-test-het	PF / Kap.abs.		Kommentarer	
		Feltbetong		Alder	Lab.betong		(nom.)	(eff.)	%			sgt	maks	( $10^{-6}$ )	
		Støpehud	Sagflate		Sagflate							por.	rapor.	s/(m <sup>2</sup> )	
		$C_{os}$	$D_s$	$C_{os}$	$D_s$		v/c+s)	(v/c+s)	(%)	(MPa)					
70067/3 (1996)	13														**Beregning umulig pga for lav innr.dybde
OFU Gimsøy-straumen bru (forts.)					0,01 (0/3)	<1***?	0,43		0						*Ref.btg. impr. med ...; (200 % av normaldosering); (vi ca. 0)
					0,01 (?/3)	<1***?	0,43		0						*Ref.btg. impr. med ...; (50 % av normaldosering); (vi ca. 0)
					0,01 (?/3)	<1***?	0,43		0						*Ref.btg. impr. med ...; (100 % av normaldosering); (vi ca. 0)
					0,01 (?/3)	<1***?	0,43		0						*Ref.btg. impr. med ...; (200 % av normaldosering); (vi ca. 0)
					0,02 (100/3)	<1***?	0,43		0						*Ref.btg. impr. med ...; (50 % av normaldosering); (vi ca. 0)
					0,01 (0/3)	<1***?	0,43		0						*Ref.btg. impr. med ...; (100 % av normaldosering); (vi ca. 0)
					0,01 (0/3)	<1***?	0,43		0						*Ref.btg. impr. med ...; (200 % av normaldosering); (vi ca. 0)
					0,01 (0/3)	<1***?	0,43		0						*Ref.btg. impr. med ...; (50 % av normaldosering); (vi ca. 0)
					0,01 (0/3)	<1***?	0,43		0						*Ref.btg. impr. med ...; (200 % av normaldosering); (vi ca. 0)
					0,01 (0/3)	<1***?	0,43		0						*Ref.btg. impr. med ...; (100 % av normaldosering); (vi ca. 0)
					0,01 (0/3)	<1***?	0,43		0						*Ref.btg. impr. med ...; (200 % av normaldosering); (vi ca. 0)
					0,23 (22/3)	6,2 (14/3)	0,43		0						*Ref.btg. impr. med ...;(50 % av normaldosering); (vi= $7,8 \cdot 10^{-6} \text{ g/m}^2\text{s}$ (14/3));
					0,26 (8/3)	4,8 (40/3)	0,43		0						*Ref.btg. impr. med ...; (100 % av normaldosering); (vi= $7,9 \cdot 10^{-6} \text{ g/m}^2\text{s}$ (29/3));
					0,21 (19/3)	1,9 (10/3)	0,43		0						*Ref.btg. impr. med ...; (200 % av normaldosering); (vi= $4,1 \cdot 10^{-6} \text{ g/m}^2\text{s}$ (16/3));

22M/73 Betongkonstruksjoners livsløp										KLORIDPÅSPRØYTING (intern SINTEF prosedyre KS70-116)													
(Fil:"Data, påsprøyting.xls")										$C_{os}$ = overflatekonsentrasjon [% Cl <sup>-</sup> ]													
2001-01-30										$D_s$ = Påsprøytingskoeffisient [ $10^{-12} \text{ m}^2/\text{s}$ ]													
										- i parentes er angitt: (variasjonskoeffisient i % / antall parallele prøver)													
										- i parentes er angitt: (variasjonskoeffisient i % / antall parallele prøver)													
Prosjekt-nr og navn	Ref.nr.	Type prøve				Nor-ma-tig	lett-btg.	Sif-ka	T tykk-fast-het	PF / Kap.abs.				Kommentarer									
														(angi hvis kloridinnhold ikke er bestemt med spektrofotometer - angi eksponeringstid hvis denne avviker mye fra 42 døgn - angi om belegg/impregn. - angi sementtype)									

ZNM172 Betongkonstruksjoners livslapp										KLORIDPÅSPRØYTING (intern SINTEF-prosedyre KS70-116)									
(Fil:"Data, påsprøyting.xls")										C <sub>os</sub> = overflatekonsentrasjon [% Cl <sup>-</sup> ] D <sub>s</sub> = Påsprøytingskoeffisient [10 <sup>-12</sup> m <sup>2</sup> /s]									
2001-01-30										- i parentes er angitt: (variasjonskoeffisient i % / antall parallele prøver)									
Prosjekt-nr og navn	Felt-nr	Type prøve	Feltbetong				Lab.betong		Normaltig	Cett-ika	Slik-fest-het	PF / Kap.abs.			Kunnskapsfel				
			Stepehud	Sagflata	Alder	Sagflate	C <sub>os</sub>	D <sub>s</sub>	(nom.) (v/c+s)	(eff.) (v/c+s)	(%)	(MPa)	sug. (por.)	mak. (%)	m (10 <sup>-12</sup> s/m <sup>2</sup> )				
70066 (1996)	63	x				2 år	0,35	18,7	0,45		5								*Etter metning i Ca(OH) <sub>2</sub> -løsning: sandblåst og tørket
							(5,7 / 3)	(30,5 / 3)											1 time i klimarom ved 50% RF og 20 grader
																			For liten innretning i behandlete prøvestykker
70084 (1997)	33	x				1 år													
							0,284	15,13	0,45		0								*Referanseprøvestykker
							(0,02 / 3)	(1,78 / 3)											
							0,2	11,83	0,45		0								*Behandlet med ...
							(0,01 / 3)	(3,0 / 3)											
70073 (1996)	65	x				18 mnd													
							0,35	18,7	0,45		0								*Referanseprøvestykker
							(0,02 / 3)	(5,7 / 3)											
							0,17	1,3	0,45		0								*Impregnert med ...
							(0,04 / 3)	(0,4 / 3)											
70104 (1998)	38	x				ca 1 år													
							0,25	37,1	0,43		0								*Referansebetong
							(0,02 / 3)	(4,8 / 3)											
							0,04	11,1	0,43		0								*Impregnert med ...
							(0,005 / 3)	(4,5 / 3)											
70102 (1998)	36	x																	
							0,73	3,11											*...
							(0,04 / 6)	(1,9 / 6)											
							0,72	1,74											*...
							(0,15 / 8)	(1,8 / 8)											
70137 (1999)	60	x				2 mnd													*Sammenligning av prøving ved SINTEF og SVV
							0,128	5,8	0,45		0								*7B Ref SINTEF

Z2M173 Betongkonstruksjoner i vann				KLORIDPÅSPRØTING (intern SINTEF-prosedyre KS70-116)									
(Fil:"Data, påsprøyting.xls")				C <sub>OS</sub> = overflatekonsentrasjon [% Cl] D <sub>S</sub> = Påsprøytingskoeffisient [10 <sup>-12</sup> m <sup>2</sup> /s]									
2001-01-30				- i parentes er angitt: (variasjonskoeffisient i % / antall parallele prøver)									
Prosjekt-nr og navn	Ref-nr.	Type prøve										PF / Kap.abs.	
		Feltbetong		Alder	Lab.betong		Norm. btrg.	Lett. btrg.	St. kta	Trykk-fast-het		Kommmentarer	
		Støpebrud	Sagigate		Sagigate	Sagigate	(nom.) v/c+s	(eff.) v/c+s	(%)	(MPa)	stug. por. (%)	maks. røpor. (%)	m (10 <sup>-5</sup> s/m <sup>2</sup> )
		C <sub>OS</sub>	D <sub>S</sub>	C <sub>OS</sub>	D <sub>S</sub>								
70137 (1999) (forts.)	60				0,173	7,05	0,45		0				*8B Ref SINTEF
					0,193	8,09	0,45		0				*9B Ref SINTEF
					0,494	6,39	0,45		0				*10B Ref SVV
					0,602	6,86	0,45		0				*11B Ref SVV
					0,593	5,96	0,45		0				*12B Ref SVV
70127 (1999)	57				0,262	8,27	0,45		0				*Ref 4B
					0,29	6,1	0,45		0				*Ref 5B
					0,518	4,63	0,45		0				*Ref 6B
					0,176	1,07	0,45		0				*Impre 4A, ...
					0,121	1,54	0,45		0				*Impre 5A, ...
					0,129	1,11	0,45		0				*Impre 6A, ...
70132 (1999)	58			7 uker									
					0,495	4,7	0,45		0				*Ref 19B
					1,225	1,36	0,45		0				*Ref 20B
					0,343	6,09	0,45		0				*Ref 21B
					0,029	1,6	0,45		0				*Impre 16A, ...
					0,022	2,0	0,45		0				*Impre 17A, ...
					0,03	2,0	0,45		0				*Impre 18A, ...

## **Vedlegg 4:**

**Data, kloridmigrasjon**  
**(Fil:"Data, migrasjon.xls")**

22M173 Betongkonstruksjoners livsløp MIGRASJON (NT-Bunn 353)												- i parentes er angitt: (variasjonskoeffisient i % / antall parallelle prøver)	
(Fil: "Data, migrasjon.xls")				t <sub>o</sub> = gjennomtrengningstid [timer]								- i parentes er angitt: (variasjonskoeffisient i % / antall parallelle prøver)	
2001-01-29				M <sub>e</sub> = migrasjonskoeffisienten [10 <sup>-12</sup> m <sup>2</sup> /s]								- i parentes er angitt: (variasjonskoeffisient i % / antall parallelle prøver)	
Prosjekt-nr og navn	Ref-nr	Type prøve				Normal bet.	Lette bfgr.	Sil- ika	Trykk- fast- het	PF / Kap.abs.	Kommentarer		
		Feltbetong		Alder	Lab.betong					sug- per-	mak- rapor-	m	
		Støpehud	Sagplate		Sagplate	t <sub>o</sub>	M <sub>e</sub>	(nom. v/c+s)	(eff. v/c+s)	s/ c+s	(MPa)	(%)	(10 <sup>6</sup> S/m <sup>2</sup> )
		t <sub>o</sub>	M <sub>e</sub>	t <sub>o</sub>	M <sub>e</sub>								
Nordtest - ringforsøk	1					8 mnd							*ref.btg.ihht NS 3099; sementtype?
(1993)							33	1230	0,6		0		*DTI
							(6/3)	(6/3)					
							50	850	0,6		0		*SINTEF
							(?/3)	(8/3)					
							41,5	1040	0,6		0		*Snitt av 2 laboratorier
							(?/6)	(21/6)					
Kloridbestandig betong (1996)	2					90							*17 ulike resepter inkl ulike "TSS"; innendørs lagrede ref.elementer (vegg); <sup>1</sup> =est.v/b - kap.abs.
						døgn							
		192	318	168	512		161	523	0,51	0	12,3	2,3	39 *resept A (A-ref.); P30; tidligere normalbetong
		(1/3)	(4/3)	(3,5/3)	(52/3)		(10/3)	(13/3)	(0,48) <sup>1</sup>				for bruer; (resistivitet 63, 41, 49 ohmm)***
		557	31,5	482	65		788	102	0,38	4	11,2	4,2	77 *resept B (B-ref.); P30; C45-MA i hht Prosess-kode 2 1989; (resist. 107, 132, 100 ohmm)***
		(15/3)	(21/3)	(1/3)	(11/3)		(2/3)	(9/3)	(0,40) <sup>1</sup>				
		1122	12	961	58		919	50	0,4	4	10,6	4,1	116 *resept O (B-HS.); HS-65;
		(11/3)	(28/3)	(2/3)	(12/3)		(0,5/3)	(24/3)	(0,37) <sup>1</sup>				(resistivitet i ohmm hhv 182, 150, 153)***
		739	17,5	743	37,5		882	53	0,39	3,4	11,9	1,8	174 *resept E (B-MP.); MP-30;
		(4/3)	(10/3)	(0,5/3)	(13/3)		(1,5/3)	(6/3)	(0,40) <sup>1</sup>				(resistivitet i ohmm hhv 185, 232, 188)***
		878	13,5	794	55		854	37,5	0,39	7,3	12,3	3,6	108 *resept D (B-SR.); SR;
		(1/3)	(64/3)	(6,5/3)	(18/3)		(3,5/3)	(47/3)	(0,41) <sup>1</sup>				(resistivitet i ohmm hhv 309, 328, 304)***
		1241	11,5	1235	19,5		1516	29,5	0,42	11	14,8	1,2	191 *resept F (S-ref.); P30;
		(10/3)	(26/3)	(6,5/3)	(28/3)		(1/3)	(15/3)	(0,44) <sup>1</sup>				(resistivitet i ohmm hhv 382, 367, 397)***
		956	19,5	817	54		822	32	0,46	9,1	12,6	1,7	259 *resept G (S-45); P30;
		(5/3)	(23/3)	(5/3)	(16/3)		(4,5/3)	(55/3)	(0,44) <sup>1</sup>				(resistivitet i ohmm hhv 253, 249, 258)***
		1571	4,5	1411	17,5		1524	40	0,34	6,2	11,9	1,6	145 *resept J (S-33); P30;
		(1/3)	(20/3)	(6,5/3)	(42/3)		(7/3)	(22/3)	(0,36) <sup>1</sup>				(resistivitet i ohmm hhv 234, 244, 233)***
													***for hhv felt <sub>hud</sub> , felt <sub>sagplate</sub> , lab <sub>sagplate</sub>

MIGRASJON (NT Build 368)												
(Fil: "Data, migrasjon.xls")				$t_0$ = gjennomtrengningstid [timer]				- i parentes er angitt: (variasjonskoeffisient i % / antall parallele prøver)				
2001-01-29				$M_e$ = migrasjonskoeffisienten [ $10^{-12} \text{ m}^2/\text{s}$ ]				- i parentes er angitt: (variasjonskoeffisient i % / antall parallele prøver)				
Prosjekt-nr og navn	Ref-nr.	Type prøve				Nor. bet.	Lett. bet.	Slik fasilitet	PF / Kap.abs.	Kontaminatør		
		Feltbetong		Lab.betong		norm. betig.	lett. betig.	slip. bet.		sug. pot.	mak. tørper.	m
		Stupehud	Seglplate	Alder	Seglplate	(nom. v/c+s)	(eff. v/c+s)	s/c+s (MPa)	(%)	(%)	(%)	( $10^{-12} \text{ m}^2/\text{s}$ )
		$t_0$	$M_e$	$t_0$	$M_e$							
Kloridbeständig betong (1996)	2	759 (24/3)	83 (31/3)	90 døgn		0,4 (0,40) <sup>1</sup>	3,8		11,9	3,1	62	*resept H (B-fil.); P30; (resistivitet 146 ohmm); 1 = est. v/b - kap.abs.
(forts.)		507 (12/3)	84 (33/3)			0,39 (0,38) <sup>1</sup>	3,9		11,2	3,3	97	*resept Q (B-VS); Viking P30; (resistivitet 119 ohmm)
		1455 (1/3)	17,5 (59/3)			0,41 (0,39) <sup>1</sup>	11		13,2	1,4	387	*resept R (S-VS.); Viking P30; (resistivitet 414 ohmm)
		387 (5,5/3)	138 (22/3)			0,39 (0,42) <sup>1</sup>	4,1		12,2	2,7	181	*resept I (B-inh.1); P-30; (resistivitet 87 ohmm)
		688 (2,5/3)	71 (18/3)			0,37 (0,39) <sup>1</sup>	4,1		11,1	3,8	93	*resept K (B-inh.2); P-30; (resistivitet 137 ohmm)
		1495 (5/3)	24,5 (19/3)			0,42 (0,44) <sup>1</sup>	11		14,9	1,1	31	*resept M (S-inh.2); P30; (resistivitet 423 ohmm)
		595 (2/3)	77 (25/3)			0,37 (0,32) <sup>1</sup>	4		9,2	4,2	---	*resept L (B-fob); P30; (resistivitet 117 ohmm)
		1535 (0,5/3)	8,5 (41/3)			0,41 (0,38) <sup>1</sup>	11		12,9	2,4	---	*resept N (S-fob); P30; (resistivitet 512 ohmm)
		578 (4,5/3)	92 (10/3)			0,37 (0,28) <sup>1</sup>	2,1		8,3	4,5	---	*resept P (B-ltx); P30; (resistivitet 95 ohmm)
HSC, rapp. 4.8 (1989)	3			>4mnd								*Fullskala NC - veggellem.; 2 herdebet. for de 2 største sidefl.; middelverdi oppgitt (2sider+midt)
		160 (4/3)	463 (19/3)			0,45	0	77 <sup>1</sup>				**65"; <sup>1</sup> = terning 28 døgn
		130 (10/3)	508 (13/3)			0,46	5,2	74				**65 S"
		125 (11/3)	754 (22/3)			0,45	0	65				**65 L"

22M173 Betongkonstruksjonerens livsløp										MIGRASJON (NT Build 355)												
(Fil: "Data, migrasjon.xls")				t <sub>o</sub> = gjennomtrengningstid [timer]						- i parentes er angitt: (variasjonskoeffisient i % / antall parallele prøver)												
2001-01-29				M <sub>e</sub> = migrasjonskoeffisienten [10 <sup>-12</sup> m <sup>2</sup> /s]						- i parentes er angitt: (variasjonskoeffisient i % / antall parallele prøver)												
Prosjekt- nr og navn	Per- nr.	Type prøve						Nor- mal big.	Latt- big.	Sil- ika	Tykk- het	PF / Kap.abs.		Kommentarer								
		Feltbetong				Lab.betong		Alder	Segilate	Segilate	%			(angi hvis kloridinnhold ikke er bestemt med <b>spektrofotometer</b> - angi eksponeringstid hvis denne er vesentlig forskjellig fra 7-10 <b>døgn</b> - angi om <b>belegg/impregn.</b> - angi hvis <b>ikke</b> volt er "drivkraft"- angi sementtype)								
		Støpehud	Segilate	Alder	Segilate																	
		t <sub>o</sub>	M <sub>e</sub>	t <sub>o</sub>	M <sub>e</sub>							(nom. v/c+s)	(eff. v/c+s)	s/ c+s	(MPa)	sug- por.	mak- (capac.)	(m <sup>2</sup> ) (10 <sup>-12</sup> S/m <sup>2</sup> )				
		HSC, rapp. 4.8	3	455	109	>4mnd						0,37		5,2	91 <sup>1</sup>				"95"; <sup>1</sup> = terning 28 døgn			
		(1989)		(4/2)	(45/2)																	
		(forts.)		730	23							0,37		10	91,5				"95 S"			
				(6/3)	(15/3)																	
				490	83							0,37		5,2	85				"95 L"			
				(4/3)	(15/3)																	
C. Hauck, dr.avh.	4					---	---					0,28		10	115				"115"; Ingen klorider i kammer 2 etter 100 døgn			
						(-3)	(-3)															
				720	82							0,42	4,9	84					"LWA60-d"; eff.v/(c+s) fra rapp.4.6			
				(1/3)	(8,5/3)																	
				270	337							0,68	4,9	57					"LWA60-W"; eff.v/(c+s) fra rapp.4.6			
				(20/3)	(27/3)																	
				860	57							0,37	5,1	87					"LWA75"; eff.v/(c+s) fra rapp.4.6			
				(1,5/3)	(40/3)																	
						?	2424	58	0,35		5	104	10,4	1,5	120	*20gr.C; P30-4A; ulike herdetemp.; 32 % pasta; "potentiometrisk titrator"; (resistivitet 340 ohmm)						
							(5/3)	(20/3)										*20gr.C; (resistivitet 900ohmm;1=terning44døgn				
							2544	21,5	0,35		10	115 <sup>1</sup>	11,3	0,9	136	*45gr.C; (resistivitet 265 ohmm)						
							(3/3)	(36/3)										*45gr.C; (resistivitet 730 ohmm)				
							1728	75	0,35		5	104	10,7	1,3	115	*70gr.C; (resistivitet 165 ohmm)						
							(8/3)	(9/3)										*70gr.C; (resistivitet 565 ohmm)				
							2304	44,5	0,35		10	105	12,1	0,8	136							
							(7/3)	(12/3)														
							744	90	0,35		5	99	10,4	1,1	129							
							(16/3)	(7/3)														
							2424	58	0,35		10	101	12,1	0,9	152							
							(4/3)	(5,5/3)														

MIGRASJON (NT Build 393)														
(Fil: "Data, migrasjon.xls")				$t_0$ = gjennomtrengningstid [timer]							- i parentes er angitt: (variasjonskoeffisient i % / antall parallele prøver)			
2001-01-29				$M_e$ = migrasjonskoeffisienten [ $10^{-12} \text{ m}^2/\text{s}$ ]							- i parentes er angitt: (variasjonskoeffisient i % / antall parallele prøver)			
Prosjekt-nr og navn	Ref.-nr.	Type prøve										Kommentarer		
		Feltbetong		Lab.betong								(angi hvis kloridinnhold ikke er bestemt med spektrofotometer - angi eksponeringstid hvis denne er vesentlig forskjellig fra 7-10 døgn - angi om belegg/impregn. - angi hvis ikke volt er "drivkraft"- angisementtype)		
		Støpehdc	Sagigate	Alder	Sagigate									
						$t_0$	$M_e$	(norm. v/c+s)	(eff. v/c+s)	s/ c+s	(MPa)	sug- het (%)	mak- tropor. (%)	( $\text{to}^6 \text{ s}/\text{m}^2$ )
		$t_0$	$M_e$	$t_0$	$M_e$									
C. Hauck, dr.avh. (1993)	4			?	504	128	0,4		0	66,5	11,6	1,6	51	*20gr.C; P30-4A; ulike herdetemp.; 31 % pasta; (resistivitet 80 ohmm)
(forts.)					(5/3)	(3,5/3)								*20gr.C; (resistivitet 220ohmm);1=terning28døgn
					1152	55	0,4		5	63,5 <sup>1</sup>	11,7	1,2	83	
					(4/3)	(69/3)								
					2232	38	0,4		10	(83,1)	12,2	1	110	*20gr.C; (resistivitet 585 ohmm)
					(3/3)	(39/3)								
					384	149	0,4		0	76	11,4	1,5	55	*45gr.C;(resistivitet 80 ohmm)
					(12,5/3)	(17/3)								
					792	69	0,4		5	81	12,5	1,3	58	*45gr.C; (resistivitet 165 ohmm)
					(15/3)	(14/3)								
					1152	7	0,4		10	101	12,4	1	132	*45gr.C; (resistivitet 535 ohmm)
					(21/3)	(21/3)								
					144	317	0,4		0	78,5	12,1	1,4	58	*70gr.C; (resistivitet 65 ohmm)
					(17/3)	(5,5/3)								
					456	120	0,4		5	80	12,6	1,3	77	*70gr.C; (resistivitet 115 ohmm)
					(5/3)	(15/3)								
					936	5	0,4		10	101	12,8	1	126	*70gr.C; (resistivitet 300 ohmm)
					(36/3)	(4,5/3)								
Innledende forsøk/ forstudie	4	?	?	<3mn				0,35	4					*50gr.C; ingen klorider igjennom; fullskala NC;
				?										P30-4A; samme rådata som ref. /7,8/;
		780	57					0,35	4					*60gr.C; overslag over eff. masseforhold
		648	125					0,35	4					*75gr.C
		504	193					0,35	4					*85gr.C

MIGRASJON (NT Build 355)											
(Fil: "Data, migrasjon.xls")				- i parentes er angitt: (variasjonskoeffisient i % / antall parallele prøver)							
2001-01-29		M <sub>e</sub> = migrasjonskoeffisienten [10 <sup>-12</sup> m <sup>2</sup> /s]								- i parentes er angitt: (variasjonskoeffisient i % / antall parallele prøver)	
Prosjekt-nr og navn	Ref.nr	Type prøve			Nor.	Lett.	Slik	Trykk-	PF /	Kap.abs.	Kommentarer
		Feltbetong		Lab.betong	btd.	btd.	ika	fasi			
		Stoppehud	Sugilatere	Alder	Sugilatere		(%)	het	spor	maks.	m
		t <sub>o</sub>	M <sub>e</sub>	t <sub>o</sub>	M <sub>e</sub>	(nom. v/c+s)	(eff. v/c+s)	s/ c+s	(MPa)	(%)	(10 <sup>-12</sup> m <sup>2</sup> /s)
C. Hauck	4			8 mnd	?	155?	0,45		8		
Innledende forsøk/forstudie (forts.)											*40gr.C; P30-4A; 30,8 % pasta; (resistivitet 265 ohmm)
Floater, rapp. 5.1 (1992)	5			> 90 døgn (16/3)	1136 (4,5/3)	6,2		0,32 16	(18,7) (21,9)	123	**LC40N"-natursand 0-2mm; 32,4 % pasta; P30-4A; (resistivitet 880 ohmm)
				(i vann)	712	13,3		0,28 15	(20,8) (21)	128	**LC40L" - kun letttilslag; 31,3 % pasta; (resistivitet 495 ohmm)
					712	30		0,35 15	(25,8) (17,2)	105	**LC40W" - kun letttilslag; 35,3 % pasta; (resistivitet 295 ohmm)
					688	30		0,35 15	(25,4) (16,7)	86	**LC40WA" - kun letttilslag; 36,5 % pasta; (resistivitet 275 ohmm)
					2312	13,2		0,3 8	(23,3) (19)	196	**LC40W8" - kun letttilslag; 33,2 % pasta; (resistivitet 405 ohmm)
					1272	9		0,29 15	(22,9) (23,7)	146	**LC30" - kun letttilslag; 32,0 % pasta; (resistivitet 580 ohmm)
Dykket rørbru (1990)	6		isolert	375	129	0,4		2 70 <sup>1</sup>	11,1	1,7	41 **DRB1"; P30; antar <sup>1</sup> = terning 28døgn
			lagret.	(3,5/3)	(34/3)						
			alder?	>2500	Ikke	0,35		8 (syl <sub>28</sub> )	88	1,7	116 **DRB2"
					reg.						
				1500	24		0,3	8 (3,5/3)	48 (6,5/3)	?	123 **DRB3"
MUHB, rapp. 2.5 (1991)	7		< 3								*Fullskala NC; ulike maks.temp.; P30-4A **PK" - 48gr.C; ref.element; ingen gjennomgang;
Artikkel (1992)	8		>1350 (?/3)	?	mnd?			0,35 (syl <sub>28</sub> )	3,8 (51)		overslag over eff. masseforhold **P1" - 60gr.C
			730 (?/3)	34 (?/3)							

22M173 Betongkonstruksjoner i rørslap												MIGRASJON (NT-Bunn 355)								
(Fil: "Data, migrasjon.xls")								$t_o =$ gjennomtrengningstid [timer]								- i parentes er angitt: (variasjonskoeffisient i % / antall parallele prøver)				
2001-01-29								$M_e =$ migrasjonskoeffisienten [ $10^{-12} \text{ m}^2/\text{s}$ ]								- i parentes er angitt: (variasjonskoeffisient i % / antall parallele prøver)				
Prosjekt-nr og navn	Ref.-nr.	Type prøve								Nor-mal	Lett-blo-	Sil-ika	Trykk-fast-heit	PF /	Kap.abs.	Kommentarer				
Feltbetong				Lab.betong																
Støpehud: Segilate				Alder: Segilate																
MUHB, rapp. 2.5 (1991)	7			700	48					0,35	3,8	54					**P6" - 60gr.C; overslag over eff. masseforhold			
				(?/3)	(?/3)								(syl <sub>28</sub> )							
Artikkel (1992) (forts.)	8			630	106					0,35	3,8	58					**P3" - 75gr.C			
				(?/3)	(?/3)												**P4" - 85gr.C			
				480	147					0,35	3,8	53								
				(?/3)	(?/3)															
MUHB, rapp. 2.8 (1992)	9					3 mnd											*Ulike maks.temp.; vått og tørt letttilslag; P30-4A			
																	**D20" - 20gr.C; tørt letttilslag; <sup>1</sup> = tørring 28døgn			
																	(resistivitet 1075 ohmm - bestemt ved 30V)			
																	**D50" - 50gr.C; tørt letttilslag;			
																	(resistivitet 890 ohmm - bestemt ved 30V)			
																	**D65" - 65gr.C; tørt letttilslag;			
																	(resistivitet 945 ohmm - bestemt ved 30V)			
																	**D80" - 80gr.C; tørt letttilslag;			
																	(resistivitet 865 ohmm - bestemt ved 30V)			
																	**W20" - 20gr.C; vått letttilslag;			
																	(resistivitet 725 ohmm - bestemt ved 30V)			
																	**W50" - 50gr.C; vått letttilslag;			
																	(resistivitet 600 ohmm - bestemt ved 30V)			
																	**W65" - 65gr.C; vått letttilslag; (lik W50-feil?);			
																	(resistivitet 650 ohmm - bestemt ved 30V)			
																	**W80" - 80gr.C; vått letttilslag;			
																	(resistivitet 640 ohmm - bestemt ved 30V)			

22M173 Betongkonstruksjoner i v/slop				MIGRASJON NT Buind 355												
(Fil: "Data, migrasjon.xls")				t <sub>o</sub> = gjennomtrengningstid [timer]												
2001-01-29				M <sub>e</sub> = migrasjonskoeffisienten [10 <sup>-12</sup> m <sup>2</sup> /s]												
Prosjekt-nr og navn	Rist-nr.	Type prøve			Nor- mal bitg.	Lat- bitg.	Sil- ika	Tykk- het	PF /	Kap.abs.				Kommentarer		
		Feltbetong		Lab.betong										(angt hvis kloridinnhold ikke er bestemt med <b>spektrofotometer</b> - angi eksponeringstid hvis denne er vesentlig forskjellig fra 7-10 døgn - angi om <b>belegg/impregn.</b> - angi hvis ikke volt er "drivkraft"- angisementtype)		
		Støpehøyde	Sædilate	Alder	Sægtilate											
		t <sub>o</sub>	M <sub>e</sub>	t <sub>o</sub>	M <sub>e</sub>				(nom. v/c+s)	(eff. v/c+s)	s/ c+s	(MPa)	(%)	(%)	(%)	
Kloridbestandighet	11			325	215	40år			0,43		0	69	12,6	2,3	57	*Steinvågsundet bru (overfl.beh.); resist.63ohmm;
av kystbru er				(35/4)	(21/4)				(?)			(59-81)				(46-69) anslått v/c = 0,38-0,48 (middel 0,43) - tynnslip
(1993)				116	960	50 år (betong)			0,49		0	72	13	1,3	26	*Vestnes bru; resistivitet 45ohmm; C45;
				(28/3)	(26/3)	(37 år) (bru)			(?)			(65-84)				(23-31) anslått v/c = 0,45-0,50 (middel 0,49) - tynnslip
				78	1200	26 år			0,4		0	63	13,4	2	25	*Nerlandsøy bru, akse 10; resistivitet 25 ohmm;
(Utført av SINTEF - 32394)				(11/3)	(7/3)				(?)			(58-69)				(20-31) anslått v/c = 0,35-0,45 (middel 0,40) - tynnslip
				119	820	26 år			0,48		0	59	12,6	2,3	32	*Nerlandsøy bru, akse 11; resistivitet 37ohmm;
				(10/2)	(23/2)				(?)			(52-66)				(25-42) anslått v/c = 0,45-0,50 (middel 0,48) - tynnslip
				169	533	11 år			0,5		0	48	12,5	3,1	48	*Runde bru, akse 3; anslått v/c = 0,50 - tynnslip
				(10/3)	(35/3)				(?)			(44-51)				(38-57) resistivitet 34 ohmm; C35
				95	1277	11 år			0,55		0	38,5	14,1	3,4	37	*Runde bru, akse 6; anslått v/c = 0,55 - tynnslip
				(5/3)	(7/3)				(?)			(38-40)				(36-37) resistivitet 21 ohmm; C35
																For flere sermenttype? nominell v/c?
Permeabilitet i høy- fast lettbetong (1991)	12					> 28										*3 parallele prøver; M <sub>e</sub> ikke beregnet; t <sub>o</sub> usikker; de effektive masseforholdene er estimert
						døgn										*bl.1; resistivitet 940 ohmm;
							95	?		0,22	9					*bl.2; resistivitet 1000 ohmm;
							95-?	?		0,27	9					*bl.3; resistivitet 820 ohmm;
							95-170	?		0,34	9					*bl.4; resistivitet 210 ohmm; uten silika
							1800	?		0,29	0					*bl.5; resistivitet 955 ohmm;
							1650	?		0,29	9					*bl.6; resistivitet 815 ohmm;
							>2400	?		0,3	9					*bl.7; resistivitet 580 ohmm;
							>2400	?		0,31	9					*bl.8; resistivitet 610 ohmm;
							95-260	?		0,26	9					*bl.9; resistivitet 295 ohmm;
							95-430	?		0,32	9					
Trandal ferjekai	13	298	124	995	53	7 år			0,4		0	54,3	14,6	2,2	48	*C45; Norcem MP-30; resept usikker; utført av
(1996)		(20/3)	(6/3)	(7/3)	(46/3)				(?)		(?)	(syl.)				NTNU (R.H.Relling); resist.190 (hud) og 199(sag) ohmm

22M773 Befongkonstruksjoners livsløp				MIGRASJON (NT Build 355)														
(Fil: "Data, migrasjon.xls")				$t_0$	gjennomtrengningstid [timer]										- i parentes er angitt: (variasjonskoeffisient i % / antall parallele prøver)			
2001-01-29				$M_e$	migrasjonskoeffisienten [ $10^{-12} \text{ m}^2/\text{s}$ ]										- i parentes er angitt: (variasjonskoeffisient i % / antall parallele prøver)			
Prosjekt-nr og navn	Ref nr	Type prøve								Nor-	Lett-	Sili-	I trykk-	PF / Kap.abs.		Kommensarier		
		Feltbetong				Lab.betong				mal-	tid-	ka-	fast-			(angi hvis kloridinnhold ikke er bestemt med <b>spektrofotometer</b> - angi eksponeringstid hvis denne er vesentlig forskjellig fra 7-10 døgn - angi om <b>belegg/impregn.</b> - angi hvis ikke volt er "drivkraft"- angisementtype)		
		Stupehud		Sagflate		Alder	Sagflate		bhg.	(nom.	(eff.	(%	(%	sug-	mak-	m.	(angi hvis kloridinnhold ikke er bestemt med <b>spektrofotometer</b> - angi eksponeringstid hvis denne er vesentlig forskjellig fra 7-10 døgn - angi om <b>belegg/impregn.</b> - angi hvis ikke volt er "drivkraft"- angisementtype)	
									v/c+s)	v/c+s)	(MPa)	(%)	(%)	(%)	( $10^6$ S/m <sup>2</sup> )			
		$t_0$	$M_e$	$t_0$	$M_e$		$t_0$	$M_e$										
70057 Steinvåg-sund bru (1994)	13			244	276	45 år			0,43		0		12,3 <sup>2</sup>	1,6	82	"Kjerne "A2"; u/calsitt; resistivitet 14 ohmm; dr.ing. R.H.Relling; jfr 70057; sementtype?		
				(21/3)	(24/3)				(?)									
				151	58	45 år			0,43		0		11,4 <sup>2</sup>	1,4	55	"Kjerne "B1b"; v/calsitt; resistivitet 31 ohmm;		
				(44/3)	(72/3)				(?)							<sup>2)</sup> Varierende steininnhold i prøvene		
70007 (1993)	13					?										"3 herdesyklar; (kommentert at en vannlagret betong med v/c 0,4 og 2 % silika har en migr. koeff. lik $100 \times 10^{-12} \text{ m}^2/\text{s}$ ; sementtype?; alder?		
							1336	22,2	0,31		5					"I" - vannlagret etter avformning; resistivitet 200 ohmm;		
							(4,5/3)	(9,5/3)										
							1793	9,2	0,31		5					"II" - vannlagret etter avformning; resistivitet 290 ohmm;		
							(8,5/3)	(32/3)										
							1292	9,6	0,31		5					"III" - lagret under åpen himmel etter avformning; resistivitet 320 ohmm;		
							(23/3)	(2/3)										
							135	710	0,45		6					"I" - vannlagret etter avformning; resistivitet 46 ohmm;		
							(2/3)	(15/3)										
							136	830	0,45		6					"II" - vannlagret etter avformning; resistivitet 42 ohmm;		
							(2/3)	(39/3)										
							45	2400	0,45		6					"III" - lagret under åpen himmel etter avformning; resistivitet 27 ohmm;		
							(2,5/3)	(28/3)										
70023/1 Boknasund bru (1994)	13			1164	36	3 år			0,43	5,5	75,5	20,3	9,9	117	"Lightcon; område C; P30-4A; v/b=0,35-0,40 ut fra strukturanalysen; v/(c+s) <sub>eff</sub> ?; først 60 V i 6 timer, deretter i hht prosedyren. I fig erfaring skal dette gi lavere $\delta$ , men samme $M_e$			
				(7,5/2)	(3/2)				nom.	(syl.)								

12M173 Betongkonstruksjoner s. hvslop MIGRASJON (NT Build 355)														
(Fil: "Data, migrasjon.xls")				$t_0 =$ gjennomtrengningstid [timer]								- i parentes er angitt: (variasjonskoeffisient i % / antall parallele prøver)		
2001-01-29				$M_e =$ migrasjonskoeffisienten [ $10^{-12} \text{ m}^2/\text{s}$ ]								- i parentes er angitt: (variasjonskoeffisient i % / antall parallele prøver)		
Prosjekt-nr og navn	Ref-nr	Type prøve						Nor- mal bkg.	Lett bkg.	Sil- ika (%)	Trykk- het (%)	PF / Kap.abs.	Kommentarer	
		Feltbetong			Lab.betong								(angi hvis kloridinnhold ikke er bestemt med spektrofotometer - angi eksponeringstid hvis denne er vesentlig forskjellig fra 7-10 døgn - angi om belegg/impregn. - angi hvis ikke volt er "drivkraft"- angisementtype)	
		Støpehud	Sagigate	Alder	Sagigate			(nom. v/c+s)	(eff. v/c+s)	s/ c+s (MPa)	sug- por. (%)	mak- repor. (%)	(10 <sup>-12</sup> m <sup>2</sup> /s)	
		$t_0$	$M_e$	$t_0$	$M_e$									
70024/1 (1994)	13			1272	30,4	?			0,35	7,5		21,1	10,8	116 *ponglong 8; tynnslip v/c=0,35-0,40;
Nordhordlandsbrua-				(3/2)	(7/2)									P30-4A/HS65; først 60V i 6t; resist. 295 ohmm
pongtonger				1544	20,3	?			0,35	7,5		19,3	10,5	74 *ponglong 10; tynnslip v/c=0,35-0,40;
				(17/2)	(34/2)								P30-4A/HS65; først 60V i 6t; resist. 310 ohmm	
70024/4 (1994)	13			720	70	6 mnd			0,33	7,5	60	17,3	12,9	*Prøveelement ; HS65; ulike lagringsbetingelser
Nordhordlandsbrua				(9/2)	(10/2)						(syl.)			jfr 70064/1; først 60V i 6 t.; resistivitet 275 ohmm
70025/2 (1994)	13			300	320	3 mnd			0,39	6,5	49,5	21,3	10,4	77 *Prøveelement ; HS65; ulike lagringsbetingelser
Støvset				(6/2)	(20/2)						(syl.)			v/c tynnslip = 0,40-0,45; resistivitet 90 ohmm
70044/8 Nordhord- landsbrua (1995)	13			829	12,7				0,33	7,5				**T7.A"; resistivitet 360 ohmm
				857	9,6				0,33	7,5				**T1.C"; resistivitet 380 ohmm
				488	8,8				0,33	7,5				**V28.C"; resistivitet 340 ohmm
				584	23,1				0,33	7,5				**V7.C"; resistivitet 390 ohmm
				525	10,5				0,33	7,5				**T28.A"; resistivitet 350 ohmm
				657	12,9	1,4 år			0,33	7,5				*Snitt av 5 kjerner fra utplasserte prøveelement;
				(27/5)	(45/5)									HS65; jfr 70024/4+70064/1 (lagringsbetingelser);
														gjennomsnittlig resistivitet 365 ohmm (6/5)
70044/9 Støvset bru (1995)	13			940	38,6				0,39	6,5				**V28.1"; resistivitet 205 ohmm
				977	19,5				0,39	6,5				**V7.1"; resistivitet 195 ohmm
				959	29,1	1,3 år			0,39	6,5				*Snitt av 2 kjerner fra utplasserte prøveelement;
				(3/2)	(47/2)									motst.200 ohmm (4/2); HS65; jfr 70064+70025;
Storseisundet bru (1996)	13			224	213	210	391	7 år	0,45	0	43,4	11	4,8	46 *Utført av NTNU (R.H.Relling);
				(11/2)	(24/2)	(17/3)	(8/3)		(?)		(syl.)			(norm.v/c=0,37?); resist.143(hud) og 55(sag)ohmm
				522	43	113	468	7 år	0,5	0	32,8	11,8	4,5	35 *Søyle C35; oppgitt v/c est. fra kap.abs. og norm.
				(58/3)	(69/3)	(1/3)	(8/3)		(?)		(syl.)			resept; resist. 107 (hud) og 41 (sag) ohmm

22M173 Betongkonstruksjoner i livsløp MIGRASJON (NT Build 355)															
(Fil: "Data, migrasjon.xls")				$t_o =$ gjennomtrengningstid [timer]				$M_e =$ migrasjonskoeffisienten [ $10^{-12} \text{ m}^2/\text{s}$ ]				- i parentes er angitt: (variasjonskoeffisient i % / antall parallele prøver)			
2001-01-29												- i parentes er angitt: (variasjonskoeffisient i % / antall parallele prøver)			
Prosjekt-nr og navn	Ref-nr.	Type prøve						Nor- mal bitg.	Leit- bitg.	Sil- ika	Trykk- fest- het	PF / Kap.abs.	Kommentarer		
		Feltbetong			Lab.betong							(angi hvis kloridinnhold ikke er bestemt med spektrofotometer - angi eksponeringstid hvis denne er vesentlig forskjellig fra 7-10 døgn - angi om belegg/impregn. - angi hvis ikke volt er "drivkraft"- angi sementtype)			
		Støpehud	Sagliste	Alder	Sagliste										
		t <sub>o</sub>	M <sub>e</sub>	t <sub>o</sub>	M <sub>e</sub>		t <sub>o</sub>	M <sub>e</sub>	(nom. v/c+s)	(eff. v/c+s)	s/ c+s (MPa)	Sug- pol. (%)	mak- ropof. (%)	m ( $10^{-6}$ S/m <sup>2</sup> )	
Sund bru (1992)	31				ca 1							*Utført av Veglab.; P30-4A; v/c<0,35 (tynnslip); effektivt masseforhold er estimert			
					ca 1 mnd.										
			?	95					0,35	5	53	*Herdetemp. 64 gr. C; resistivitet 145 ohmm			
			?	190					0,35	5	58	*Herdetemp. 92 gr. C; resistivitet 110 ohmm			
70083 (1998)	32	0,615				X						*Sandhornøya, FP1 <sub>H</sub>			
NTNU		508	0,397			X						*Sandhornøya, FP1,BULK			
		0,521				X						*Sandhornøya, EP4 <sub>H</sub>			
		512	0,364			X						*Sandhornøya, EP4 <sub>BULK</sub> , A			
		501	0,445			X						*Sandhornøya, EP4 <sub>BULK</sub> , B			
	2013	0,079				X						*Sandhornøya, GP4 <sub>H</sub>			
		-	-			X						*Sandhornøya, GP4 <sub>BULK</sub>			
	3069	0,019				X						*Sandhornøya, G1 <sub>H</sub>			
		2173	0,106			X						*Sandhornøya, G1 <sub>BULK</sub>			
	2464	0,027				X						*Sandhornøya, H1 <sub>H</sub>			
		1980	0,229			X						*Sandhornøya, H1 <sub>BULK</sub>			
	66	0,3				X						*Runde, R2 <sub>H</sub>			
		119	1,33			X						*Runde, R2 <sub>BULK</sub>			
	-	0,516				X						*Runde, R3 <sub>H</sub>			
		126	1,285			X						*Runde, R3 <sub>BULK</sub>			
	153	0,273				X						*Runde, R4 <sub>H</sub>			
		134	1,201			X						*Runde, R4 <sub>BULK</sub>			
		211	0,98			X						*Runde R11 <sub>BULK</sub>			
	73	0,886				X						*Runde R12 <sub>H</sub>			
	-	1,031				X						*Runde R13 <sub>H</sub>			
		187	1,08			X						*Runde R12 <sub>BULK</sub>			
	86	0,962				X						*Runde R14 <sub>H</sub>			
		229	0,81			X						*Runde R14 <sub>BULK</sub>			

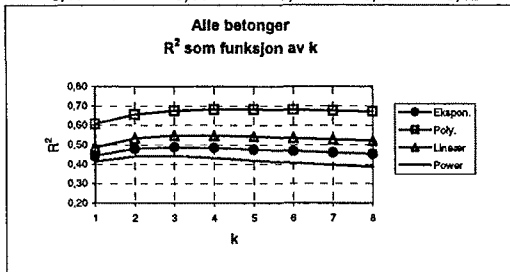
22M173 Betongkonstruksjoners livsløp MIGRASJON (NT Build 355)											
(Fil: "Data, migrasjon.xls")				t <sub>o</sub> = gjennomtrengningstid [timer]							
2001-01-29				M <sub>e</sub> = migrasjonskoeffisienten [10 <sup>-12</sup> m <sup>2</sup> /s]							
Prosjekt-nr og navn	Ref nr	Type prøve		Nor- mal bitg.	LBS: bitg.	Sil- ika	Fast- het	PF / Kap.abs.		Kommentarer	
		Feltbetong		Lab.betong						(angt hvis kloridinnhold ikke er bestemt med spektrofotometer - angi eksponeringstid hvis denne er vesentlig forskjellig fra 7-10 døgn - angi om belegg/impregn. - angi hvis ikke volt er "drivkraft"- angisementtype)	
		Stapehud	Seglplate	Alder	Seglplate						
		t <sub>o</sub>	M <sub>e</sub>	t <sub>o</sub>	M <sub>e</sub>						
70092 / 13R	35			651	0,123					*AUR A4 V2 Sag	
Aursundet bru	339	0,167								*AUR A3 S3 Stø	
		143	0,915							*AUR A3 Ø2 Sag	
	1273	0,027								*AUR A3 N3 Stø	
	177	0,209								*AUR A3 N1 Stø	
	237	0,181								*AUR A3 S4 Stø	
	840	0,038								*AUR A4 N4 Stø	
		159	0,839							*AUR A3 V2 Sag	
	0	0,412								*AUR A4 N3 Stø	
	177	0,339								*AUR A3 S1 Stø	
	1052	0,043								*AUR A4 S4 Stø	
	1041	0,036								*AUR A4 S3 Stø	
		133	0,831							*AUR A3 Ø1 Sag	
		169	0,848							*AUR A3 V1 Sag	
		684	0,114							*AUR A4 Ø1 Sag	
70092 / 15 (1998)	35			0	0,137					*HUL F1 N2 Sag	
Hulvågen bru				0	0,189					*HUL F2 S2 Sag	
				0	0,335					*HUL F1 S2 Sag	
				160	0,237					*HUL F2 N2 Sag	
	0	3E-04								*HUL F1 S2 Stø, Beregnet med høy grad av usikkerhet	
	340	0,003								*HUL F2 N2 Stø, Beregnet med høy grad av usikkerhet	
	0	3E-04								*HUL F1 N2 Stø, Beregnet med høy grad av usikkerhet	
		1630	0,006							*HUL F2 S2 Stø	
70092 / 16 (1998)	35	658	0,084							*GJE T1 S4 Stø	
Gjemnessundet bru	667	0,115								*GJE T1 N5 Stø	
			258	0,303						*GJE T1 S3 Sag	
	709	0,088								*GJE T1 N4 Stø	
	663	0,167								*GJE T1 S2 Stø	
			221	0,484						*GJE T1 Ø1 Sag	

# **Vedlegg 5:**

## **Resultater fra analyser, Neddykket kloridinntrenging**

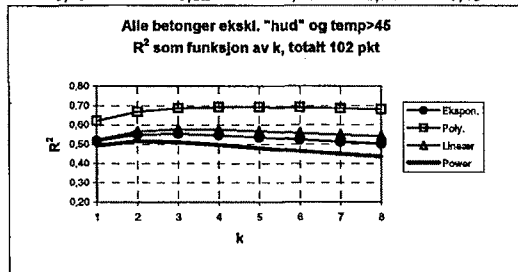
<b>Neddykket kloridinntrenging:</b>		KORR. Koeffisientene til oppnemningstiden								
		<b>Antall punkt</b>	Korrelasjonsverdien til oppnemningstiden							
"TILFELLE":			1	2	3	4	5	6	7	8
- Alle punkt	117	0,44	0,48	0,49	0,48	0,48	0,47	0,46	0,45	
	102	0,52	0,55	0,55	0,55	0,53	0,52	0,51	0,50	
	98	0,55	0,57	0,57	0,56	0,54	0,53	0,51	0,50	
	95	0,49	0,51	0,50	0,48	0,46	0,45	0,43	0,42	
<b>Neddykket kloridinntrenging:</b>		KORR. Koeffisientene til oppnemningstiden								
		<b>Antall punkt</b>	Korrelasjonsverdien til oppnemningstiden							
"TILFELLE":			1	2	3	4	5	6	7	8
- Alle punkt	117	0,61	0,66	0,67	0,68	0,68	0,68	0,68	0,67	
	102	0,62	0,67	0,69	0,69	0,69	0,69	0,69	0,68	
	98	0,67	0,71	0,72	0,72	0,72	0,72	0,71	0,71	
	95	0,76	0,79	0,80	0,79	0,78	0,77	0,76	0,75	
<b>Neddykket kloridinntrenging:</b>		KORR. Koeffisientene til oppnemningstiden								
		<b>Antall punkt</b>	Korrelasjonsverdien til oppnemningstiden							
"TILFELLE":			1	2	3	4	5	6	7	8
- Alle punkt	117	0,49	0,53	0,55	0,55	0,54	0,53	0,53	0,52	
	102	0,52	0,57	0,58	0,57	0,57	0,56	0,55	0,54	
	98	0,54	0,57	0,58	0,57	0,56	0,55	0,54	0,53	
	95	0,61	0,65	0,65	0,63	0,61	0,59	0,58	0,56	
<b>Neddykket kloridinntrenging:</b>		KORR. Koeffisientene til oppnemningstiden								
		<b>Antall punkt</b>	Korrelasjonsverdien til oppnemningstiden							
"TILFELLE":			1	2	3	4	5	6	7	8
- Alle punkt	117	0,41	0,44	0,44	0,43	0,42	0,41	0,40	0,39	
	102	0,49	0,52	0,51	0,50	0,48	0,46	0,45	0,44	
	98	0,52	0,53	0,52	0,50	0,47	0,45	0,42	0,42	
	95	0,46	0,47	0,45	0,43	0,41	0,39	0,37	0,35	

DIFFUSJON alle betonger								
FUNKSJON / K	1	2	3	4	5	6	7	8
Eksponentiel	0,44	0,48	0,49	0,48	0,48	0,47	0,46	0,45
Polynom, gr 2	0,61	0,66	0,67	0,68	0,68	0,68	0,68	0,67
Linear	0,49	0,53	0,55	0,55	0,54	0,53	0,53	0,52
Power	0,41	0,44	0,44	0,43	0,42	0,41	0,40	0,39

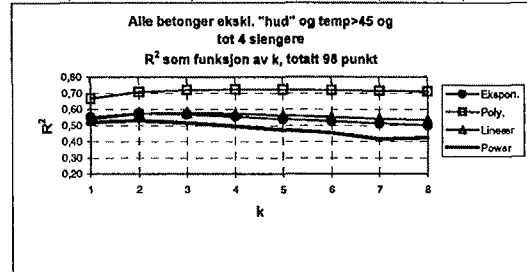


ekskl. "hud" og temp

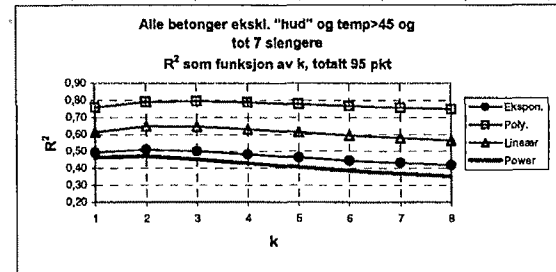
FUNKSJON / K	1	2	3	4	5	6	7	8
Eksponentiel	0,52	0,55	0,55	0,55	0,53	0,52	0,51	0,50
Polynom, gr 2	0,62	0,67	0,69	0,69	0,69	0,69	0,69	0,68
Linear	0,52	0,57	0,58	0,57	0,57	0,56	0,55	0,54
Power	0,49	0,52	0,51	0,50	0,48	0,46	0,45	0,44

ekskl. "hud" og temp  
og tot 4 slengere

FUNKSJON / K	1	2	3	4	5	6	7	8
Eksponentiel	0,55	0,57	0,57	0,56	0,54	0,53	0,51	0,50
Polynom, gr 2	0,67	0,71	0,72	0,72	0,72	0,72	0,71	0,71
Linear	0,54	0,57	0,58	0,57	0,56	0,55	0,54	0,53
Power	0,52	0,53	0,52	0,50	0,47	0,45	0,42	0,42

ekskl. "hud" og temp  
og tot 7 slengere

FUNKSJON / K	1	2	3	4	5	6	7	8
Eksponentiel	0,49	0,51	0,50	0,48	0,46	0,45	0,43	0,42
Polynom, gr 2	0,76	0,79	0,80	0,79	0,78	0,77	0,76	0,75
Linear	0,61	0,65	0,65	0,63	0,61	0,59	0,58	0,56
Power	0,46	0,47	0,45	0,43	0,41	0,39	0,37	0,35



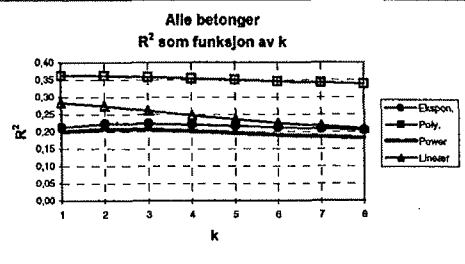
# **Vedlegg 6:**

## **Resultater fra analyser, Kloridpåsprøyting**

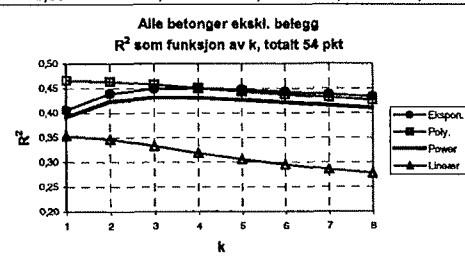
KLORIDSPRØYTING		KORR. Koeffisienter ved 20°C (Kv) - Vann								
"TILFELLE":		Antall punkt	KORR. Koeffisienter ved 20°C (Kv) - Vann							
			1	2	3	4	5	6	7	8
- Alle punkt		78	0,21	0,22	0,22	0,22	0,22	0,21	0,21	0,20
- Alle punkt ekskl. Belegg		54	0,41	0,44	0,45	0,45	0,45	0,44	0,44	0,43
- Alle punkt ekskl. "hud" og "temp > 45 gr" og belegg		49	0,47	0,51	0,52	0,52	0,52	0,51	0,51	0,50
- Alle punkt ekskl "hud" og "temp > 45 gr", belegg og 4 sl		45	0,61	0,65	0,65	0,64	0,62	0,61	0,60	0,59
KLORIDSPRØYTING		KORR. Koeffisienter ved 20°C (Kv) - Vann								
"TILFELLE":		Antall punkt	KORR. Koeffisienter ved 20°C (Kv) - Vann							
			1	2	3	4	5	6	7	8
- Alle punkt		78	0,36	0,36	0,36	0,35	0,35	0,35	0,34	0,34
- Alle punkt ekskl. Belegg		54	0,47	0,46	0,46	0,45	0,44	0,44	0,43	0,43
- Alle punkt ekskl. "hud" og "temp > 45 gr" og belegg		49	0,46	0,46	0,45	0,45	0,44	0,43	0,43	0,42
- Alle punkt ekskl "hud" og "temp > 45 gr", belegg og 4 sl		45	0,77	0,76	0,74	0,72	0,71	0,70	0,68	0,67
KLORIDSPRØYTING		KORR. Koeffisienter ved 20°C (Kv) - Vann								
"TILFELLE":		Antall punkt	KORR. Koeffisienter ved 20°C (Kv) - Vann							
			1	2	3	4	5	6	7	8
- Alle punkt		78	0,20	0,21	0,21	0,20	0,20	0,19	0,19	0,18
- Alle punkt ekskl. Belegg		54	0,39	0,42	0,43	0,43	0,43	0,42	0,42	0,41
- Alle punkt ekskl. "hud" og "temp > 45 gr" og belegg		49	0,47	0,51	0,52	0,52	0,51	0,51	0,50	0,49
- Alle punkt ekskl "hud" og "temp > 45 gr", belegg og 4 sl		45	0,59	0,63	0,62	0,61	0,60	0,58	0,57	0,56
KLORIDSPRØYTING		KORR. Koeffisienter ved 20°C (Kv) - Vann								
"TILFELLE":		Antall punkt	KORR. Koeffisienter ved 20°C (Kv) - Vann							
			1	2	3	4	5	6	7	8
- Alle punkt		78	0,28	0,27	0,26	0,25	0,24	0,23	0,22	0,21
- Alle punkt ekskl. Belegg		54	0,35	0,35	0,33	0,32	0,31	0,29	0,29	0,28
- Alle punkt ekskl. "hud" og "temp > 45 gr" og belegg		49	0,37	0,36	0,35	0,33	0,32	0,30	0,29	0,28
- Alle punkt ekskl "hud" og "temp > 45 gr", belegg og 4 sl		45	0,52	0,49	0,45	0,42	0,39	0,37	0,35	0,34

**KLORIDPASPRØTING**  
**alle betonger**

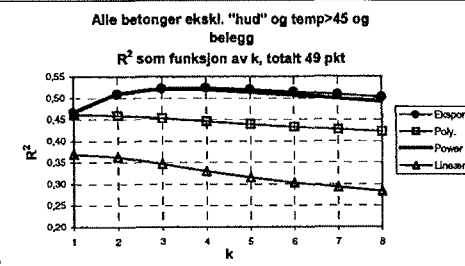
	1	2	3	4	5	6	7	8
Eksponentiel	0,21	0,22	0,22	0,22	0,22	0,21	0,21	0,20
Polynom gr 2	0,36	0,36	0,36	0,35	0,35	0,35	0,34	0,34
Power	0,20	0,21	0,21	0,20	0,20	0,19	0,19	0,18
Lineær	0,28	0,27	0,26	0,25	0,24	0,23	0,22	0,21


**ekskl. Belegg**

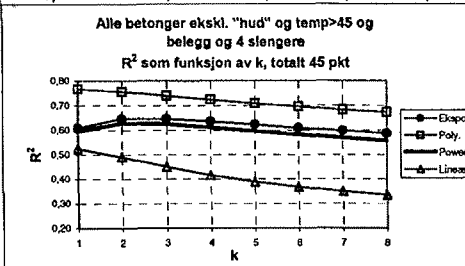
	1	2	3	4	5	6	7	8
Eksponentiel	0,41	0,44	0,45	0,45	0,45	0,44	0,44	0,43
Polynom gr 2	0,47	0,46	0,46	0,45	0,44	0,44	0,43	0,43
Power	0,39	0,42	0,43	0,43	0,43	0,42	0,42	0,41
Lineær	0,35	0,35	0,33	0,32	0,31	0,29	0,29	0,28


**ekskl. "hud" og temp  
og belegg**

	1	2	3	4	5	6	7	8
Eksponentiel	0,47	0,51	0,52	0,52	0,52	0,51	0,51	0,50
Polynom gr 2	0,46	0,46	0,45	0,45	0,44	0,43	0,43	0,42
Power	0,47	0,51	0,52	0,52	0,51	0,51	0,50	0,49
Lineær	0,37	0,36	0,35	0,33	0,32	0,30	0,29	0,28


**ekskl. "hud" og temp  
belegg og 4 slengere**

	1	2	3	4	5	6	7	8
Eksponentiel	0,61	0,65	0,65	0,64	0,62	0,61	0,60	0,59
Polynom gr 2	0,77	0,76	0,74	0,72	0,71	0,70	0,68	0,67
Power	0,59	0,63	0,62	0,61	0,60	0,58	0,57	0,56
Lineær	0,52	0,49	0,45	0,42	0,39	0,37	0,35	0,34

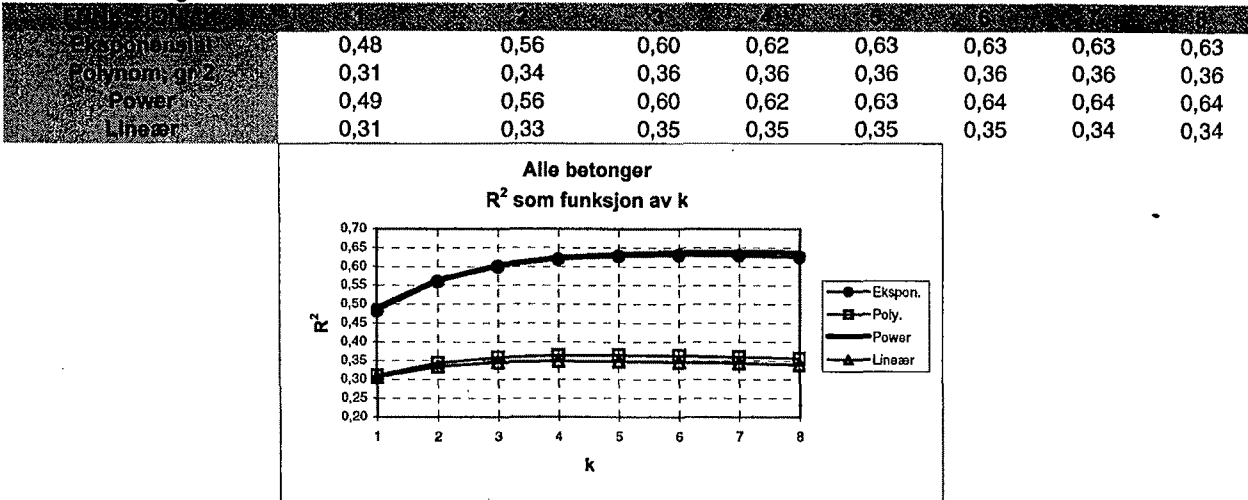


**Vedlegg 7:**

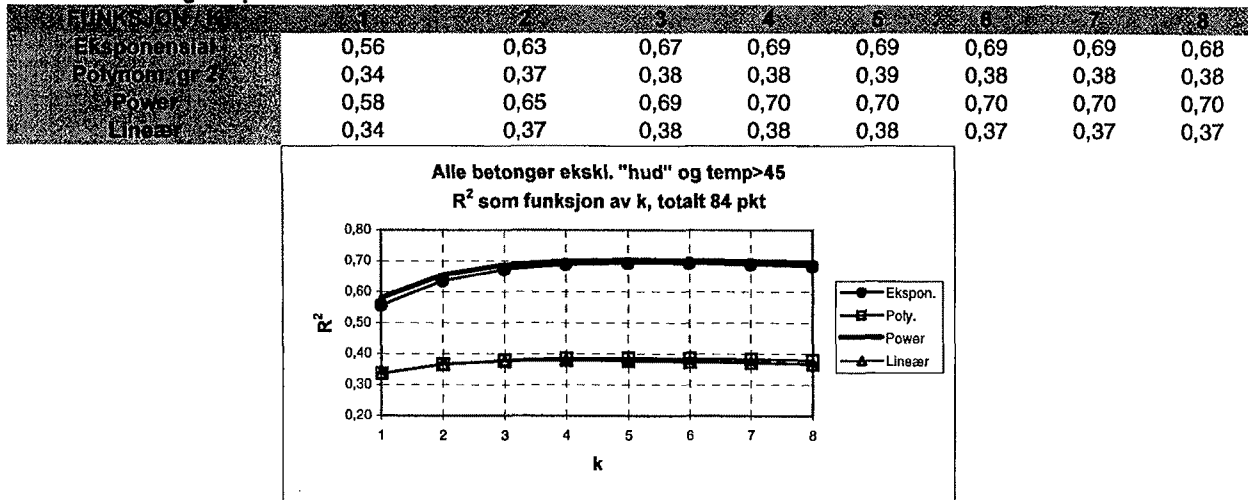
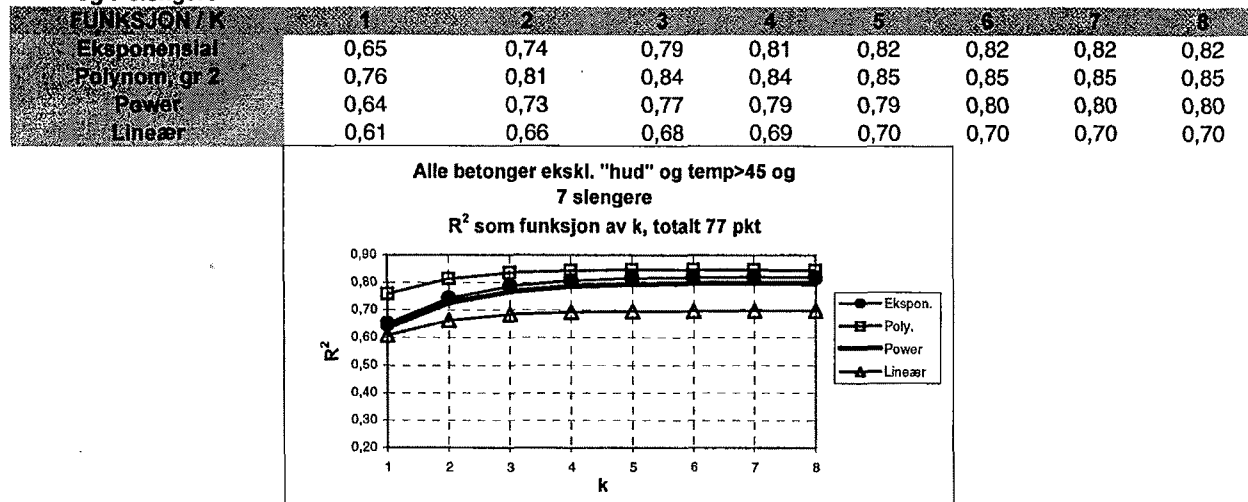
**Resultater fra analyser,**  
**Kloridmigrasjon**

KLORIDMIGRASJON:		KORR. KOEFFISIENTER FOR eksponentiell tilnærming K - verdi, silika								
'TILFELLE'		Antall punkt	1	2	3	4	5	6	7	8
- Alle punkt		112	0,48	0,56	0,60	0,62	0,63	0,63	0,63	0,63
- Alle punkt ekskl. "hud" og "temp > 45 gr"		84	0,56	0,63	0,67	0,69	0,69	0,69	0,69	0,68
- Alle punkt ekskl. "hud" og "temp > 45 gr" og 3 slengere		81	0,64	0,71	0,74	0,75	0,75	0,74	0,74	0,73
- Alle punkt ekskl. "hud" og "temp > 45 gr" og 7 slengere		77	0,65	0,74	0,79	0,81	0,82	0,82	0,82	0,82
KLORIDMIGRASJON:		KORR. KOEFFISIENTER FOR eksponentiell tilnærming K - verdi, silika								
'TILFELLE'		Antall punkt	1	2	3	4	5	6	7	8
- Alle punkt		112	0,31	0,34	0,36	0,36	0,36	0,36	0,36	0,36
- Alle punkt ekskl. "hud" og "temp > 45 gr"		84	0,34	0,37	0,38	0,38	0,39	0,38	0,38	0,38
- Alle punkt ekskl. "hud" og "temp > 45 gr" og 3 slengere		81	0,71	0,74	0,75	0,74	0,73	0,72	0,71	0,70
- Alle punkt ekskl. "hud" og "temp > 45 gr" og 7 slengere		77	0,76	0,81	0,84	0,84	0,85	0,85	0,85	0,85
KLORIDMIGRASJON:		KORR. KOEFFISIENTER FOR eksponentiell tilnærming K - verdi, silika								
'TILFELLE'		Antall punkt	1	2	3	4	5	6	7	8
- Alle punkt		112	0,49	0,56	0,60	0,62	0,63	0,64	0,64	0,64
- Alle punkt ekskl. "hud" og "temp > 45 gr"		84	0,58	0,65	0,69	0,70	0,70	0,70	0,70	0,70
- Alle punkt ekskl. "hud" og "temp > 45 gr" og 3 slengere		81	0,63	0,70	0,73	0,74	0,74	0,74	0,74	0,73
- Alle punkt ekskl. "hud" og "temp > 45 gr" og 7 slengere		77	0,64	0,73	0,77	0,79	0,79	0,80	0,80	0,80
KLORIDMIGRASJON:		KORR. KOEFFISIENTER FOR linjezen K - verdi, silika								
'TILFELLE'		Antall punkt	1	2	3	4	5	6	7	8
- Alle punkt		112	0,31	0,33	0,35	0,35	0,35	0,35	0,34	0,34
- Alle punkt ekskl. "hud" og "temp > 45 gr"		84	0,34	0,37	0,38	0,38	0,38	0,37	0,37	0,37
- Alle punkt ekskl. "hud" og "temp > 45 gr" og 3 slengere		81	0,60	0,64	0,65	0,65	0,64	0,63	0,63	0,62
- Alle punkt ekskl. "hud" og "temp > 45 gr" og 7 slengere		77	0,61	0,66	0,68	0,69	0,70	0,70	0,70	0,70

**MIGRASJON**  
alle betonger



## ekskl. "hud" og temp

ekskl. "hud" og temp  
og 7 slengere

## **Vedlegg 8:**

**Resultater fra analyser,  
Prøver med  $v/(c+s) < 0.5$**

DIFFUSJON:betonger med $v/(c+s) < 0,5$		KONTAKTØFFISIENSKR (KORR. ØFFISIENSKR) (lineær)							
"TILFELLE":	Antall punkt	1	2	3	4	5	6	7	8
- Alle punkt	107	0,17	0,20	0,20	0,20	0,18	0,17	0,17	0,16
- Alle punkt ekskl. "hud" og "temp > 45 gr"	93	0,27	<b>0,30</b>	<b>0,30</b>	0,28	0,26	0,24	0,23	0,22
- Alle punkt ekskl. "hud" og "temp > 45 gr" og 4 slengere	89	0,26	0,27	0,24	0,22	0,20	0,18	0,16	0,15
- Alle punkt ekskl "hud" og "temp > 45 gr" og 7 slengere	89 <sup>)</sup>	0,26	0,27	0,24	0,22	0,20	0,18	0,16	0,15
<hr/>									
DIFFUSJON:betonger med $v/(c+s) < 0,5$		KONTAKTØFFISIENSKR (KORR. ØFFISIENSKR) (polynom)							
"TILFELLE":	Antall punkt	1	2	3	4	5	6	7	8
- Alle punkt	107	0,23	0,37	0,31	0,35	0,31	0,28	0,25	0,24
- Alle punkt ekskl. "hud" og "temp > 45 gr"	93	0,31	0,45	0,46	0,41	0,36	0,32	0,29	0,27
- Alle punkt ekskl. "hud" og "temp > 45 gr" og 4 slengere	89	0,39	<b>0,48</b>	0,43	0,35	0,29	0,25	0,23	0,21
- Alle punkt ekskl "hud" og "temp > 45 gr" og 7 slengere	89 <sup>)</sup>	0,39	<b>0,48</b>	0,43	0,35	0,29	0,25	0,23	0,21
<hr/>									
DIFFUSJON:betonger med $v/(c+s) < 0,5$		KONTAKTØFFISIENSKR (KORR. ØFFISIENSKR) (lineær)							
"TILFELLE":	Antall punkt	1	2	3	4	5	6	7	8
- Alle punkt	107	0,18	0,22	0,24	0,24	0,23	0,22	0,21	0,21
- Alle punkt ekskl. "hud" og "temp > 45 gr"	93	0,25	0,30	<b>0,31</b>	0,30	0,29	0,27	0,26	0,25
- Alle punkt ekskl. "hud" og "temp > 45 gr" og 4 slengere	89	0,28	0,30	0,29	0,26	0,24	0,22	0,20	0,19
- Alle punkt ekskl "hud" og "temp > 45 gr" og 7 slengere	89 <sup>)</sup>	0,28	0,30	0,29	0,26	0,24	0,22	0,20	0,19
<hr/>									
DIFFUSJON:betonger med $v/(c+s) < 0,5$		KONTAKTØFFISIENSKR (KORR. ØFFISIENSKR) (polynom)							
"TILFELLE":	Antall punkt	1	2	3	4	5	6	7	8
- Alle punkt	107	0,16	0,18	0,18	0,17	0,16	0,16	0,15	0,14
- Alle punkt ekskl. "hud" og "temp > 45 gr"	93	<b>0,36</b>	0,28	0,27	0,25	0,23	0,22	0,21	0,20
- Alle punkt ekskl. "hud" og "temp > 45 gr" og 4 slengere	89	0,24	0,24	0,22	0,20	0,18	0,16	0,15	0,14
- Alle punkt ekskl "hud" og "temp > 45 gr" og 7 slengere	89 <sup>)</sup>	0,24	0,24	0,22	0,20	0,18	0,16	0,15	0,14

<sup>)</sup> De tre siste slengerne som ble fjernet i opprinnelig tilfelle har  $v/(c+s) > 0,50$

<b>KLORIDPASPRØTING, v/(c+s) &lt;0,5</b>		KORR KOEFFISIENT R'R (ekspontensiell funksjon) k - verdi silika							
"TILFELLE":	Antall punkt	1	2	3	4	5	6	7	8
- Alle punkt	68	0,04	0,05	0,06	0,06	0,07	0,07	0,07	0,07
- Alle punkt ekskl. Belegg	47	0,22	0,22	0,25	0,25	0,26	0,26	0,26	0,25
- Alle punkt ekskl. "hud" og "temp > 45 gr" og belegg	42	0,26	0,33	0,34	0,35	0,35	0,34	0,34	0,34
- Alle punkt ekskl "hud" og "temp > 45 gr", belegg og 4 sl	40	0,41	0,47	0,48	0,48	0,47	0,46	0,45	0,45
<b>KLORIDPASPRØTING, v/(c+s) &lt;0,5</b>		KORR KOEFFISIENT R'R (poly grad = 2) k - verdi silika							
"TILFELLE":	Antall punkt	1	2	3	4	5	6	7	8
- Alle punkt	68	0,02	0,04	0,04	0,05	0,05	0,05	0,05	0,05
- Alle punkt ekskl. Belegg	47	0,06	0,09	0,11	0,12	0,13	0,13	0,14	0,14
- Alle punkt ekskl. "hud" og "temp > 45 gr" og belegg	42	0,07	0,10	0,12	0,13	0,14	0,15	0,15	0,16
- Alle punkt ekskl "hud" og "temp > 45 gr", belegg og 4 sl	40	0,24	0,26	0,26	0,25	0,25	0,24	0,24	0,24
<b>KLORIDPASPRØTING, v/(c+s) &lt;0,5</b>		KORR KOEFFISIENT R'R (power) k - verdi silika							
"TILFELLE":	Antall punkt	1	2	3	4	5	6	7	8
- Alle punkt	68	0,03	0,05	0,06	0,06	0,07	0,07	0,07	0,07
- Alle punkt ekskl. Belegg	47	0,17	0,22	0,24	0,25	0,26	0,26	0,26	0,26
- Alle punkt ekskl. "hud" og "temp > 45 gr" og belegg	42	0,26	0,33	0,35	0,36	0,36	0,36	0,36	0,36
- Alle punkt ekskl "hud" og "temp > 45 gr", belegg og 4 sl	40	0,40	0,47	0,48	0,48	0,48	0,47	0,46	0,46
<b>KLORIDPASPRØTING, v/(c+s) &lt;0,5</b>		KORR KOEFFISIENT R'R (lineær) k - verdi silika							
"TILFELLE":	Antall punkt	1	2	3	4	5	6	7	8
- Alle punkt ekskl. Belegg	68	0,02	0,03	0,04	0,04	0,05	0,05	0,05	0,05
- Alle punkt ekskl. "hud" og "temp > 45 gr" og belegg	47	0,06	0,09	0,11	0,11	0,12	0,12	0,12	0,12
- Alle punkt ekskl "hud" og "temp > 45 gr", belegg og 4 sl	40	0,21	0,25	0,25	0,25	0,25	0,24	0,24	0,24

**MIGRASJON, betonger med  $v/(c+s) < 0,5$ :**

"TILFELLE":	Antall punkt	KORR. Koeffisient R-R (eksponeert til humus)							
		1	2	3	4	5	6	7	8
- Alle punkt	102	0,40	0,51	0,56	0,58	0,59	0,59	0,58	0,58
- Alle punkt ekskl. "hud" og "temp > 45 gr"	76	0,51	0,61	0,65	0,66	0,65	0,64	0,63	0,62
- Alle punkt ekskl. "hud" og "temp > 45 gr" og 3 slengere	74	0,53	0,64	0,68	0,69	0,68	0,67	0,66	0,65
- Alle punkt ekskl. "hud" og "temp > 45 gr" og 7 slengere	70	0,50	0,64	0,70	0,73	0,74	0,75	0,75	0,74

**MIGRASJON, betonger med  $v/(c+s) < 0,5$ :**

"TILFELLE":	Antall punkt	KORR. Koeffisient R-R (polynom grad 2)							
		1	2	3	4	5	6	7	8
- Alle punkt	102	0,30	0,33	0,31	0,29	0,27	0,25	0,24	0,23
- Alle punkt ekskl. "hud" og "temp > 45 gr"	76	0,35	0,36	0,33	0,30	0,28	0,26	0,25	0,23
- Alle punkt ekskl. "hud" og "temp > 45 gr" og 3 slengere	74	0,60	0,69	0,66	0,62	0,58	0,55	0,52	0,51
- Alle punkt ekskl. "hud" og "temp > 45 gr" og 7 slengere	70	0,58	0,77	0,80	0,80	0,79	0,78	0,77	0,76

**MIGRASJON, betonger med  $v/(c+s) < 0,5$ :**

"TILFELLE":	Antall punkt	KORR. Koeffisient R-R (polynom)							
		1	2	3	4	5	6	7	8
- Alle punkt	102	0,39	0,48	0,53	0,56	0,57	0,57	0,57	0,57
- Alle punkt ekskl. "hud" og "temp > 45 gr"	76	0,50	0,59	0,62	0,63	0,63	0,63	0,62	0,61
- Alle punkt ekskl. "hud" og "temp > 45 gr" og 3 slengere	74	0,51	0,61	0,64	0,66	0,66	0,65	0,65	0,64
- Alle punkt ekskl. "hud" og "temp > 45 gr" og 7 slengere	70	0,48	0,61	0,66	0,69	0,70	0,71	0,71	0,71

**MIGRASJON, betonger med  $v/(c+s) < 0,5$ :**

"TILFELLE":	Antall punkt	KORR. Koeffisient R-R (medan)							
		1	2	3	4	5	6	7	8
- Alle punkt	102	0,20	0,23	0,24	0,24	0,23	0,23	0,22	0,22
- Alle punkt ekskl. "hud" og "temp > 45 gr"	76	0,24	0,26	0,26	0,26	0,25	0,24	0,23	0,23
- Alle punkt ekskl. "hud" og "temp > 45 gr" og 3 slengere	74	0,38	0,44	0,45	0,46	0,45	0,45	0,44	0,43
- Alle punkt ekskl. "hud" og "temp > 45 gr" og 7 slengere	70	0,33	0,43	0,48	0,50	0,52	0,53	0,54	0,55

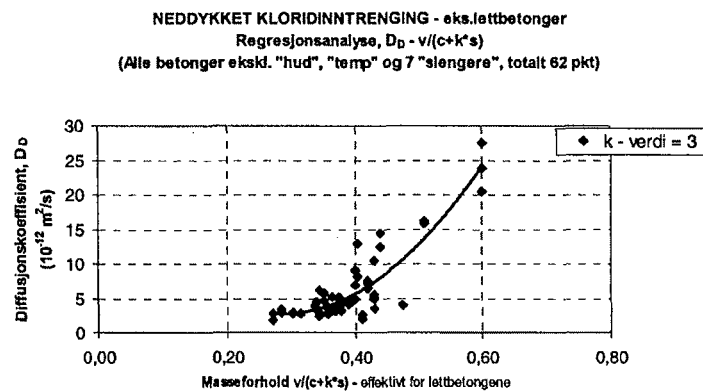
# **Vedlegg 9:**

## **Resultater fra analyser, Ekskludering av lettbetonger**

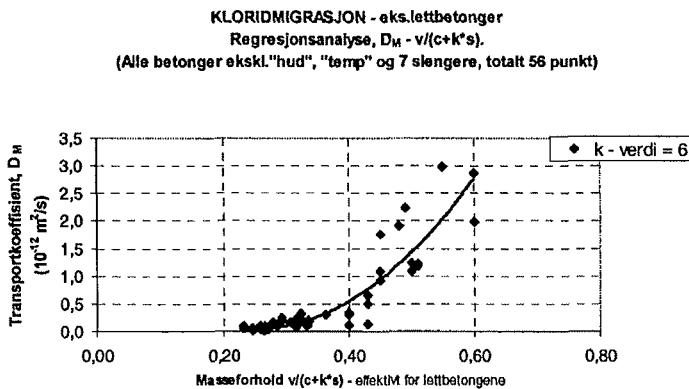
BESTE TILFELLE: Alle eks hud og temp eks 7 slengere		KORR. KOEFFISIENT R <sup>2</sup>							
		K - verdi, silika							
		1	2	3	4	5	6	7	8
Lineær tilpasning		0,62	0,68	0,70	0,69	0,68	0,66	0,65	0,63
Power tilpasning		0,50	0,57	0,60	0,60	0,60	0,59	0,58	0,57
Eksponentiell tilpasning		0,53	0,61	0,64	0,64	0,64	0,63	0,62	0,61
Polynomial tilpasning		0,75	0,79	<b>0,81</b>	0,80	0,80	0,79	0,78	0,77

BESTE TILFELLE: Alle eks hud og temp eks 7 slengere		KORR. KOEFFISIENT R <sup>2</sup>							
		K - verdi, silika							
		1	2	3	4	5	6	7	8
Lineær tilpasning		0,68	0,75	0,77	0,77	0,76	0,75	0,75	0,74
Power tilpasning		0,56	0,70	0,77	0,80	0,82	0,82	0,83	0,82
Eksponentiell tilpasning		0,57	0,70	0,77	0,80	0,81	0,82	0,82	0,82
Polynomial tilpasning		0,74	0,80	0,82	<b>0,83</b>	<b>0,83</b>	<b>0,83</b>	<b>0,83</b>	<b>0,83</b>

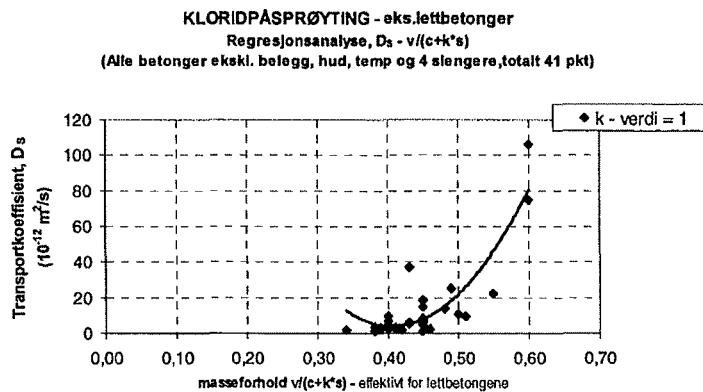
BESTE TILFELLE: Alle eks hud, bel og temp eks 4 slengere		KORR. KOEFFISIENT R <sup>2</sup>							
		K - verdi, silika							
		1	2	3	4	5	6	7	8
Lineær tilpasning		0,56	0,52	0,47	0,42	0,39	0,37	0,34	0,33
Power tilpasning		0,54	0,57	0,56	0,54	0,52	0,50	0,49	0,47
Eksponentiell tilpasning		0,55	0,59	0,59	0,57	0,55	0,54	0,52	0,51
Polynomial tilpasning		0,77	0,76	0,75	0,73	0,72	0,71	0,69	0,68



Figur 1 Regresjonsanalyse, neddykket klорidinntrenging, eksklusive lettbetonger, totalt 62 prøver. Polynomial tilpasning, k-verdi = 3



Figur 2 Regresjonsanalyse, kloridmigrasjon, eksklusive lettbetonger, totalt 56 prøver. Polynomial tilpasning, k-verdi = 6



Figur 3 Regresjonsanalyse, kloridpåsprøyting, eksklusive lettbetonger, totalt 41 prøver. Polynomial tilpasning, k-verdi = 1

Regresjonsanalyse, eks lettbetonger

## **Vedlegg 10:**

**Resultater fra analyser,  
Sammenheng mellom ulike  
transportkoeffisienter**

## TABELLE A:

$D_D - D_M$		$D_D =$															
Metode:	Utg.pkt:	2,5		5,0		7,5		10,0		15,0		20,0		12,5		17,5	
	Formel nr:	$D_M$	$D_D / D_M$	$D_M$	$D_D / D_M$	$D_M$	$D_D / D_M$	$D_M$	$D_D / D_M$	$D_M$	$D_D / D_M$	$D_M$	$D_D / D_M$	$D_M$	$D_D / D_M$	$D_M$	$D_D / D_M$
$D_D - D_M$ plottet direkte mot hverandre, 10 pkt	A <sub>1</sub>	-0,06	-42,6	0,20	25,3	0,45	16,5	0,71	14,1	1,22	12,3	1,74	11,5	0,97	12,9	1,48	11,8
	A <sub>2</sub>	-0,07	-33,6	0,19	26,6	0,45	16,6	0,71	14,0	1,24	12,1	1,76	11,3	0,98	12,8	1,50	11,7
	A <sub>3</sub>	0,02	109,6	0,26	19,0	0,50	14,9	0,75	13,4	1,23	12,2	1,71	11,7	0,99	12,7	1,47	11,9
	A <sub>4</sub>	0,02	140,1	0,26	19,1	0,51	14,8	0,75	13,3	1,24	12,1	1,73	11,6	0,99	12,6	1,48	11,8
		$D_M$	$D_D / D_M$	$D_M$	$D_D / D_M$	$D_M$	$D_D / D_M$	$D_M$	$D_D / D_M$	$D_M$	$D_D / D_M$	$D_M$	$D_D / D_M$	$D_M$	$D_D / D_M$	$D_M$	$D_D / D_M$
		-0,1	-38,1	0,2	25,9	0,5	16,6	0,7	14,1	1,2	12,2	1,7	11,4	1,0	12,9	1,5	11,7
		0,0	2015,3	0,0	39,9	0,0	0,3	0,0	0,1	0,0	0,6	0,0	0,8	0,0	0,4	0,0	0,7
		0,0	124,9	0,3	19,0	0,5	14,8	0,7	13,4	1,2	12,2	1,7	11,6	1,0	12,6	1,5	11,9
$D_D - D_M$ plottet mot v / (c+6*s), 10 pkt	A <sub>1</sub>	0,0	23114,5	0,0	0,5	0,0	0,0	0,0	0,1	0,0	0,3	0,0	0,3	0,0	0,2	0,0	0,3
	A <sub>2</sub>	-0,1	-42,6	0,2	19,0	0,5	14,8	0,7	13,3	1,2	12,1	1,7	11,3	1,0	12,6	1,5	11,7
	A <sub>3</sub>	0,0	140,1	0,3	26,6	0,5	16,6	0,8	14,1	1,2	12,3	1,8	11,7	1,0	12,9	1,5	11,9
	A <sub>4</sub>	0,0	43,4	0,2	22,5	0,5	15,7	0,7	13,7	1,2	12,2	1,7	11,5	1,0	12,7	1,6	11,8
		$D_M$	$D_D / D_M$	$D_M$	$D_D / D_M$	$D_M$	$D_D / D_M$	$D_M$	$D_D / D_M$	$D_M$	$D_D / D_M$	$D_M$	$D_D / D_M$	$D_M$	$D_D / D_M$	$D_M$	$D_D / D_M$
		0,2	676701,3	0,1	1216,0	0,1	76,1	0,0	11,7	0,0	0,4	0,0	1,6	0,0	1,9	0,0	0,8
$D_D - D_M$		$D_D =$												2,5		17,5	
Metode:	Utg.pkt:	2,5		5,0		7,5		10,0		15,0		20,0		12,5		17,5	
	Formel nr:	$D_M$	$D_D / D_M$	$D_M$	$D_D / D_M$	$D_M$	$D_D / D_M$	$D_M$	$D_D / D_M$	$D_M$	$D_D / D_M$	$D_M$	$D_D / D_M$	$D_M$	$D_D / D_M$	$D_M$	$D_D / D_M$
$D_D - D_M$ plottet direkte mot hverandre, 10 pkt	A <sub>1</sub>	0,04	60,4	0,14	36,3	0,28	26,9	0,46	21,8	0,93	16,2	1,53	13,1	0,68	18,50	1,21	14,44
	A <sub>2</sub>	0,04	64,5	0,14	37,0	0,28	26,7	0,47	21,2	0,98	15,4	1,64	12,2	0,70	17,77	1,29	13,57
	A <sub>3</sub>	0,06	40,1	0,17	29,2	0,31	24,2	0,47	21,2	0,85	17,6	1,29	15,4	0,65	19,16	1,07	16,42
	A <sub>4</sub>	0,06	43,9	0,18	28,2	0,34	21,8	0,55	18,1	1,07	14,0	1,72	11,6	0,80	15,71	1,38	12,67
		$D_M$	$D_D / D_M$	$D_M$	$D_D / D_M$	$D_M$	$D_D / D_M$	$D_M$	$D_D / D_M$	$D_M$	$D_D / D_M$	$D_M$	$D_D / D_M$	$D_M$	$D_D / D_M$	$D_M$	$D_D / D_M$
		0,0	62,4	0,1	36,6	0,3	26,8	0,5	21,5	1,0	15,8	1,6	12,6	0,7	18,1	1,3	14,0
		0,0	409,3	0,0	12,9	0,0	0,8	0,0	7,6	0,1	16,8	0,3	20,0	0,0	13,2	0,2	18,9
		0,1	42,0	0,2	28,7	0,3	23,0	0,5	19,7	1,0	15,8	1,5	13,5	0,7	17,4	1,2	14,5
$D_D - D_M$ plottet mot v / (c+6*s), 10 pkt	A <sub>1</sub>	0,0	376,6	0,0	22,1	0,0	148,4	0,2	240,6	1,2	331,0	4,5	362,9	0,5	297,0	2,5	351,3
	A <sub>2</sub>	0,0	40,1	0,1	28,2	0,3	21,8	0,5	18,1	0,9	14,0	1,3	11,6	0,7	15,7	1,1	12,7
	A <sub>3</sub>	0,1	64,5	0,2	37,0	0,3	26,9	0,6	21,8	1,1	17,6	1,7	15,4	0,8	19,2	1,4	16,4
	A <sub>4</sub>	0,0	52,2	0,2	32,7	0,3	24,9	0,5	20,6	1,0	15,8	1,5	13,1	0,7	17,8	1,2	14,3
		$D_M$	$D_D / D_M$	$D_M$	$D_D / D_M$	$D_M$	$D_D / D_M$	$D_M$	$D_D / D_M$	$D_M$	$D_D / D_M$	$D_M$	$D_D / D_M$	$D_M$	$D_D / D_M$	$D_M$	$D_D / D_M$
		0,0	10837,2	0,0	1602,0	0,1	444,4	0,1	209,7	0,6	173,9	2,6	211,5	0,3	167,3	1,3	192,3
$D_D - D_M$		$D_D =$												2,5		17,5	
Metode:	Utg.pkt:	2,5		5,0		7,5		10,0		15,0		20,0		12,5		17,5	
	Formel nr:	$D_M$	$D_D / D_M$	$D_M$	$D_D / D_M$	$D_M$	$D_D / D_M$	$D_M$	$D_D / D_M$	$D_M$	$D_D / D_M$	$D_M$	$D_D / D_M$	$D_M$	$D_D / D_M$	$D_M$	$D_D / D_M$
$D_D - D_M$ plottet direkte mot hverandre, 10 pkt	A <sub>1</sub>	0,07	33,9	0,11	45,7	0,16	46,3	0,24	41,6	0,53	28,4	1,16	17,3	0,36	35,12	0,78	22,39
	A <sub>2</sub>	0,04	63,8	0,14	36,9	0,28	26,8	0,47	21,3	0,97	15,5	1,62	12,3	0,70	17,87	1,28	13,69
	A <sub>3</sub>	0,07	37,4	0,10	49,0	0,16	48,1	0,24	42,0	0,56	27,0	1,29	15,5	0,36	34,38	0,85	20,65
	A <sub>4</sub>	0,06	43,9	0,18	28,4	0,34	22,0	0,54	18,4	1,05	14,2	1,69	11,9	0,78	15,95	1,36	12,90
		$D_M$	$D_D / D_M$	$D_M$	$D_D / D_M$	$D_M$	$D_D / D_M$	$D_M$	$D_D / D_M$	$D_M$	$D_D / D_M$	$D_M$	$D_D / D_M$	$D_M$	$D_D / D_M$	$D_M$	$D_D / D_M$
		0,1	48,8	0,1	41,3	0,2	36,5	0,4	31,5	0,7	22,0	1,4	14,8	0,5	26,5	1,0	18,0
		0,0	22377,7	0,0	1952,5	0,3	9518,3	1,3	10323,2	4,9	4208,8	5,4	612,8	3,0	7443,8	6,2	1892,8
		0,1	40,7	0,1	38,7	0,2	35,1	0,4	30,2	0,8	20,6	1,5	13,7	0,6	25,2	1,1	16,8
$D_D - D_M$ plottet mot v / (c+6*s), 10 pkt	A <sub>1</sub>	0,0	1076,4	0,1	10570,0	0,9	17028,4	2,4	13978,2	6,2	4097,9	3,8	322,3	4,4	8496,1	6,5	1498,8
	A <sub>2</sub>	0,0	33,9	0,1	28,4	0,2	22,0	0,2	18,4	0,5	14,2	1,2	11,9	0,4	15,9	0,8	12,9
	A <sub>3</sub>	0,1	63,8	0,2	49,0	0,3	48,1	0,5	42,0	1,1	28,4	1,7	17,3	0,8	35,1	1,4	22,4
	A <sub>4</sub>	0,1	44,7	0,1	40,0	0,2	35,8	0,4	30,8	0,8	21,3	1,4	14,2	0,6	25,8	1,1	17,4
		$D_M$	$D_D / D_M$	$D_M$	$D_D / D_M$	$D_M$	$D_D / D_M$	$D_M$	$D_D / D_M$	$D_M$	$D_D / D_M$	$D_M$	$D_D / D_M$	$D_M$	$D_D / D_M$	$D_M$	$D_D / D_M$
		0,0	13392,6	0,1	6431,3	0,6	13326,9	1,9	12192,7	5,6	4197,9	4,9	499,9	3,7	8014,0	6,4	1736,0

**TILFELLE B**

<b>D<sub>D</sub> - D<sub>S</sub></b>		<b>D<sub>D</sub> =</b>															
		2,5		5,0		7,5		10,0		15,0		20,0		12,5		17,5	
Metode:	Utg.pkt:	D <sub>s</sub>	D <sub>D</sub> /D <sub>s</sub>	D <sub>s</sub>	D <sub>D</sub> /D <sub>s</sub>	D <sub>s</sub>	D <sub>D</sub> /D <sub>s</sub>	D <sub>s</sub>	D <sub>D</sub> /D <sub>s</sub>	D <sub>s</sub>	D <sub>D</sub> /D <sub>s</sub>	D <sub>s</sub>	D <sub>D</sub> /D <sub>s</sub>	D <sub>s</sub>	D <sub>D</sub> /D <sub>s</sub>	D <sub>s</sub>	D <sub>D</sub> /D <sub>s</sub>
D <sub>D</sub> - D <sub>S</sub> plottet direkte mot hverandre, 10 pkt	B <sub>1</sub>	0,99	2,5	3,11	1,6	5,23	1,4	7,35	1,4	11,59	1,3	15,82	1,3	9,47	1,3	13,70	1,3
D <sub>D</sub> - D <sub>S</sub> plottet mot v / (c+6*s), 10 pkt	B <sub>2</sub>	1,01	2,5	3,12	1,6	5,23	1,4	7,35	1,4	11,57	1,3	15,79	1,3	9,46	1,3	13,68	1,3
D <sub>D</sub> - D <sub>S</sub> plottet direkte mot hverandre, 21 pkt	B <sub>3</sub>	2,15	1,2	4,08	1,2	6,01	1,2	7,93	1,3	11,79	1,3	15,65	1,3	9,86	1,3	13,72	1,3
D <sub>D</sub> - D <sub>S</sub> plottet mot v / (c+6*s), 21 pkt	B <sub>4</sub>	2,32	1,1	4,24	1,2	6,16	1,2	8,08	1,2	11,93	1,3	15,77	1,3	10,01	1,2	13,85	1,3
<b>Snitt av 10-pkt verdier:</b>		1,0	2,5	3,1	1,6	5,2	1,4	7,3	1,4	11,6	1,3	15,8	1,3	9,5	1,3	13,7	1,3
<b>Variasjonskoeffisient, 10-pkt verdier (%)</b>		0,0	0,1	0,0	0,0	0,0	0,0	0,0	0,0	0,0	0,0	0,0	0,0	0,0	0,0	0,0	0,0
<b>Snitt av 21-pkt verdier:</b>		2,2	1,1	4,2	1,2	6,1	1,2	8,0	1,2	11,9	1,3	15,7	1,3	9,9	1,3	13,8	1,3
<b>Variasjonskoeffisient, 21-pkt verdier (%)</b>		0,8	0,2	0,7	0,1	0,6	0,0	0,6	0,0	0,4	0,0	0,3	0,0	0,5	0,0	0,4	0,0
<b>Minimum av alle 4 :</b>		1,0	1,1	3,1	1,2	5,2	1,2	7,3	1,2	11,6	1,3	15,6	1,3	9,5	1,2	13,7	1,3
<b>Maksimum av alle 4 :</b>		2,3	2,5	4,2	1,6	6,2	1,4	8,1	1,4	11,9	1,3	15,8	1,3	10,0	1,3	13,8	1,3
<b>Gjennomsnittlig av alle 4 :</b>		1,6	1,8	3,6	1,4	5,7	1,3	7,7	1,3	11,7	1,3	15,8	1,3	9,7	1,3	13,7	1,3
<b>Variasjonskoeffisient alle 4 (%):</b>		38,6	47,9	27,7	4,1	18,6	1,0	11,3	0,3	2,2	0,0	0,4	0,0	5,8	0,1	0,4	0,0
<b>D<sub>D</sub> - D<sub>S</sub></b>		<b>D<sub>D</sub> =</b>															
		2,5		5,0		7,5		10,0		15,0		20,0		12,5		17,5	
Metode:	Utg.pkt:	D <sub>s</sub>	D <sub>D</sub> /D <sub>s</sub>	D <sub>s</sub>	D <sub>D</sub> /D <sub>s</sub>	D <sub>s</sub>	D <sub>D</sub> /D <sub>s</sub>	D <sub>s</sub>	D <sub>D</sub> /D <sub>s</sub>	D <sub>s</sub>	D <sub>D</sub> /D <sub>s</sub>	D <sub>s</sub>	D <sub>D</sub> /D <sub>s</sub>	D <sub>s</sub>	D <sub>D</sub> /D <sub>s</sub>	D <sub>s</sub>	D <sub>D</sub> /D <sub>s</sub>
D <sub>D</sub> - D <sub>S</sub> plottet direkte mot hverandre, 10 pkt	B <sub>1</sub>	1,48	1,7	3,17	1,6	4,95	1,5	6,80	1,5	10,62	1,4	14,59	1,4	8,69	1,44	12,59	1,39
D <sub>D</sub> - D <sub>S</sub> plottet mot v / (c+6*s), 10 pkt	B <sub>2</sub>	1,43	1,7	3,14	1,6	4,96	1,5	6,87	1,5	10,86	1,4	15,04	1,3	8,84	1,41	12,93	1,35
D <sub>D</sub> - D <sub>S</sub> plottet direkte mot hverandre, 21 pkt	B <sub>3</sub>	2,01	1,2	3,93	1,3	5,81	1,3	7,67	1,3	11,34	1,3	14,96	1,3	9,51	1,31	13,16	1,33
D <sub>D</sub> - D <sub>S</sub> plottet mot v / (c+6*s), 21 pkt	B <sub>4</sub>	2,16	1,2	4,07	1,2	5,90	1,3	7,68	1,3	11,13	1,3	14,48	1,4	9,42	1,33	12,81	1,37
<b>Snitt av 10-pkt verdier:</b>		1,5	1,7	3,2	1,6	5,0	1,5	6,8	1,5	10,7	1,4	14,8	1,4	8,8	1,4	12,8	1,4
<b>Variasjonskoeffisient, 10-pkt verdier (%)</b>		0,0	0,1	0,0	0,0	0,0	0,0	0,1	0,0	1,4	0,0	5,0	0,0	0,6	0,0	2,9	0,0
<b>Snitt av 21-pkt verdier:</b>		2,1	1,2	4,0	1,2	5,9	1,3	7,7	1,3	11,2	1,3	14,7	1,4	9,5	1,3	13,0	1,3
<b>Variasjonskoeffisient, 21-pkt verdier (%)</b>		0,5	0,2	0,5	0,1	0,2	0,0	0,0	0,0	1,1	0,0	5,8	0,0	0,2	0,0	2,9	0,0
<b>Minimum av alle 4 :</b>		1,4	1,2	3,1	1,2	5,0	1,3	6,8	1,3	10,6	1,3	14,5	1,3	8,7	1,3	12,6	1,3
<b>Maksimum av alle 4 :</b>		2,2	1,7	4,1	1,6	5,9	1,5	7,7	1,5	11,3	1,4	15,0	1,4	9,5	1,4	13,2	1,4
<b>Gjennomsnittlig av alle 4 :</b>		1,8	1,5	3,6	1,4	5,4	1,4	7,3	1,4	11,0	1,4	14,8	1,4	9,1	1,4	12,9	1,4
<b>Variasjonskoeffisient alle 4 (%):</b>		10,3	6,9	18,3	2,9	20,4	1,4	17,8	0,6	7,3	0,1	5,6	0,0	12,6	0,3	4,1	0,0
<b>D<sub>D</sub> - D<sub>S</sub></b>		<b>D<sub>D</sub> =</b>															
		2,5		5,0		7,5		10,0		15,0		20,0		12,5		17,5	
Metode:	Utg.pkt:	D <sub>s</sub>	D <sub>D</sub> /D <sub>s</sub>	D <sub>s</sub>	D <sub>D</sub> /D <sub>s</sub>	D <sub>s</sub>	D <sub>D</sub> /D <sub>s</sub>	D <sub>s</sub>	D <sub>D</sub> /D <sub>s</sub>	D <sub>s</sub>	D <sub>D</sub> /D <sub>s</sub>	D <sub>s</sub>	D <sub>D</sub> /D <sub>s</sub>	D <sub>s</sub>	D <sub>D</sub> /D <sub>s</sub>	D <sub>s</sub>	D <sub>D</sub> /D <sub>s</sub>
D <sub>D</sub> - D <sub>S</sub> plottet direkte mot hverandre, 10 pkt	B <sub>1</sub>	2,09	1,2	2,70	1,8	3,49	2,1	4,51	2,2	7,52	2,0	12,54	1,6	5,82	2,15	9,71	1,80
D <sub>D</sub> - D <sub>S</sub> plottet mot v / (c+6*s), 10 pkt	B <sub>2</sub>	1,43	1,8	3,14	1,6	4,97	1,5	6,89	1,5	10,92	1,4	15,14	1,3	8,88	1,41	13,01	1,34
D <sub>D</sub> - D <sub>S</sub> plottet direkte mot hverandre, 21 pkt	B <sub>3</sub>	2,96	0,8	3,72	1,3	4,67	1,6	5,86	1,7	9,23	1,6	14,54	1,4	7,35	1,70	11,58	1,51
D <sub>D</sub> - D <sub>S</sub> plottet mot v / (c+6*s), 21 pkt	B <sub>4</sub>	1,36	1,8	2,61	1,9	3,81	2,0	4,99	2,0	7,29	2,1	9,55	2,1	6,15	2,03	8,42	2,08
<b>Snitt av 10-pkt verdier:</b>		1,8	1,5	2,9	1,7	4,2	1,8	5,7	1,8	9,2	1,7	13,8	1,5	7,4	1,8	11,4	1,6
<b>Variasjonskoeffisient, 10-pkt verdier (%)</b>		11,1	7,8	4,7	1,6	54,7	10,2	142,0	14,7	289,4	9,6	169,2	1,9	233,6	13,6	272,4	5,2
<b>Snitt av 21-pkt verdier:</b>		2,2	1,3	3,2	1,6	4,2	1,8	5,4	1,9	8,3	1,8	12,0	1,7	6,7	1,9	10,0	1,8
<b>Variasjonskoeffisient, 21-pkt verdier (%)</b>		63,9	24,5	30,8	8,2	18,3	3,3	18,8	2,2	93,6	4,6	622,5	12,9	36,2	2,8	249,1	8,0
<b>Minimum av alle 4 :</b>		1,4	0,8	2,6	1,3	3,5	1,5	4,5	1,5	7,3	1,4	9,5	1,3	5,8	1,4	8,4	1,3
<b>Maksimum av alle 4 :</b>		3,0	1,8	3,7	1,9	5,0	2,1	6,9	2,2	10,9	2,1	15,1	2,1	8,9	2,1	13,0	2,1
<b>Gjennomsnittlig av alle 4 :</b>		2,0	1,4	3,0	1,7	4,2	1,8	5,6	1,8	8,7	1,8	12,9	1,6	7,1	1,8	10,7	1,7
<b>Variasjonskoeffisient alle 4 (%):</b>		41,5	16,6	19,2	6,1	36,5	6,8	82,3	8,5	214,7	7,8	477,1	9,3	144,0	8,4	307,0	7,8

Metode:		Utg.pkt:	$D_M - D_S$										$D_M =$		$D_S =$			
			0,1		0,2		0,3		0,4		0,6		0,8		0,5		0,7	
Formel nr:	C <sub>1</sub>	$D_M$	$D_M / D_S$	$D_S$	$D_S / D_M$	$D_M$	$D_M / D_S$	$D_S$	$D_S / D_M$	$D_M$	$D_M / D_S$	$D_S$	$D_S / D_M$	$D_M$	$D_M / D_S$	$D_S$	$D_S / D_M$	
$D_M - D_S$ plottet direkte mot hverandre, 10 pkt	C <sub>1</sub>	2,58	25,8	3,35	16,8	4,13	13,8	4,91	12,3	6,46	10,8	8,01	10,0	5,68	11,4	7,23	10,3	
$D_M - D_S$ plottet mot $v / (c+6^*s)$ , 10 pkt	C <sub>2</sub>	2,41	24,1	3,22	16,1	4,02	13,4	4,83	12,1	6,44	10,7	8,05	10,1	5,63	11,3	7,24	10,3	
$D_M - D_S$ plottet direkte mot hverandre, 17 pkt	C <sub>3</sub>	2,12	21,2	3,04	15,2	3,95	13,2	4,87	12,2	6,71	11,2	8,55	10,7	5,79	11,6	7,63	10,9	
$D_M - D_S$ plottet mot $v / (c+6^*s)$ , 17 pkt	C <sub>4</sub>	3,44	34,4	4,22	21,1	5,01	16,7	5,79	14,5	7,36	12,3	8,94	11,2	6,58	13,2	8,15	11,6	
Snitt av 10-pkt verdier:		$D_M$	$D_M / D_S$	$D_S$	$D_S / D_M$	$D_M$	$D_M / D_S$	$D_S$	$D_S / D_M$	$D_M$	$D_M / D_S$	$D_S$	$D_S / D_M$	$D_M$	$D_M / D_S$	$D_S$	$D_S / D_M$	
Variasjonskoeffisient, 10-pkt verdier (%)																		
$D_M$	2,5	25,0	3,3	16,4	4,1	13,6	4,9	12,2	6,4	10,7	8,0	10,0	5,7	11,3	7,2	10,3		
$D_S$	0,7	68,6	0,5	11,7	0,3	3,2	0,2	1,0	0,0	0,0	0,0	0,1	0,1	0,2	0,0	0,0	0,0	
Snitt av 17-pkt verdier:		$D_M$	$D_M / D_S$	$D_S$	$D_S / D_M$	$D_M$	$D_M / D_S$	$D_S$	$D_S / D_M$	$D_M$	$D_M / D_S$	$D_S$	$D_S / D_M$	$D_M$	$D_M / D_S$	$D_S$	$D_S / D_M$	
Variasjonskoeffisient, 17-pkt verdier (%)																		
$D_M$	2,8	27,8	3,6	18,1	4,5	14,9	5,3	13,3	7,0	11,7	8,7	10,9	6,2	12,4	7,9	11,3		
$D_S$	43,7	4366,0	35,3	881,9	27,8	308,7	21,2	132,4	10,7	29,6	3,7	5,8	15,5	61,9	6,7	13,8		
Minimum av alle 4 :		$D_M$	$D_M / D_S$	$D_S$	$D_S / D_M$	$D_M$	$D_M / D_S$	$D_S$	$D_S / D_M$	$D_M$	$D_M / D_S$	$D_S$	$D_S / D_M$	$D_M$	$D_M / D_S$	$D_S$	$D_S / D_M$	
Maksimum av alle 4:																		
$D_M$	2,1	21,2	3,0	15,2	4,0	13,2	4,8	12,1	6,4	10,7	8,0	10,0	5,6	11,3	7,2	10,3		
$D_S$	3,4	34,4	4,2	21,1	5,0	16,7	5,8	14,5	7,4	12,3	8,9	11,2	6,6	13,2	8,2	11,6		
Gjennomsnittlig av alle 4 :		$D_M$	$D_M / D_S$	$D_S$	$D_S / D_M$	$D_M$	$D_M / D_S$	$D_S$	$D_S / D_M$	$D_M$	$D_M / D_S$	$D_S$	$D_S / D_M$	$D_M$	$D_M / D_S$	$D_S$	$D_S / D_M$	
Variasjonskoeffisient alle 4 (%):																		
$D_M$	2,6	26,4	3,6	17,3	4,3	14,3	5,1	12,8	6,7	11,2	8,4	10,5	5,9	11,8	7,6	10,8		
$D_S$	24,2	2415,1	20,8	520,5	18,1	201,6	16,1	100,9	14,1	39,2	14,7	23,0	14,8	59,2	14,1	28,7		

# **Vedlegg 11:**

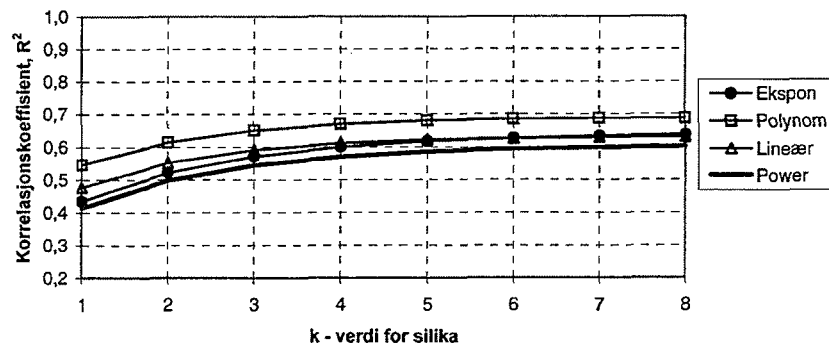
## **Resultater fra analyser, Effekt av beta – faktor, $\beta = 0.10$**

NEDDYKKET KLORIDINNTRENGING		Beta = 0.10							
Alle punkt 104 pkt		KORRKOEFFISIENT R <sup>2</sup> k - verdi, alle k							
KURVETYPE		1	2	3	4	5	6	7	8
Linær tilpasning		0,48	0,55	0,59	0,61	0,62	0,63	0,63	0,63
Power tilpasning		0,41	0,50	0,54	0,57	0,59	0,59	0,60	0,60
Eksponentiell tilpasning		0,43	0,52	0,57	0,60	0,62	0,63	0,63	0,64
Polynomial tilpasning		0,55	0,61	0,65	0,67	0,68	0,68	0,69	0,69

NEDDYKKET KLORIDINNTRENGING		Beta = 0.10							
Beste tilfelle: Alle eks. "hud" og "temp" eks. / 7 slengere 86 pkt		KORRKOEFFISIENT R <sup>2</sup> k - verdi, alle k							
KURVETYPE		1	2	3	4	5	6	7	8
Linær tilpasning		0,60	0,66	0,67	0,67	0,66	0,65	0,64	0,63
Power tilpasning		0,44	0,46	0,46	0,44	0,42	0,40	0,39	0,38
Eksponentiell tilpasning		0,46	0,50	0,50	0,49	0,48	0,46	0,45	0,44
Polynomial tilpasning		0,70	0,75	0,77	0,78	0,78	0,77	0,77	0,77

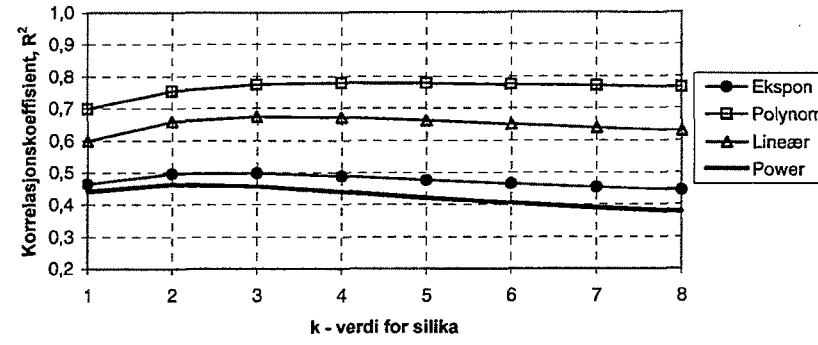
## NEDDYKKET KLORIDINNTRENGING

Beta = 0.10, Alle betonger (104 pkt)



## NEDDYKKET KLORIDINNTRENGING

Beta = 0.10, Alle betonger eks. "hud", "temp" og 7 slengere (86 pkt)



# **Vedlegg 12:**

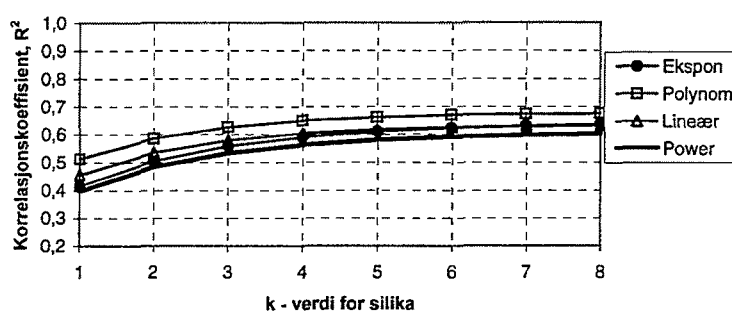
## **Resultater fra analyser, Effekt av beta – faktor, $\beta = 0.13$**

NEDDYKKET KLORIDINNTRENGING		Beta = 0.13							
Alle punkt (104 pkt)	KURVETYPE	KORRKOEFISIENTER k - verdi for silika							
		1	2	3	4	5	6	7	8
	Lineær tilpasning	0,45	0,53	0,58	0,60	0,62	0,62	0,63	0,63
	Power tilpasning	0,40	0,48	0,53	0,56	0,58	0,59	0,60	0,60
	Eksponentiell tilpasning	0,41	0,51	0,56	0,59	0,61	0,62	0,63	0,64
	Polynomial tilpasning	0,51	0,59	0,63	0,65	0,66	0,67	0,67	0,68

NEDDYKKET KLORIDINNTRENGING		Beta = 0.13							
Beste tilfelle: Alle eks. hud og temp eks. / slengere (86 pkt)	KURVETYPE	KORRKOEFISIENTER k - verdi for silika							
		1	2	3	4	5	6	7	8
	Lineær tilpasning	0,57	0,64	0,66	0,66	0,66	0,65	0,64	0,64
	Power tilpasning	0,42	0,45	0,44	0,43	0,42	0,40	0,39	0,38
	Eksponentiell tilpasning	0,44	0,48	0,48	0,48	0,47	0,46	0,45	0,44
	Polynomial tilpasning	0,66	0,72	0,75	0,76	0,76	0,76	0,76	0,76

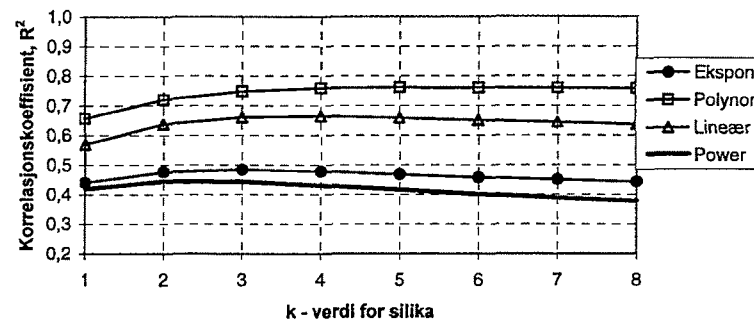
## NEDDYKKET KLORIDINNTRENGING

Beta = 0.13, Alle betonger (104 pkt)



## NEDDYKKET KLORIDINNTRENGING

Beta = 0.13, Alle betonger eks. "hud", "temp" og 7 slengere (86)



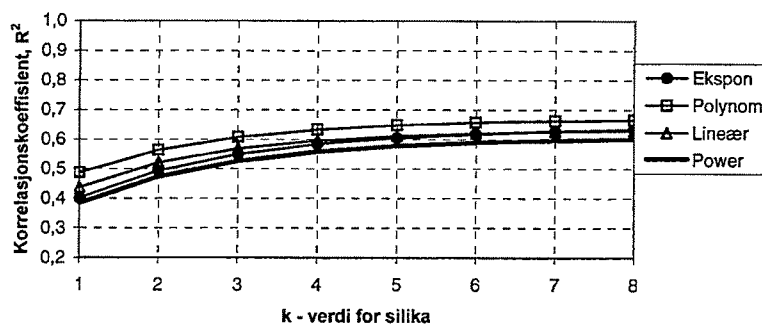
# **Vedlegg 13:**

## **Resultater fra analyser, Effekt av beta – faktor, $\beta = 0.15$**

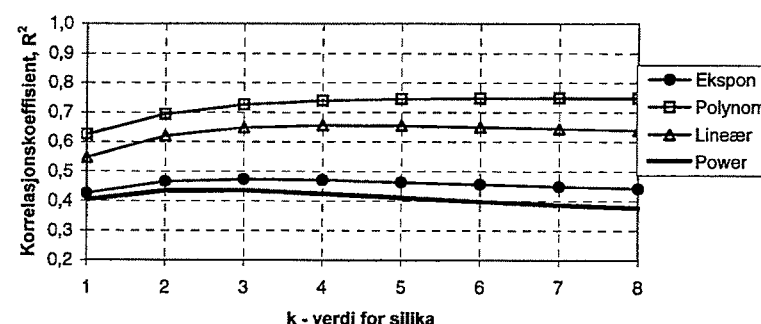
KORRKoeffisient kloridinnrensning		Beta = 0.15							
Alle punkt 104 pkt	KURVETYPE	KORRKoeffisient k-verdi silika							
		1	2	3	4	5	6	7	8
	Lineær tilpasning	0,44	0,52	0,57	0,59	0,61	0,62	0,63	0,63
	Power tilpasning	0,38	0,47	0,53	0,56	0,58	0,59	0,60	0,60
	Eksponentiell tilpasning	0,40	0,49	0,55	0,58	0,60	0,62	0,63	0,63
	Polynomial tilpasning	0,49	0,56	0,61	0,63	0,65	0,66	0,66	0,66

KORRKoeffisient kloridinnrensning		Beta = 0.15							
Eksl. tilfelle: Alle eks "hud" og temp eks 7 slengere 86 PKT	KURVETYPE	KORRKoeffisient R <sup>2</sup> k-verdi silika							
		1	2	3	4	5	6	7	8
	Lineær tilpasning	0,55	0,62	0,65	0,66	0,65	0,65	0,64	0,64
	Power tilpasning	0,40	0,43	0,43	0,42	0,41	0,40	0,39	0,38
	Eksponentiell tilpasning	0,43	0,46	0,47	0,47	0,46	0,45	0,45	0,44
	Polynomial tilpasning	0,62	0,69	0,72	0,74	0,74	0,75	0,75	0,75

NEDDYKKET KLORIDINNTRENGING  
Beta = 0.15, Alle betonger (104 pkt)



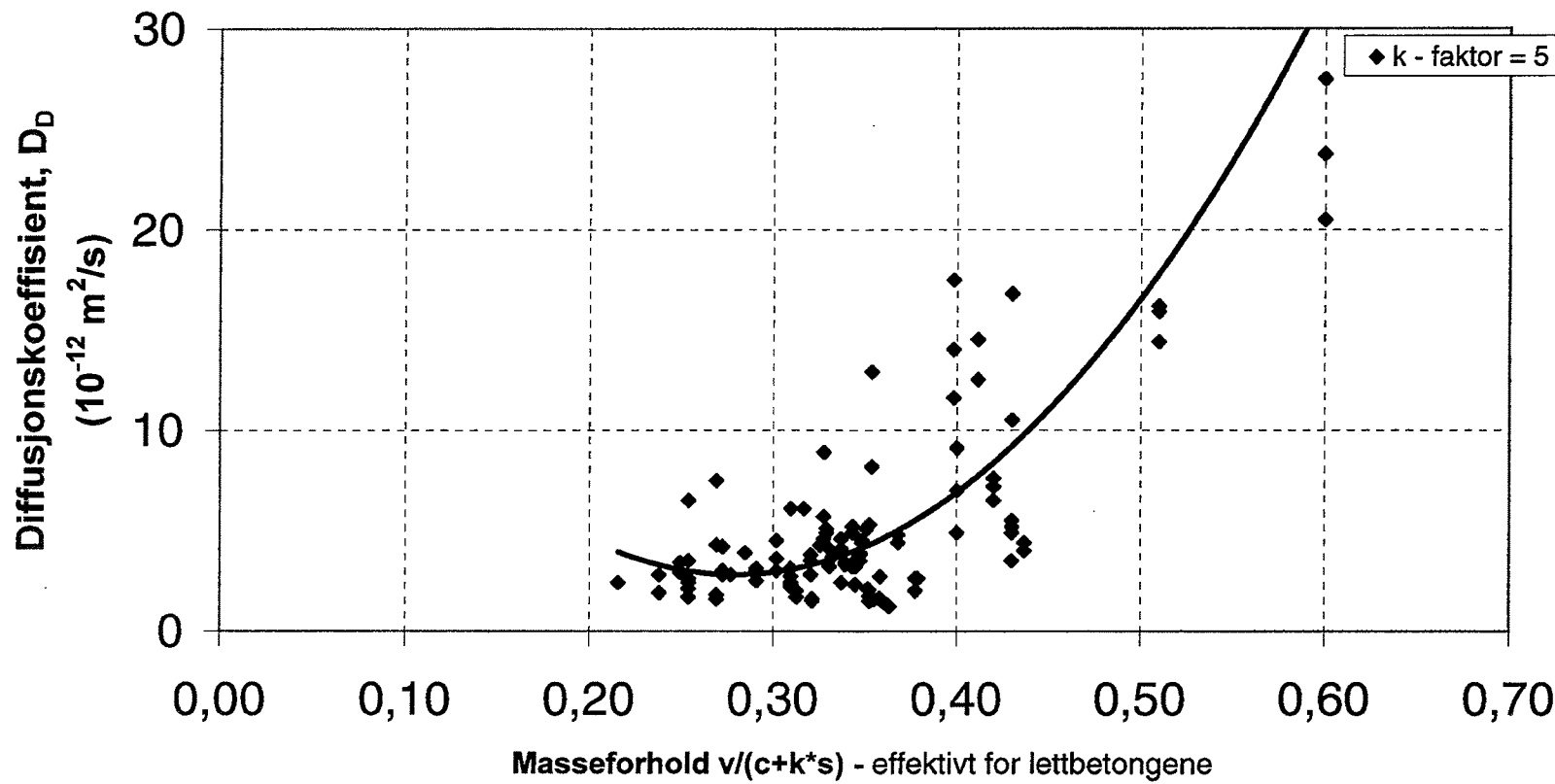
NEDDYKKET KLORIDINNTRENGING  
Beta = 0.15, Alle betonger eks. "hud", "temp" og 7 slengere (86 pkt)



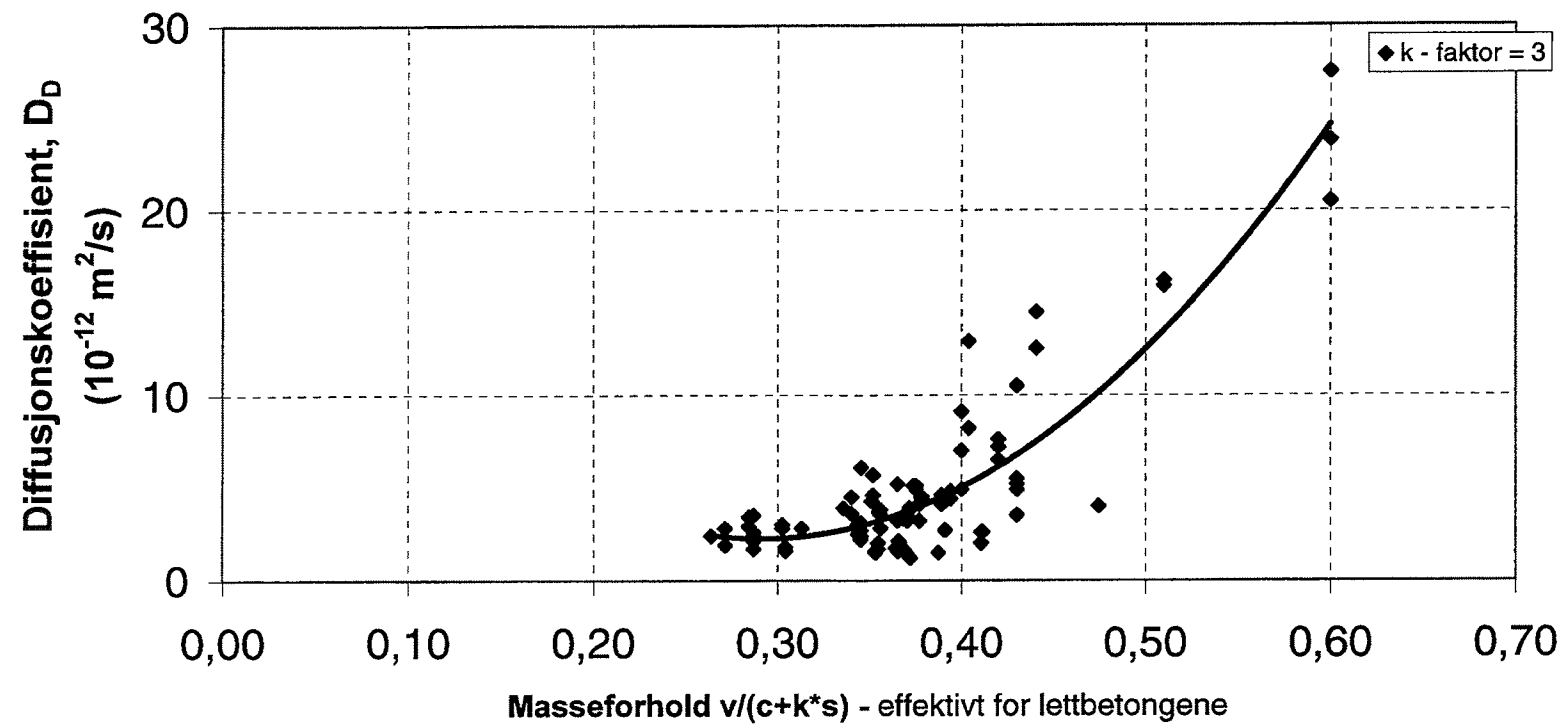
## **Vedlegg 14:**

**Figurer fra regresjonsanalyse,  
Neddykket kloridinntrenging**

NEDDYKKET KLORIDINNTRENGING  
Regresjonsanalyse,  $D_D - v/(c+k^*s)$ (Alle betonger)



**NEDDYKKET KLORIDINNTRENGING**  
**Regresjonsanalyse,  $D_D - v/(c+k^*s)$**   
**(Alle betonger ekskl. "hud", "temp" og 7 "slengere", totalt 95 pkt)**



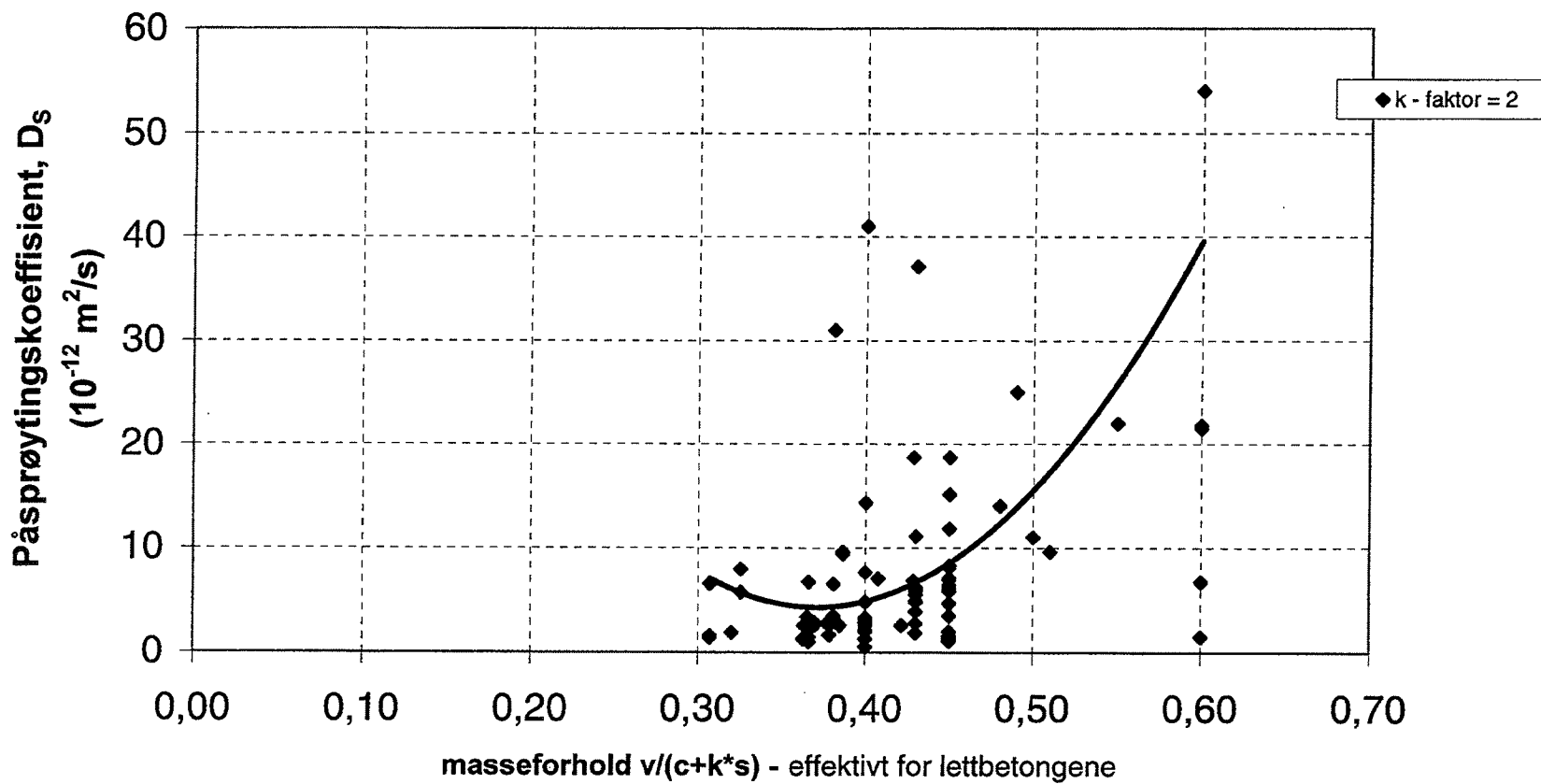
Best resultat etter fjerning av "hud", "temp" og slengere, 95 datapunkt,  $R^2 = 0.80$

# **Vedlegg 15:**

## **Figurer fra regresjonsanalyse, Kloridpåsprøyting**

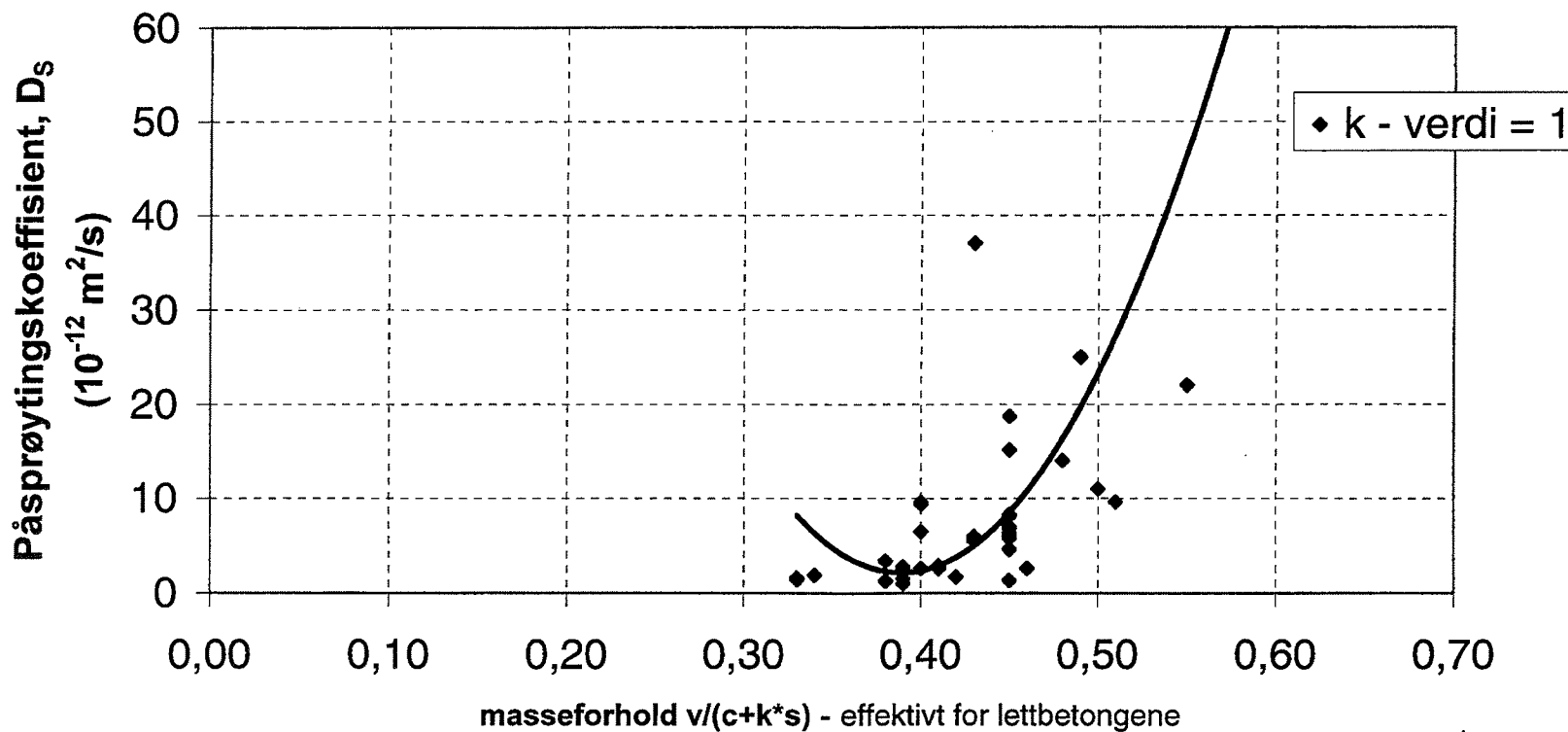
## KLORIDPÅSPRØYTING

Regresjonsanalyse,  $D_s - v/(c+k^*s)$  (Alle betonger)



Best resultat, alle betonger, 78 datapunkt,  $R^2 = 0.36$

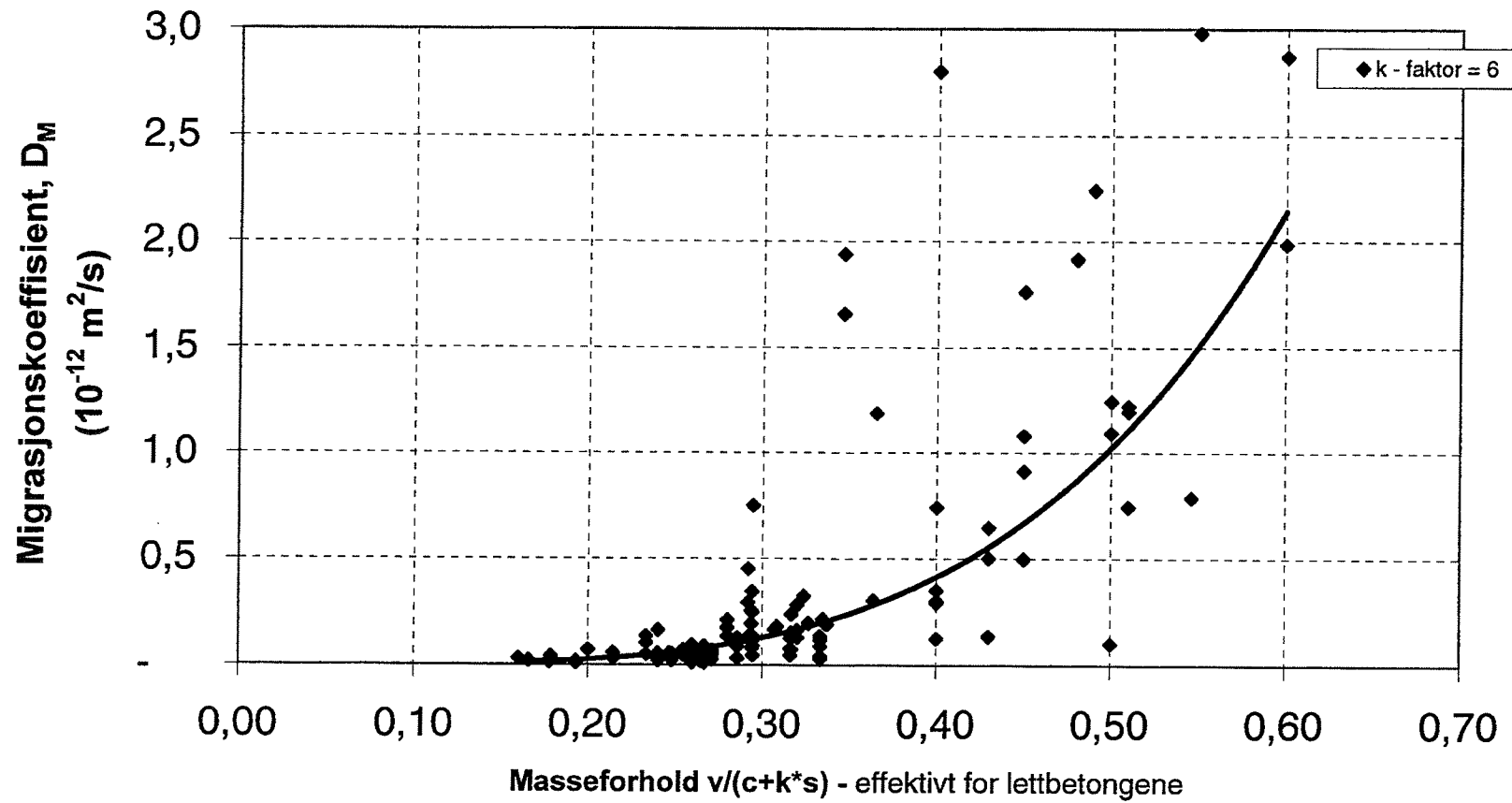
**KLORIDPÅSPRØYTING**  
**Regresjonsanalyse,  $D_s - v/(c+k^*s)$**   
**(Alle betonger ekskl. belegg, hud, temp og 4 slengere, totalt 45 pkt)**



# **Vedlegg 16:**

## **Figurer fra regresjonsanalyse, Kloridmigrasjon**

**KLORIDMIGRASJON**  
**Regresjonsanalyse,  $D_M - v/(c+k^*s)$ .(Alle betonger)**



Best resultat, alle betonger, 112 datapunkt,  $R^2 = 0.64$

**KLORIDMIGRASJON**  
**Regresjonsanalyse,  $D_M - v/(c+k^*s)$ .**  
**(Alle betonger ekskl. "hud", "temp" og 7 slengere, tot 77 punkt)**

